



วิทยานิพนธ์

การแยกความแตกต่างของเชื้อ *Erwinia carotovora* สายพันธุ์ที่ทำให้เกิด^c
โรคเน่าและของผัก กับ สายพันธุ์ที่ทำให้เกิดโรคต้นแห้งตายของขมุน
ด้วยลายพิมพ์ดีเอ็นเอ จากเทคนิค เออฟแอลพี

**DIFFERENTIATION OF *Erwinia carotovora* STRAINS
ISOLATED FROM SOFT ROT OF VEGETABLE CROPS AND
DIE-BACK DISEASE OF JACKFRUITS BY AFLP
FINGERPRINTING**

นายวัฒนิกร เทพโพธิฯ

บัณฑิตวิทยาลัย มหาวิทยาลัยเกษตรศาสตร์

พ.ศ. 2550



ใบรับรองวิทยานิพนธ์

บัณฑิตวิทยาลัย มหาวิทยาลัยเกษตรศาสตร์

วิทยาศาสตร์มหาบัณฑิต (เกษตรศาสตร์)

ปริญญา

โรคพืช

โรคพืช

สาขา

ภาควิชา

เรื่อง การแยกความแตกต่างของเชื้อ *Erwinia carotovora* สายพันธุ์ที่ทำให้เกิดโรคเน่า爛ของผัก กับ สายพันธุ์ที่ทำให้เกิดโรคต้นแห้งตามของบุนุน ด้วยลายพิมพ์ดีเอ็นเอ จากเทคนิค เอเอฟ แอลพี

Differentiation of *Erwinia carotovora* Strains Isolated from Soft Rot of Vegetable Crops and Die-Back Disease of Jackfruits by AFLP Fingerprinting

ผู้วิจัย นายวัฒนิกร เทพโพธิฯ

ได้พิจารณาเห็นชอบโดย

ประธานกรรมการ

(ผู้ช่วยศาสตราจารย์วิชัย โนสิตรัตน, Ph.D.)

กรรมการ

(รองศาสตราจารย์นิพนธ์ ทวีชัย, Ph.D.)

กรรมการ

(รองศาสตราจารย์อรรัตน์ มงคลพร, Ph.D.)

หัวหน้าภาควิชา

(ผู้ช่วยศาสตราจารย์พิสสารรณ เจียมสมบัติ, Dr.Agr.)

บัณฑิตวิทยาลัย มหาวิทยาลัยเกษตรศาสตร์รับรองแล้ว

(รองศาสตราจารย์วินัย อาจคงหาญ, M.A.)

คณบดีบัณฑิตวิทยาลัย

วันที่ 4 เดือน มิถุนายน พ.ศ. 2556

วิทยานิพนธ์

เรื่อง

การแยกความแตกต่างของเชื้อ *Erwinia carotovora* สายพันธุ์ที่ทำให้เกิดโรคเน่าและของผัก กับ สายพันธุ์ที่ทำให้เกิดโรคต้นแห้งตายของบุน ด้วยลายพิมพ์ดีเอ็นเอ จากเทคนิค เอเอฟแอลพี

Differentiation of *Erwinia carotovora* Strains Isolated from Soft Rot of Vegetable Crops and Die-Back Disease of Jackfruits by AFLP Fingerprinting

โดย

นายวัฒนิกร เทพโพธิฯ

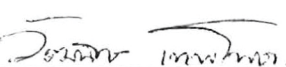
เสนอ

บัณฑิตวิทยาลัย มหาวิทยาลัยเกษตรศาสตร์
เพื่อความสมบูรณ์แห่งปริญญาวิทยาศาสตร์ครุศาสตร์ (เกษตรศาสตร์)

พ.ศ. 2550

วัฒนิกร เทพโพชา 2550: การแยกความแตกต่างของเชื้อ *Erwinia carotovora* สายพันธุ์ที่ทำให้เกิดโรคเน่า烂ของผัก กับ สายพันธุ์ที่ทำให้เกิดโรคต้นแห้งตายของขมุน ด้วยลายพิมพ์ดีเอ็นเอ จากเทคนิค เอเอฟแอลพี ปริญญาวิทยาศาสตรมหาบัณฑิต (เกษตรศาสตร์) สาขาวิชาโรคพืช ภาควิชาโรคพืช ประธานกรรมการที่ปรึกษา: ผู้ช่วยศาสตราจารย์ วิชัย โภสิตรัตน, Ph.D. 90 หน้า

เชื้อแบคทีเรีย *Erwinia carotovora* subsp. *carotovora* (Ecc) เป็นเชื้อสาเหตุโรคเน่า烂ของผักต่างๆ และโรคแห้งตายของขมุน และจำปะะ คุณสมบัติทางชีวุ่นวิทยาของเชื้อ Ecc ที่แยกมาจากขมุนต่างไปจากเชื้อที่แยกมาจากการทดลองนี้มีวัตถุประสงค์เพื่อตรวจสอบความสัมพันธ์ทางพันธุกรรมระหว่างเชื้อ Ecc ที่แยกมาจากขมุน และเชื้อที่แยกมาจากการคัดลอก ด้วยเทคนิค amplified fragment length polymorphism (AFLP) โดยเชื้อ Ecc จำนวน 37 สายพันธุ์ ประกอบด้วย เชื้อที่แยกมาจากขมุน 17 สายพันธุ์ และเชื้อที่แยกมาจากการคัดลอก 20 สายพันธุ์ เมื่อนำมาวิเคราะห์ความแตกต่างของลายพิมพ์ดีเอ็นเอด้วยเทคนิคเอเอฟแอลพี โดยใช้ค่า Dice's coefficient และจัดกลุ่มโดยวิธี unweighted pair group method of averages (UPGMA) พบว่าสามารถแบ่งเชื้อออกเป็น 2 กลุ่มอย่างชัดเจนที่ค่า similarity 0.42 ได้แก่ กลุ่มที่ 1 เป็นเชื้อ Ecc ที่แยกมาจากขมุน และกลุ่มที่ 2 เป็นเชื้อที่แยกมาจากการคัดต่างๆ พบว่ากลุ่มเชื้อ Ecc ที่แยกมาจากขมุนมีความคงที่ทางพันธุกรรมสูง โดยมีค่า similarity 0.92 ส่วนเชื้อ Ecc ที่แยกมาจากการคัดมีความผันแปรทางพันธุกรรมสูง อยู่ในช่วงค่า similarity 0.44-1.00 จากการศึกษานี้สามารถใช้เทคนิค AFLP ในการแยกเชื้อ Ecc สาเหตุโรคแห้งตายขมุนออกจาก Ecc สาเหตุโรคเน่า烂ของผักได้



ลายมือชื่อนิสิต



ลายมือชื่อประธานกรรมการ
29 / พ.ค. / 2550

Wattanigone Theppota 2007: Differentiation of *Erwinia carotovora* Strains Isolated from Soft Rot of Vegetable Crops and Die-Back Disease of Jackfruits by AFLP Fingerprinting. Master of Science (Agriculture), Major Field: Plant Pathology, Department of Plant Pathology. Thesis Advisor: Assistant Professor Wichai Kositratana, Ph.D. 90 pages.

Erwinia carotovora subsp. *carotovora* (Ecc) is an important pathogen causing soft rot disease in many vegetables and die-back disease of jackfruit and champedak. Serological characteristics of Ecc from jackfruits were different from the Ecc strains of vegetables. An investigation using amplified fragment length polymorphism (AFLP) fingerprinting was undertaken to determine the taxonomic relationship of Ecc strains isolated from vegetables and jackfruit. Total 37 isolates of Ecc were included in this study, of which 20 were isolated from vegetable crops and 17 were isolated from jackfruits. Cluster analysis of DNA fingerprinting profiles by using Dice's coefficient and the unweighted pair group method of averages (UPGMA) divided the Ecc isolate into two groups. Cluster 1 contained Ecc isolates from jackfruits which was clearly separated from cluster 2, containing vegetable isolates at the similarity coefficient of 0.42. Ecc isolates from jackfruits revealed homogenous DNA fingerprinting profiles at similarity coefficient 0.92 while the Ecc from vegetable crops showed a high level of genetic diversity (0.44 to 1.00 similarity coefficients).

Wattanigone Theppota.

Student's signature



Thesis Advisor's signature

29 / May / 2007

กิตติกรรมประกาศ

ขอขอบพระคุณ พศ.ดร. วิชัย โภสิตรัตน ประธานกรรมการที่ปรึกษา ที่กรุณาให้คำปรึกษา แนะนำ พร้อมทั้งให้การสนับสนุนงานวิจัยนี้ ตลอดจนการให้คำปรึกษาแนะนำ และตรวจสอบ แก้ไขข้อบกพร่องต่างๆ ขอขอบพระคุณ รศ.ดร. นิพนธ์ ทวีชัย กรรมการที่ปรึกษาวิชาเอก รศ.ดร. อรรัตน์ มงคลพร กรรมการที่ปรึกษาวิชารอง และ ดร. วิทิต ใจอารีย์ ผู้แทนบัณฑิตวิทยาลัย คณาจารย์ภาควิชาโรคพืชทุกท่าน ที่กรุณาให้ความรู้ คำปรึกษาและแนะนำในการศึกษา และทำ วิทยานิพนธ์

วิทยานิพนธ์นี้ได้รับการสนับสนุนบางส่วนจากทุนสนับสนุนงานวิจัยระดับบัณฑิตศึกษา บัณฑิตวิทยาลัย และจากศูนย์เทคโนโลยีชีวภาพเกษตร มหาวิทยาลัยเกษตรศาสตร์ ภายใต้โครงการ พัฒนาบัณฑิตศึกษาและวิจัยด้านวิทยาศาสตร์และเทคโนโลยี ดำเนินงานคณะกรรมการการ คุณศึกษา กระทรวงศึกษาธิการ

ขอขอบพระคุณ คุณณัฐมิมา โภษิตเจริญกุล คุณรุ่งรัตน์ วารีเขต คุณนิโลบล สุสินธุ์ และ คุณจุฑาเทพ วัชระไชยคุปต์ ที่ได้กรุณาให้ตัวอย่างเชื้อสาเหตุต้นแห่งตายของบุน และเชื้ออื่นๆ ใน การวิจัยครั้งนี้รวมถึงข้อมูลต่างๆ ของเชื้อ นอกจากนี้ขอขอบพระคุณ ดร. สุจินต์ กัทรภูวดล ดร. จินตนา อันอาتم์งาม ดร. สุตเบตต์ นาคเสนียร และ อ. ปิยะฉัตร เซยชุ่น ที่กรุณาให้คำปรึกษา ดูแล เอาใจใส่มาตลอด และขอบพระคุณ คุณวร ragazzi แซ่อ้วง พี่ๆ เพื่อนๆ และน้องๆ ในภาควิชาโรคพืช และทุกท่านที่ไม่ได้กล่าวนาม ไว้ที่ช่วยเหลือระหว่างการทำวิจัย

ประโยชน์และคุณค่าอันพึงมีจากวิทยานิพนธ์นี้ ขอขอบคุณ คุณพ่อวิชัย และ คุณแม่วิໄโล เทพโพธิ ที่ให้การอบรมเลี้ยงดูให้โอกาสในการศึกษา และเป็นกำลังใจให้เข้าแข่งขัน

วัฒนิก เทพโพธิ
มีนาคม 2550

สารบัญ

	หน้า
สารบัญ	(1)
สารบัญตาราง	(2)
สารบัญภาพ	(3)
คำนำ	1
วัตถุประสงค์	3
การตรวจเอกสาร	4
อุปกรณ์และวิธีการ	14
ผลและวิจารณ์	35
ผล	35
วิจารณ์	57
สรุป	61
เอกสารและสิ่งอ้างอิง	62
ภาคผนวก	69

สารบัญตาราง

ตารางที่	หน้า
1 ชนิดของเอนไซม์ตัดจำเพาะที่ใช้ในการวิเคราะห์เชื้อแบคทีเรียต่างๆ โดยเทคนิค AFLP	12
2 สายพันธุ์เชื้อแบคทีเรีย พีชอาศัย แหล่งที่เก็บ ปีที่เก็บ และที่มาของเชื้อที่ใช้ในการศึกษา	19
3 คำดับเบลของ adapter ในเทคนิค AFLP	28
4 คำดับเบลสีฟอร์เมอร์ในขั้นตอน nonselective amplification และ selective amplification	29
5 คุณสมบัติของแบคทีเรีย <i>Erwinia carotovora</i> subsp. <i>carotovora</i> สายพันธุ์ต่างๆ ในด้านการติดสีแกรม ความสามารถในการทำให้เกิดโรค และการมี <i>pel</i> gene	38
6 ผลการตรวจจำแนกเชื้อแบคทีเรีย <i>Erwinia</i> spp. ที่นำมาทดสอบจากการใช้แหล่งคาร์บอนในการเจริญเติบโตด้วยระบบ BIOLOG System	42
7 คู่ฟอร์เมอร์ที่ได้จำนวนแอบดีอีนเอในช่วง 100-200 แอบนในการทดสอบ <i>In silico</i> analysis	44
8 เปรียบเทียบจำนวนแอบดีอีนเอที่ได้จากการวิเคราะห์จีโนมของเชื้อ <i>E. carotovora</i> subsp. <i>atroseptica</i> SCR1043 ด้วยเทคนิค <i>in silico</i> AFLP และ AFLP PCR amplification ของเชื้อ <i>Erwinia carotovora</i> subsp. <i>carotovora</i> จำนวน 2 สายพันธุ์	48
9 การใช้แหล่งคาร์บอนแต่ละชนิดในอาหาร GN2 (Biolog, Inc., CA, USA) ของเชื้อ <i>Erwinia carotovora</i> subsp. <i>carotovora</i> จำนวน 8 สายพันธุ์ และ <i>Erwinia chrysanthemi</i> จำนวน 2 สายพันธุ์	51

สารบัญภาพ

ภาพที่	หน้า
1 แผนภาพเทคนิค AFLP (Vos <i>et al.</i> , 1995)	11
2 แสดงขั้นตอนการใช้โปรแกรม <i>In silico</i> AFLP ผ่านระบบเครือข่าย อินเทอร์เน็ตทางเว็บไซต์ http://insilico.ehu.es	21
3 ตัวอย่างการแสดงผลของโปรแกรม <i>In silico</i> AFLP – PCR amplification ผ่าน ระบบเครือข่ายอินเทอร์เน็ต เมื่อจำนวนແບดีເອັນເອົ້າໄດ້ມີຈຳນວນນີ້ຍກວ່າ 200 ແດບ	23
4 ตัวอย่างการแสดงผลของโปรแกรม <i>In silico</i> AFLP – PCR amplification ผ่าน ระบบเครือข่ายอินเทอร์เน็ต เมื่อຈຳນວນແບດີເອັນເອົ້າໄດ້ມີຈຳນວນຫຼາຍກວ່າ 200 ແດບ	25
5 ขั้นตอนการศึกษาวิเคราะห์ลายพิมพ์ດີເອັນເອົ້າດ້ວຍເທກນິກ AFLP ใน ห้องปฏิบัติการ	33
6 ໂປຣແກຣມ Gene Tools (Syngene, Cambridge, U.K.) ໃນການນັບແບດີເອັນເອົ້າທີ່ ໄດ້ຈາກໂພລືອຄຣີລາໄມ໌ເຈລ	34
7 ດັກຍະໂໂຄໂລໂນ ການຕິດສື່ແກຣມ ການສ້າງ pectolytic enzyme ຍ່ອຍຂຶ້ນແຕກກວາ ຄວາມສາມາດເກີດໂຮຄນ່າແລະບນັດກາດຂາວ ແລະຄຸລຸສົມບັດກາເປັນ facultative anaerobic bacteria ຂອງເຊື້ອແບດກີເຮີຍ	40
8 ການตรวจສອບເຊື້ອ <i>Erwinia carotovora</i> ສາເຫດໂຮຄນ່າແລະທີ່ແຍກໄດ້ຈາກຜັກຕ້າຍ ເທກນິກ PCR ໂດຍຕຽບຢືນ <i>pel</i> ທີ່ເປັນຢືນເປົ້າໝາຍ ແລະມີ 16S rDNA ເປັນດີ ເອັນເອົ້າຈົ່ງໜ້າຍກັບເຊື້ອແບດກີເຮີຍ	41
9 ແບດີເອັນເອົ້າທີ່ໄດ້ຈາກເທກນິກ AFLP ໂດຍໃຊ້ຄູ່ໄພຣມອຣແບນຕ່າງໆ ໃນขັ້ນຕອນ selective amplification ກັບ ເຊື້ອ <i>Erwinia carotovora</i> ສາຍພັນຖື JK2001 ແລະ VECC1596 ດ້ວຍເອນໄໝນ <i>EcoRI</i> ແລະ <i>MseI</i>	49
10 ແດນໂດແກຣມຈາກກາວວິເຄຣະຫໍາລາຍພິມພົດີເອັນເອຂອງເຊື້ອ <i>Erwinia carotovora</i> subsp. <i>carotovora</i> ແສດກາຈັດກຸລຸ່ມຂອງເຊື້ອຈະແລ່ລ່າ ພື້ອາສີຍຕ່າງໆ ຄ່າ similarity ຄໍານວນດ້ວຍຄ່າ Dice's coefficient ຈັດກຸລຸ່ມດ້ວຍໂປຣແກຣມ UPGMA ວິເຄຣະຫໍາ bootstrap 1000 ຊຳ	50

สารบัญภาพ (ต่อ)

ภาพที่	หน้า
11 เด่นโอดแกรมจากการวิเคราะห์รูปแบบการใช้แหล่งการ์บอน เชื้อ <i>Erwinia carotovora</i> subsp. <i>carotovora</i> สายพันธุ์ที่แยกได้จากชนุน และผัก โดยค่า similarity คำนวณด้วยค่า Dice's coefficient จัดกลุ่มด้วยโปรแกรม UPGMA วิเคราะห์ค่า bootstrap 1000 ชี้้า	56

การแยกความแตกต่างของเชื้อ *Erwinia carotovora* สายพันธุ์ที่ทำให้เกิดโรคเน่าและของ
ผัก กับ สายพันธุ์ที่ทำให้เกิดโรคต้นแห้งตายของขันนุน ด้วยลายพิมพ์ดีเอ็นเอ จากเทคนิค
เออฟแอลพี

**Differentiation of *Erwinia carotovora* Strains Isolated from Soft Rot of Vegetable
Crops and Die-Back Disease of Jackfruits by AFLP Fingerprinting**

คำนำ

ประเทศไทยอยู่ในແບນເບຕ່ອນເຊື້ນ ຜົ່ງມີໄຟພລທາຍໝາຍືດທີ່ສາມາດປຸກໄດ້ ຂນູນຈັດເປັນໄຟ
ພລທີ່ນິຍມປຸກທ່ວ່າປະເທດໂຄຍເນພາະ ໃນຈັງຫວັດ ປະເທດເທຣາ ຂລບູຮີ ຕຣາດ ຮະຍອງ ປະເຈິນບູຮີ
ກາງູຈນບູຮີ ນະຄຣປຸນ ຮາຊບູຮີ ກາກໄດ້ໄດ້ແກ່ ຜູມພຣ ປະຈວບຄືຮັບນັ້ນ ແລະ ສັງຂລາ ຂນູນມີເຊື່ອ
ວິທາຍາສຕ່ຽວ *Artocarpus heterophyllus* ຜ້ອສາມັ້ນ Jackfruit ຂນູນເປັນຕົ້ນໄຟທີ່ມີຂາດກາລາງຈນລຶງ
ຂາດໃໝ່ ອາຍຸຍືນ ມີຢາງສີຂາວ ທຽງພຸ່ມທີ່ບໍ່ ອອກດອກແລະ ພົດຕາມສ່ວນຂອງລຳຕົ້ນ (ນຸ້ມື, 2529)

โรคตັນແໜ້ງຕາຍຂອງຂນູນເປັນໂຄທີ່ມີຄວາມສໍາຄັນຕ່ອງການປຸກຂນູນ ອາກເຮີມແຮກຈະພນຍາງ
ສີຂາວຫຼືສີນໍາຕາລ ໄກລອອກມາຈາກກິ່ງຫຼືອລຳຕົ້ນທີ່ເຈີ້ມູເຕີບ ໂຕເຕີມທີ່ ເມື່ອຄາກເປັນເປົ້າໄຟໄໝໄດ້ເປັນເປົ້າໄຟ
ປາກກູຮອຍແພດເນື້ອ ໄມີເປັນສີນໍາຕາລຮູປ່ງຮ່າງໄມ່ແນ່ນອນ ພລຮ່າງ ໃບເປົ້າຍິນເປັນສີສັນແລະຮ່າງ ກິ່ງແລະລຳ
ຕົ້ນແໜ້ງຕາຍຈາກຍອດລົງມາ ເມື່ອມີອາກຮູນແຮງມາກຈະທຳໃຫ້ຕົ້ນຂນູນຕາຍໃນທີ່ສຸດ (ເສມອໄຈ ແລະ
ບຣຮາຮ, 2533; ນັກູສົມາ ແລະ ຄນະ, 2536) ໂຄດັ່ນແໜ້ງຕາຍຂອງຂນູນພບຮາຍງານຄັ້ງແຮກໃນປະເທດ
ມາເລເຊີຍ ຈຳແນກເຊື້ອສາຫຼຸພວນວ່າເປັນເຊື້ອແບກທີ່ເຮີຍ *Erwinia carotovora* var. *carotovora* (Lim and
Yasin, 1983) ໃນປະເທດໄທ ເສມອໄຈ ແລະ ບຣຮາຮ (2533) ລາຍງານວ່າໂຄດັ່ນກ່າວມີສາຫຼຸມາຈາກ
ເຊື້ອແບກທີ່ເຮີຍ *Erwinia nigrifluens* ຜ້ອຍູ້ໃນກຸ່ມ *amylovora* group ສ່ວນໃຫ້ຜູ້ເຊື້ອໃນກຸ່ມນີ້ທຳໃຫ້ເກີດ
ໂຄໃໝ່ກັບໄຟພລຍືນຕົ້ນ ລັ້ງຈາກນັ້ນ ນັກູສົມາ ແລະ ຄນະ (2536) ທຳການຈຳແນກອົກຮັງ ພບວ່າເກີດຈາກ
ເຊື້ອແບກທີ່ເຮີຍ *Erwinia carotovora* subsp. *nov* ອູ້ໃນກຸ່ມຂອງ *carotovora* group ຜ້ອກຸ່ມນີ້ສ່ວນໃຫ້
ກ່ອໄຫ້ເກີດອາການເນ່າແລະ ໃນພື້ນພັກຕ່າງໆ ຕ່ອມາ ຮູ່ຮັດນ (2548) ແລະ ນິໂລນບດ (2548) ໃຊ່ຮະບນ BIOLOG
System (Biolog, Hayward, CA, USA) ຈັດຈຳແນກເຊື້ອ ສາຫຼຸໂຄແໜ້ງຕາຍຂອງຂນູນ ພບວ່າເປັນເຊື້ອ
Erwinia carotovora subsp. *carotovora* (Ecc) ສອດຄຳອັນກັບການຈັດຈຳແນກໂດຍ Lim and Yasin
(1983) ແລະ ນັກູສົມາ ແລະ ຄນະ (2536) ຜ້ອງເຊື້ອໜົດນີ້ຈັດອູ້ໃນກຸ່ມ *carotovora* group ເຊື້ອໃນກຸ່ມນີ້ມີ
ລັກຍະນະເດັ່ນກືອ ສ້າງ pectolytic enzyme ນາຍ່ອຍສາຮ pectin ທີ່ເປັນອົງກໍປະກອບຂອງພນັນເໜລດພື້ນທຳ
ໃຫ້ເກີດອາການເນ່າແລະ ເຊື່ນເຕີຍກັບເຊື້ອ *E. chrysanthemi* ແລະ *Pseudomonas* spp. (Schaad *et al.*,

2001) จากการทดสอบความสามารถในการเกิดโรคโดย รุ่งรัตน์ (2548) และ นิโลบล (2548) พบว่า เชื้อแบคทีเรีย Ecc สาเหตุโรคเน่า爛ของพืชผักไม่สามารถเกิดโรคต้นแห้งตายในบุนได้ แต่เชื้อแบคทีเรีย Ecc สาเหตุโรคต้นแห้งตายบุนสามารถทำให้เกิดอาการเน่า爛กับชนิดมันฝรั่งได้ และมีคุณสมบัติทางเชรุ่มวิทยาที่แตกต่างไปจาก Ecc สาเหตุโรคเน่า爛ในพืชผัก (รุ่งรัตน์, 2548) จากความแตกต่างในการเกิดโรค และลักษณะทางเชรุ่มวิทยา เป็นลักษณะทางพืชโนไทรป์ที่เชื้อ Ecc แสดงออกมา แต่ยังไม่มีข้อมูลที่บ่งชี้ถึงความแตกต่างทางด้านจีโนไทรป์ของเชื้อทั้ง 2 กลุ่มนี้

เทคนิค amplified fragment length polymorphism (AFLP) เป็นวิธีการหาลายพิมพ์ดีเอ็นเอ รายงานครั้งแรกโดย Vos *et al.* (1995) มีประสิทธิภาพในการจัดจำแนกสิ่งมีชีวิต รวมไปถึงเชื้อแบคทีเรียสาเหตุโรคพืช ดังเช่น การจัดจำแนกเชื้อ และการหาความสัมพันธ์ระหว่างกลุ่มของเชื้อแบคทีเรีย soft rot group ระหว่าง *Erwinia carotovora* และ *Erwinia chrysanthemi* (Avrova *et al.*, 2002) ดังนั้นวัตถุประสงค์ในการทดลองในครั้งนี้คือ การประเมินความแตกต่างระหว่างเชื้อแบคทีเรีย Ecc สาเหตุโรคแห้งตายบุนกับเชื้อ Ecc สาเหตุของโรคเน่า爛ในพืชผักด้วยเทคนิค AFLP

วัตถุประสงค์

เพื่อศึกษาประเมินความแตกต่างทางพันธุกรรมของเชื้อ *Erwinia carotovora* subsp. *carotovora* ที่แยกได้จากโรคเน่าและของผัก และที่แยกได้จากโรคตื้นแห้งตายของขنุน ด้วยเทคนิค AFLP

การตรวจเอกสาร

1. ลักษณะและคุณสมบัติของเชื้อ Genus *Erwinia*

แบคทีเรียในสกุล (Genus) *Erwinia* ออยู่ในวงศ์ Enterobacteriaceae เป็นเชื้อแบคทีเรียแกรมลบ, ไม่สร้างสปอร์, มี flagella รอบตัว (peritrichous flagella), สามารถเจริญเติบโตได้ในสภาพที่มีหรือไม่มีออกซิเจน (facultative anaerobic), มีรูปร่างท่อนตรง (rod shaped) ซึ่งเชื้อแบคทีเรียในสกุล *Erwinias* นี้มีรายงานว่าเป็นเชื้อเกิดโรคกับพืช (plant pathogen), ชาโพรไฟฟ์ (saprophyte) และ พากอพิไฟฟ์ (epiphytes) โดยเชื้อในกลุ่ม carotovora สามารถสร้างเอนไซม์ย่อยผนังเซลล์พืชทำให้พืชมีลักษณะอาการเน่า爛 ส่วนเชื้อในกลุ่ม amylovora เป็นเชื้อสาเหตุโรคพืชที่ทำให้เกิดลักษณะอาการแห้งตาย (dry necrotic) หรือเหี่ยว (wilt) กับพืชอาศัย ส่วนเชื้อในกลุ่ม herbicola เป็นพากอพิไฟฟ์เกิดโรคกับพืชที่อ่อนแอ และเป็นชาโพรไฟฟ์ในดิน น้ำ และอากาศ (Beji *et al.*, 1988) เชื้อในกลุ่ม carotovora ประกอบด้วย เชื้อ *Erwinia carotovora* subsp. *atroseptica* (Eca), *Erwinia carotovora* subsp. *carotovora* (Ecc), และ *Erwinia chrysanthemi* (Ech) ทุก species ในกลุ่มนี้ให้ผลเป็นลบในปฏิกิริยา oxidase test แต่ให้ผลเป็นบวกในปฏิกิริยา catalase test สามารถสร้างกรดจากน้ำตาลกลูโคส และน้ำตาลชนิดอื่นๆ หลายชนิดแตกต่างกันไปแต่ละ species (Schaad *et al.*, 2001)

กลไกการทำลายพืชของเชื้อชนิดนี้คือ การสร้างเอนไซม์ย่อยผนังเซลล์พืชทำให้เซลล์พืชหลุดถลวย และปลดปล่อยสารอาหารออกมา หลังจากนั้นเชื้อแบคทีเรียจะใช้สารอาหารเหล่านั้นในการเจริญเติบโต เอนไซม์ที่เกี่ยวข้องกับการเข้าทำลายเซลล์พืชมีหลายชนิดด้วยกัน เช่น pectinase, cellulases และ proteases เอนไซม์ที่มีความสำคัญในการเกิดโรคคือ pectinase เป็นเอนไซม์ที่ย่อย pectin ซึ่งเป็นส่วนประกอบของ primary cell wall และ meddle lamella (Pérombelon, 2002) เอนไซม์ pectinase ได้แก่ Pectate lyase (Pel), Pectin lyase (Pnl), Pectin methylesterase (Pme) และ Polygalacturonase (Peh) แต่ Pectate lyase เป็นเอนไซม์หลักที่ทำให้เกิดโรค (Collmer and Keen, 1986) เชื้อ soft rot *Erwinias* เข้าทำลายพืชโดยผ่านทางบาดแผล หรือช่องเปิดทางธรรมชาติ เมื่อสภาพแวดล้อมเหมาะสมเชื้อจะเกิดโรคกับพืช นอกจากนี้เชื้อยังมีการติดเชื้อแบบ latent infection ในหัวมันฝรั่งทำให้เกิดการแพร่กระจายเชื้อ และจะเข้าทำลายเมื่อพืชอ่อนแอ จึงเรียกได้ว่าเป็น opportunistic pathogens (Pérombelon & Kelman, 1980) พืชอาศัยในกลุ่มนี้ เชื้อ *Erwinia* โดยเชื้อ Ecc เกิดโรคกับพืชได้หลายชนิด ส่วน Eca เกิดโรคกับมันฝรั่ง เนื่องจากว่ามีปัจจัยทางด้านนิเวศวิทยา ที่เอื้ออำนวยให้เชื้ออุยรอดข้ามฤดู บนส่วนขยายพันธุ์ในแคนเบดหน้า ตรงกัน

ข้ามกับ Ech ที่สามารถเกิดโรคในพืชหลายชนิดในเขตร้อน และเขตอุ่น สร้างความเสียหายให้แก่พืชปลูกในเขตร้อน โดยสามารถแบ่งกลุ่มเชื้อเป็น biovars , serovar และ pathovar ได้ หลายสายพันธุ์ เมื่อนำมาจัดกลุ่มแล้วพบว่ามีพืชอาศัยที่เหมือนกัน จึงยากในการจัดแบ่งให้เชื้อจำเพาะกับพืชแต่ละชนิด (Young *et al.*, 1992) เชื้อทั้ง 3 ชนิดนี้มีสภาพเชื้อ Eca และ Ech เป็นสาเหตุทำให้เกิดโรค black leg ในมันฝรั่ง แต่ว่าเชื้อทั้ง 3 ชนิดสามารถทำให้เกิดโรคเน่าและในหัวมันฝรั่งได้ (Pérombelon and Kelman, 1987)

2. โรคเน่าและของผักต่างๆ

โรคเน่าและของผักต่างๆ (soft rot) มีสาเหตุมาจากเชื้อ *Erwinia carotovora* subsp. *carotovora* ผู้ที่พบและรายงานเกี่ยวกับโรคนี้คือนาร์ก คิอ L.R. Jones และให้ชื่อเชื้อในขณะนั้นว่า *Bacillus carotovorus* ต่อมาได้มีผู้สนใจทำการศึกษาเพิ่มเติมอีกหลายท่าน โรคเน่าและจัดได้ว่าเป็นโรคที่อยู่ในกลุ่มของโรคที่สำคัญมาก โรคหนึ่งของพืชผัก เป็นโรคที่เกิดขึ้นทั่วไปในทุกท้องถิ่นที่มีการปลูกผัก โดยเฉพาะหากสภาพแวดล้อมเหมาะสมจะสร้างความเสียหายให้กับพืชผักอย่างรุนแรง ทำให้พืชผักต่างๆ เป็นโรคเน่าและ เช่น กะหล่ำปลี กะหล่ำดอก กะหล่ำปูม ผักกาดขาว ผักกาดตุ้ง ผักกาดเขียวปลี ผักกาดหอม บร็อกโคลี คิ่นฉ่าย แครอท ผักกาดหัว แตงร้าน แตงกวา ฟักแฟง สาหร่าย ฟักทอง มะเขือยาว มะเขือเทศ ถั่วแدخะ ถั่วสันเตา ถั่วฝักยาว ห้อมใหญ่ มันเทศ มันฝรั่ง ข้าวโพดหวาน หน่อไม้ฝรั่ง โดยโรคจะเกิดขึ้นกับทุกส่วนที่เป็นเนื้ออ่อน และอวนน้ำของผักเหล่านี้ (ศักดิ์, 2537) ลักษณะอาการ โรคเน่าและ โดยในระยะแรกพบเป็นจุดมีลักษณะล้ำน้ำคล้ายรอยชำต่องานบาริเวณนี้จะขยายลุกตามออก ไปทำให้เกิดการเน่าและ มีกลิ่นเหม็นฉุน (สมศิริ, 2532) ในผักหัว เช่น แครอท ผักกาดหัว กะหล่ำปูม หากเกิดโรคขึ้นในแปลงปลูก จะสังเกตเห็นส่วนยอดของต้น หรือใบมีลักษณะเหลือง ต้นเหี่ยวย่ำและตายในที่สุด ในผลมะเขือเทศถ้าเกิดโรคกับผลสุกจะที่ยังอยู่บนต้น เนื้อภายในจะถูกทำลายและหมวดแม่วเปลือก และผิวนอกของผลยังคงลักษณะอยู่ สำหรับ กะหล่ำดอกหรือบร็อกโคลีในแปลงปลูก โรคมักจะเกิดตรงส่วนของต้นระหว่างใบกับช่อดอกโดยจะเกิดเป็นแพลงช้ำ และเน่าเป็นสีน้ำตาล เมื่อเอามือไปจับดันจะหักหลุดขาดออกจากไม้โดยง่าย ส่วน กะหล่ำปลี และผักกาดขาวปลี โรคจะเกิดขึ้นกับส่วนของก้านใบหรือใบที่ห่อ หัวชี้นกอกสุดก่อน แล้วถูกตามเข้าไปภายในหัว ผักกาดขาวหรือผักกาดเขียวปลีส่วนใหญ่โรคจะเกิดตรงโคนใบที่ติดกับต้นตรงระดับดิน อาการแรกที่จะเห็นได้คือ ต้นพืชจะเหี่ยวฟุบลงอย่างรวดเร็วทั้งที่ใบยังเปียวยู่ เมื่อใช้มือจับดึงต้นพืชงậpน้ำ ก็จะขาดหลุดติดมือขึ้นมาอย่างง่ายดาย เพราะเนื้อเยื่อตรงส่วนโคนถูกทำลาย (ศักดิ์, 2537)

2.1 การแพร่ระบาด

การแพร่ระบาดของโรคนี้ในประเทศไทย น่าจะเกิดจากการมีเชื้อสาเหตุโรคสะสมอยู่ ในดินบริเวณแหล่งปลูกพืช เมื่อสภาพแวดล้อมเหมาะสม และมีผักที่อ่อนแอต่อโรค เชื้อที่อาศัยอยู่ ในดินสามารถเพิ่มปริมาณ และก่อให้เกิดโรคแก่พืชได้ เมื่อมีต้นพืชเป็นโรคอยู่ในแปลง แม้เพียง 1-2 ต้น จะถูกปests แพร่กระจายเชื้อไปยังต้นอื่นๆ ตามธรรมชาติ ทำให้เกิดโรคในแปลงโดยแบคทีเรียสาเหตุโรคจะเข้าสู่พืช ทางบาดแผล ด้วยการที่ทำให้เกิดแผลมักเป็นหนองต่างๆ เช่น หนองกระทุก หนองไข้ผัก หนองไข้ต้น แปลงพักมีหนองเหล่านี้มาก จะทำให้เชื้อเข้าสู่พืชได้ดีและทำให้โรคแพร่ระบาดได้มากขึ้น (ศักดิ์, 2537)

2.2 การป้องกันกำจัด

วิธีลดความเสี่ยหายนะและป้องกันกำจัด โรคเน่า爛 ที่เกิดจากแบคทีเรีย คือ การหมั่น สังเกตดูแลเอาไว้ใส่แปลง และเมื่อพบต้นใดแสดงอาการ ให้รีบเก็บทำลายทันทีที่เห็น โดยนำไประทิ้ง ให้ไกลจากแปลงปลูกหรือฟังคินลีกๆ หรือเผาไฟให้หมด หลังจากเก็บเกี่ยวพืชผลแล้วควรเก็บเศษ ชาบที่ทำลาย ตลอดจนเก็บชาบที่ออกจากการแปลงปลูกให้หมด โดยเฉพาะหลังจากเกิดโรคขึ้น ทั้งนี้ เพื่อป้องกันไม่ให้เชื้ออาศัยอยู่ในเศษชาบที่ชนถึงการปลูกในช่วงต่อไปได้ ขณะที่แปลงปลูกว่างอยู่ ควรบุดหรือไถลิกกลับหน้าดินขึ้นมาตากแดด 2-3 ครั้ง โดยทิ้งระยะเวลาห่างกันพอสมควรหรือ หากเป็นไปได้ควรจะเปลี่ยนชนิดของพืชปลูก ไม่ควรปลูกผักชนิดเดียวกันกับพืชที่เคยเป็นโรค หรือจ่ายต่อการเกิดโรคช้ำลงในแปลงเดิม และไม่ควรปลูกผักแน่นหรือเบี้ยดกันมากเกินไป การรดน้ำหรือไห้น้ำกับต้นพืชควรให้เป็นเวลา และให้พอเพียงในครั้งเดียว ในการเก็บเกี่ยวผลผลิตหรือ กระทำการใดๆ ต่อต้นพืชควรระวังอย่าให้เกิดแผลหรือเกิดการนีกขาดในส่วนของพืช โดยไม่จำเป็น ภายนอกที่ใช้บรรจุควรจะใหม่หรือต้องสะอาดปราศจากเชื้อติดอยู่ ในการขนส่งจากไร่หรือแปลง ปลูก ไม่ควรวางภายนอกที่บรรจุซ้อนทับกันหลายชั้น ควรมีไม้วางห่วงกันระหว่างชั้นเพื่อลดการ เกิดบาดแผลระหว่างการขนส่ง การใช้สารเคมีเพื่อป้องกันกำจัดโรคควรจะเป็นวิธีสุดท้ายในกรณีที่ ใช้วิธีอื่นแล้วไม่ได้ผล (ศักดิ์, 2537)

สำหรับการใช้เชื้อแบคทีเรียแยกทางโภนิสต์เพื่อควบคุมเชื้อ *Erwinia* ชื่อทิพย์ (2538) รายงานว่า การควบคุมโรคเน่า爛ของมันฝรั่งในสภาพโรงเรือนโดยใช้ชลเด็กวนลอยเชื้อ *Bacillus* spp. สายพันธุ์ NK-T03 สามารถควบคุมโรคที่เกิดจากเชื้อ soft rot *erwinia* โดยมีต้นกล้ามันฝรั่งตาย เพียง 8.3 เปอร์เซ็นต์

3. โรคต้นแห้งตายของขุน

โรคต้นแห้งตายหรือโรคทรุดโกรนในขุน พบว่าอาการเริ่มแรกบางไหลอออกมาจากกิงหรือลำต้น เมื่อตากเปลือกไม้บริเวณที่มีyang ไหลอออกจะเห็นบริเวณด้านในของเปลือกเป็นสีน้ำตาลเข้ม ยาวประมาณ 2-3 เซนติเมตร ลึก 1 มิลลิเมตร เนื้อไม้ได้เปลือกพบว่าสีน้ำตาลเข่นกัน ผลร่วง ใบเปลี่ยนเป็นสีน้ำตาลเข้มและร่วง กิ่งและลำต้นแห้งตาย ต้นขุนที่ถูกเชื้อเข้าทำลายอาจไม่ตาย แต่ถ้ามีอาการรุนแรงมากจะทำให้ต้นตายได้ในที่สุด หากมีการบำรุงรักษาดี พบว่ามีการสร้างเปลือกใหม่ และให้ผลผลิตได้ภายนอกจากการสร้างเปลือกใหม่ (เสนอใจ และ บรรหาร, 2533; ณัฐรูจิมา และ คณะ, 2536) จากการศึกษาคุณสมบัติทางสัมฐานวิทยา สรีร์วิทยา ชีวเคมี พบว่ามีลักษณะรูปร่างท่อนตรง ขนาด $0.5 - 1.0 \times 1.0 - 3.0$ ไมครอน เคลื่อนที่โดยใช้หางแบบ peritrichous ติดสีแกรมลบ จัดเป็นพวก facultative anaerobe ปฏิกิริยาของเอนไซม์ออกซิเดตเป็นลบ แต่จะตะเลสเป็นบวก เจริญเติบโตได้ใน 5 เปอร์เซ็นต์ NaCl และเจริญได้ที่อุณหภูมิ 37 องศาเซลเซียล ต้านทานต่อสารปฏิชีวนะ erythromycin สามารถย่อยชิ้นมันฝรั่ง แตงกวา แครอท และผักกาดขาวได้ สามารถใช้pectate โดยทำให้เกิดหกุ่นบนอาหาร CVP ได้ (รุ่งรัตน์, 2548) เมื่อจัดจำแนกเชื้อโดยระบบ BIOLOG System (Biolog, Hayward, CA, USA) พบว่าเป็นเชื้อ *Erwinia carotovora* subsp. *carotovora* (Ecc) (รุ่งรัตน์, 2548; นิโลบล, 2548) โดย ณัฐรูจิมา และ คณะ (2536) รายงานว่าเชื้อมีคุณสมบัติจัดอยู่ในกลุ่ม Ecc สาเหตุโรคเน่า爛ของผักต่างๆ แต่มีคุณสมบัติที่สำคัญบางประการที่แตกต่าง ได้แก่ ไม่สามารถเปลี่ยนในเตรตเป็นในไตรท์ ไม่สร้างกรดจากน้ำตาล cellobiose สามารถใช้ malonate, galacturonate และ tartrate ได้ รวมทั้งความสามารถในการทำให้เกิดโรคกับต้นกล้าขุน (ณัฐรูจิมา และ คณะ, 2539; รุ่งรัตน์, 2548; นิโลบล, 2548) นอกจากนี้ รุ่งรัตน์ (2548) ได้พัฒนาวิธีการทางเชรุ่มวิทยาเพื่อตรวจหาเชื้อ Ecc โดยพบว่าวิธีการ ELISA สามารถตรวจให้ผลความไวต่อเชื้อที่ความเข้มข้นต่ำสุดที่ระดับ 6×10^2 เซลล์/มิลลิตร อย่างไรก็ตามการทดสอบดังกล่าวใช้เชื้อบริสุทธิ์ และไม่ได้ทดสอบกับเชื้อในตัวอย่างธรรมชาติ ซึ่งอาจจะส่งผลให้ประสิทธิภาพในการตรวจจากตัวอย่างพืชคงลดได้ เนื่องจากในตัวอย่างธรรมชาติ อาจจะมีปัจจัยอื่นๆ มาเกี่ยวข้อง เช่น ปริมาณเชื้อมีน้อยจนไม่สามารถตรวจสอบได้ และสารในพืชที่มีผลต่อการตรวจ นอกจากการพัฒนาวิธีการทางเชรุ่มวิทยา นิโลบล (2548) ได้ออกแบบไพร์เมอร์ที่สามารถตรวจสอบยืน pel ของเชื้อ Ecc ทั้งที่เป็นสาเหตุโรคต้นแห้งตายในขุน และสาเหตุโรคเน่า爛ในผัก และพัฒนาวิธีการตรวจหาเชื้อในตัวอย่างธรรมชาติ พบว่า การเตรียมตัวอย่างตรวจควรทำการเจือจางน้ำคั้นที่เตรียมได้ในอาหารเหลว PE-PGA (อาหารเหลวที่เติม polygalacturonic acid) ก่อนนำไปตรวจสอบด้วยเทคนิค PCR เพื่อเพิ่มปริมาณเชื้อให้มากขึ้น และทำให้มีประสิทธิภาพในการตรวจเชื้อ Ecc เนื่องจากในชิ้นขุนมีสารยับยั้งการเจริญเติบโตของเชื้อ และสารยับยั้งปฏิกิริยา PCR โดยวิธีการ

เหมาะที่สุดคือเบย่าແแยกเชื้อจากชิ้นพีช 1 กรัม ด้วยน้ำมันงา เชื้อ 9 มิลลิลิตร ที่ความเร็ว 150 รอบ/นาที เป็นเวลา 30 นาที แล้วคุณนำที่เตรียมได้ 1 มิลลิลิตร ไปเจือางในอาหารเหลว PE-PGA ปริมาณ 5 มิลลิลิตร เบย่าที่ความเร็ว 150 รอบ/นาที เป็นเวลา 16 ชั่วโมง ซึ่งวิธีนี้สามารถแยกเชื้อสาเหตุได้มากที่สุด 10^7 CFU/มิลลิลิตร และตรวจสอบด้วยเทคนิค PCR ได้ 100 เปอร์เซ็นต์ จากการวิเคราะห์ลำดับเบสและลำดับกรดอะมิโน ของยีน *pel* ของเชื้อ *Ecc* สาเหตุโรคแท้งตายของบุน หมื่นกับ *pelC* ของเชื้อ *Ecc* สาเหตุโรคเน่าและผก

4. การจัดจำแนกเชื้อ *Erwinia carotovora*

แบคทีเรียในสกุล *Erwinia* อยู่ในวงศ์ Enterobacteriaceae จัดอยู่ใน 2 กลุ่มใหญ่ คือ กลุ่ม *amylovora* group และ *carotovora* group ภายในกลุ่ม *carotovora* ประกอบด้วย *E. carotovora* และ *E. chrysanthemi* ซึ่งเป็นเชื้อโรคที่ทำให้พืชเกิดอาการเน่า จนกระทั่งปี 1981 *E. carotovora* ได้แบ่งเป็น 2 subspecies คือ *E. carotovora* subsp. *carotovora* ซึ่งเป็นสาเหตุโรคเน่าและกับพืชหลายชนิดในโรงเก็บ และ *E. carotovora* subsp. *atroseptica* ซึ่งก่อให้เกิดโรคในระบบท่อลำเลียงพีช เช่น โรค black-leg ของมันฝรั่ง ปัจจุบันจำนวนของ subspecies ใหม่ได้เพิ่มมากขึ้น คือ *E. carotovora* subsp. *betavasculorum* สาเหตุโรคเน่าและของ sugar beet, *E. carotovora* subsp. *wasabiae* ที่แยกเชื้อได้จาก horseradish ในประเทศไทย ซึ่งเป็นสาเหตุของโรคเน่าและกับผักอีกหลายชนิด และ *E. carotovora* subsp. *odorifera* สาเหตุโรคเน่าและของกระเทียมและผักชี (Avrova et al., 2002)

หลังจากนั้นในปี 1998 Hauben และคณะ จัดจำแนกเชื้อ *E. carotovora* และ *E. chrysanthemi* ใหม่โดยศึกษาลำดับเบสของ 16S rDNA สามารถจัดจำแนก และบอกความสัมพันธ์ระหว่าง species ในกลุ่มของเชื้อ *Erwinia* จากผลการทดลองแสดงให้เห็นว่า เชื้อในสกุล *Erwinia* ควรจะแบ่งเป็น 4 สกุล คือ *Erwinia*, *Pectobacterium*, *Pantoea* และ *Brenneria* ซึ่งในสกุล *Erwinia* มี 6 species ประกอบด้วย *E. amylovora*, *E. mallophilova*, *E. persicina*, *E. psidii*, *E. rhapontici* และ *E. tracheiphila* ส่วนสกุล *Pectobacterium* มี 4 species ประกอบด้วย *E. carotovora*, *E. chrysanthemi*, *E. cacticida* และ *E. pypripedii* ส่วนสกุล *Brenneria* มี 6 species ประกอบด้วย *E. alni*, *E. nigrifluens*, *E. parodisiaca*, *E. quercina*, *E. rubrifaciens* และ *E. salicis* ส่วนสกุล *Pantoea* มี 5 species ประกอบด้วย *E. ananas*, *E. herbicola*, *E. milletiae*, *E. stewartii* และ *E. uredovora* แม้ว่าเชื้อของ *Pectobacterium* สามารถใช้แทนเชื้อ *Erwinia* สาเหตุโรคเน่าและแล้วก็ตามแต่นักโรคพีชที่ศึกษาเชื้อแบคทีเรียส่วนใหญ่ยังไม่นิยมใช้ และอ้างอิงเชื้อ *Erwinia* มากกว่า (Avrova et al.,

2002) และยังคงใช้การจัดจำแนกเชื้อในสกุล *Erwinia* โดยใช้ลักษณะ biochemical และ physiological (Schaad *et al.*, 2001)

เนื่องจากเชื้อ Ecc มีพิษอาศัยที่กรองเจ็มมีรายงานที่เกี่ยวข้องกับความแตกต่างภายในกลุ่มเชื้อ Ecc ที่เกิดโรคในพืชต่างๆ ดังเช่น Seo *et al.* (2002) ได้ทดสอบเชื้อ Ecc จำนวน 87 สายพันธุ์จาก 3 ประเทศ คือ สูญปูน, เกาหลี, และ ไทย มาจัดจำแนกโดยใช้ลักษณะของเชื้อแบคทีเรีย คุณสมบัติทางพันธุกรรมและ การเกิดโรคกับพืชทดสอบ 4 ชนิด คือ มันฝรั่ง, มะเขือเทศ, หอมหัวไก่ และแตงกวา จากผลการทดสอบการเกิดโรคบนพืชทดสอบแบ่งเชื้อ Ecc ได้ 4 กลุ่ม อย่างไรก็ตามผลจากการศึกษาคุณสมบัติทางพันธุกรรมด้วยเทคนิค PCR-Restriction Fragment Length Polymorphism (PCR-RFLP) โดยการเพิ่มปริมาณ 16S rDNA ของเชื้อ ด้วยเทคนิค PCR และนำมาตัดด้วยอินไซซ์ตัดจำพวก *Hinf*I เมื่อวิเคราะห์ผลແ垦ดีอีนเอที่ได้สามารถแบ่งเชื้อ ได้เป็น 2 กลุ่ม คือ กลุ่มที่ 1 เชื้อ Ecc สายพันธุ์จากประเทศไทย และสูญปูน และกลุ่มที่ 2 เชื้อสายพันธุ์ที่นำมาจากเมืองไทย ในขณะที่ผลการวิเคราะห์ແ垦ดีอีนเอที่ได้จากการทำ PCR ของ *pel* gene แล้วตัดด้วยอินไซซ์ *Sau3AI* แบ่งได้เป็น 3 กลุ่ม โดยเชื้อทั้ง 86 สายพันธุ์จัดอยู่ในกลุ่มที่ 1 และ 2 ขณะที่เชื้อเพียง 1 สายพันธุ์ที่แยกมาจากโรคยอดเน่าของหม่อนมีลายพิมพ์ดีอีนเอที่แตกต่างออกไปจึงจัดอยู่ในกลุ่มที่ 3 ซึ่งต่อมมา Seo *et al.* (2004) ได้รายงานว่าเชื้อ Ecc ที่แยกได้จากหม่อนสามารถแบ่งได้เป็น 2 type จากผลการวิเคราะห์โปรตีนของเชื้อ Ecc ที่แยกมาจากหม่อน และเชื้อ Ecc ที่เป็น type strain โดยเทคนิค sodium dodecyl sulfate-polyacrylamide (SDS-PAGE) และการศึกษาลักษณะลายพิมพ์ดีอีนเอด้วย เทคนิค (RAPD)

5. เทคนิค amplified fragment length polymorphism (AFLP)

เทคนิค amplified fragment length polymorphism (AFLP) เป็นเทคนิคของเครื่องหมายดีอีนเอ (DNA marker) ที่พัฒนาโดย Vos *et al.* (1995) ซึ่งมีพื้นฐานของเทคนิคคือการตรวจสอบชิ้นดีอีนเอที่ตัดด้วยอินไซซ์ตัดจำพวก โดยการเพิ่มปริมาณด้วยปฏิกิริยา PCR (ภาพที่ 1) เทคนิค AFLP ให้ลักษณะลายพิมพ์แบบสุ่ม (random fingerprint) ไม่ซ้ำกับขนาด และความซับซ้อนของจีโนมสามารถปรับให้เกิดลายพิมพ์ดีอีนเอที่เหมาะสมต่อการวิเคราะห์ผล ได้ โดยปรับจำนวนเบสคัดเลือกที่ปลาย 3' ของไฟรเมอร์ (สุรินทร์, 2543) ปัจจุบันเทคนิค AFLP ใช้กันอย่างแพร่หลายในการศึกษาคุณลักษณะทางจีโนม ไปปีของสิ่งมีชีวิต เช่น นามศึกษาพันธุศาสตร์ประชากร ศึกษาเอกลักษณ์ของสิ่งมีชีวิต ความสัมพันธ์ทางวิวัฒนาการ ความหลากหลายทางชีวภาพ และใช้ทำแผนที่ของจีโนม ได้โดยมีข้อดีกว่าเทคนิคอื่น คือ การวิเคราะห์ดีอีนเอโดยเทคนิค AFLP ไม่ต้องใช้ข้อมูลลำดับเบสของ

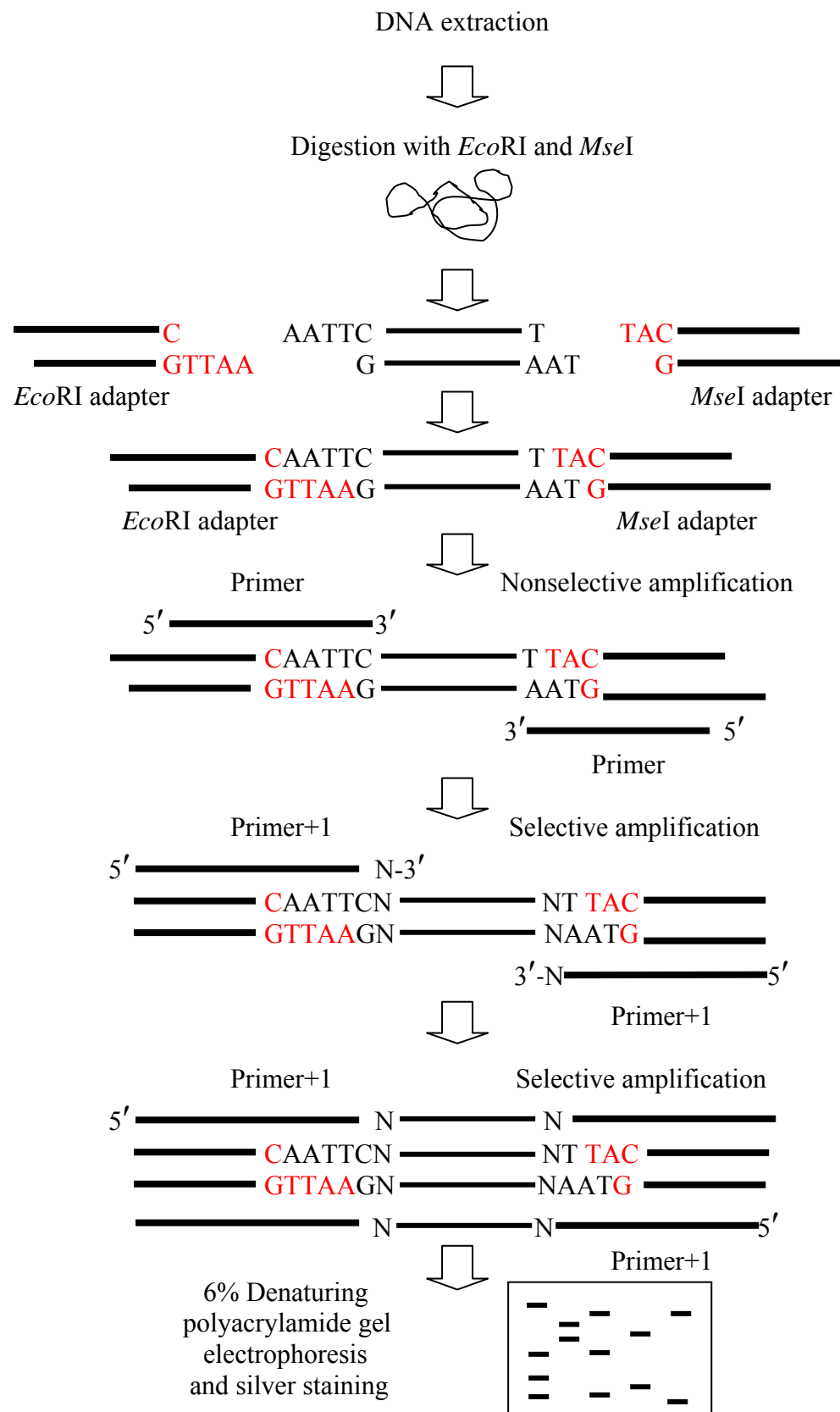
ดีอีนเอ ใช้ปริมาณดีอีนเอเริ่มต้นจำนวนน้อย การทำปฏิกิริยาครั้งหนึ่งๆ สามารถตรวจสอบดีอีนเอได้หลายตำแหน่ง (multi-loci) นอกจากนี้เทคนิค AFLP ยังทำให้เกิดโพลิมอร์ฟิซึมได้จำนวนมาก จึงสามารถใช้บอกความแตกต่างของสิ่งมีชีวิตแต่ละตัวอย่างได้ดี (สุรินทร์, 2545)

6. การศึกษาลายพิมพ์ดีอีนเอของแบคทีเรียสาเหตุโรคพืชด้วยเทคนิค AFLP

สำหรับการศึกษาเชื้อแบคทีเรียด้วยเทคนิค AFLP องค์ประกอบที่สำคัญคือ การคัดเลือกชนิดของเอนไซม์ตัดจำเพาะที่เหมาะสมกับเปอร์เซ็นต์ GC content ในจีโนมของเชื้อแบคทีเรียที่ต้องการศึกษา (ตารางที่ 1) เนื่องจากชนิดของเอนไซม์ตัดจำเพาะจะเป็นตัวกำหนดขนาด และจำนวนของชิ้นดีอีนเอที่เหมาะสม ดังเห็นได้จากการศึกษาของ Janssen *et al.* (1996)

การใช้เทคนิค AFLP ในการจัดจำแนกเชื้อแบคทีเรียในกลุ่ม soft rot ของเชื้อ *Erwinia carotovora* และ *Erwinia chrysanthemi* จากการวิเคราะห์สามารถจัดจำแนกเชื้อได้เป็น 4 กลุ่ม คือ กลุ่มที่ 1 ประกอบด้วยเชื้อ *E. carotovora* subsp. *carotovora* และ *E. carotovora* subsp. *odorifera* กลุ่มที่ 2 ประกอบด้วย *E. carotovora* subsp. *atroseptica* และ *E. carotovora* subsp. *betavasculorum* กลุ่มที่ 3 และกลุ่มที่ 4 ประกอบด้วย *E. carotovora* subsp. *wasabiae* และ *E. chrysanthemi* ตามลำดับ นอกจากนี้พบว่าระดับความแตกต่างทางพันธุกรรมค่อนข้างสูงในเชื้อสายพันธุ์ต่างๆ ของ *E. carotovora* subsp. *carotovora* และ *E. chrysanthemi* ขณะที่สายพันธุ์ต่างๆ ของเชื้อ *E. carotovora* subsp. *odorifera*, *E. carotovora* subsp. *betavasculorum*, *E. carotovora* subsp. *atroseptica* และ *E. carotovora* subsp. *wasabiae* มีความแตกต่างทางพันธุกรรมในระดับต่ำ ซึ่งสอดคล้องกับรูปแบบของการแพร่กระจาย และพื้นที่อาศัย นอกจากนี้ยังพบว่าผลการจัดกลุ่มเชื้อที่ได้จากการพิมพ์ดีอีนเอของเทคนิค AFLP ให้รายละเอียดความสัมพันธ์ทางพันธุกรรมได้ดีกว่าเทคนิคอื่นๆ ที่ใช้ในการจัดกลุ่มเชื้อ *Erwinia* ที่อยู่ในกลุ่ม soft rot (Avrova *et al.*, 2002)

นอกจากนี้มีการศึกษาเชื้อ *Xanthomonas axonopodis* pv. *manihotis* (Xam) สาเหตุของโรคใบไหม้ มันสำปะหลังด้วยเทคนิค AFLP เปรียบเทียบกับเทคนิค RFLP พบว่าทั้งสองเทคนิคสามารถตรวจสอบความแตกต่างของเชื้อได้ถึงระดับ strain แต่ AFLP ให้รายละเอียดความสัมพันธ์ทางจีโนไทป์ระหว่าง Xam ได้ดีกว่า (Restrepo *et al.*, 1999)



ภาพที่ 1 แผนภาพเทคนิค AFLP (Vos *et al.*, 1995)

ตารางที่ 1 ชนิดของเอนไซม์ตัดจำเพาะที่ใช้ในการวิเคราะห์เชื้อแบคทีเรียต่างๆ โดยเทคนิค AFLP

สกุลเชื้อแบคทีเรีย	G+C content (mol%)	ชนิดของเอนไซม์
<i>Clostridium</i>	24-54	-
<i>beijerinckii</i>	26-28	<i>EcoRI/MseI</i>
<i>acetobutylicum</i>	28-29	<i>EcoRI/MseI</i>
<i>Bacillus</i>	32-69	-
<i>thuringiensis</i>	34	<i>EcoRI/MseI</i>
<i>cereus</i>	36	<i>EcoRI/MseI</i>
<i>larvae</i>	42	<i>EcoRI/MseI</i>
<i>Acinetobacter</i>	38-47	<i>EcoRI/MseI</i>
		<i>HindIII/TaqI</i>
<i>Vibrio</i>	40-50	<i>HindIII/TaqI</i>
		<i>ApaI/TaqI</i>
<i>Aeromonas</i>	57-63	<i>ApaI/TaqI</i>
		<i>EcoRI/MseI</i>
<i>Pseudomonas</i>	58-68	<i>ApaI/TaqI</i>
<i>Xanthomonas</i>	63-71	<i>ApaI/TaqI</i>
		<i>EcoRI/MseI</i>

ที่มา: Janssen *et al.* (1996)

7. การศึกษาวิเคราะห์โดยใช้ข้อมูลจากฐานข้อมูลด้วยเทคนิค *In silico*

In silico มาจากคำว่า in the silicon chip หมายถึง กระทำในคอมพิวเตอร์ หรือ จำลองโดยใช้คอมพิวเตอร์ คำว่า *In silico* ใช้ครั้งแรกในปี 1989 ในงานอบรมเชิงปฏิบัติการ “Cellular Automata: Theory and Applications” ใน Los Alamos รัฐนิวเม็กซิโก สหรัฐอเมริกา ปัจจุบันได้มีการนำเทคนิค *In silico* analysis มาใช้ในการคาดคะเน (prediction) ผลการทดลอง โดยใช้คอมพิวเตอร์กับข้อมูลด้านอนุชีวิทยาของสิ่งมีชีวิตและเชื้อชุลินทรีย์ โดยเฉพาะข้อมูลลำดับเบสที่นำมาศึกษา จำลองการทดลอง โดยประมาณผลการทดลองด้วยระบบคอมพิวเตอร์

เมื่อจำนวนข้อมูลลำดับเบสของแบปค์ที่เรียกว่าเพิ่มขึ้น ความต้องการโปรแกรมเฉพาะทางที่จะใช้ประโยชน์จากฐานข้อมูลลำดับเบสจึงมีมากขึ้นตามลำดับ อาทิเช่น โปรแกรม *In silico* AFLP ที่ใช้กันอยู่ในปัจจุบันมีทั้งจำหน่ายเป็นการค้า และไม่คิดค่าใช้จ่าย ดังเช่น โปรแกรม AFLPinSilico (<http://intra.psb.ugent.be:8080/bioinformatics/AFLPinSilico.html>), *In silico* AFLP (<http://insilico.ehu.es/AFLP/>), ALFIE (<http://bioinfosoftware.phls.org.uk/aflp.html>) ส่วนโปรแกรม RemComb และ *In-silico* AFLP (<http://www.keygene.com>) เป็นโปรแกรมที่มีจำหน่ายเป็นการค้า

โปรแกรม *In silico* AFLP พัฒนาขึ้นโดย Bikandi *et al.* (2004) เป็นโปรแกรมสร้างแบบจำลองเทคนิค AFLP ที่สามารถทำการทดลองผ่านระบบเครือข่ายอินเทอร์เน็ต ได้ โดยมีฐานข้อมูลลำดับเบสของสิ่งมีชีวิตหลายชนิดรวมทั้งเชื้อแบปค์ที่เรียกว่ามีรวมรวมไว้กว่า 100 ชนิด โดยข้อมูลเหล่านี้ได้มาจาก National Center for Biotechnology Information (NCBI) และประกอบเข้ากับฐานข้อมูลเกี่ยวกับเอนไซม์ตัดจำพวกที่นำมาจาก Roberts *et al.* (2003) การจำลองการทดลอง techniques AFLP ด้วยโปรแกรม *In silico* AFLP แสดงผลผ่านทางระบบเครือข่ายอินเตอร์เน็ตในระยะเวลาเพียง 1 - 2 นาที โดยผลที่แสดงเป็นลายพิมพ์ดีอิ้นเอกสารที่印กับแบบฟอร์ม แบบฟอร์มอ่อน มาตรฐาน 100 bp ที่วิเคราะห์บนอะคริลามายด์เจล และให้รายละเอียดจำนวนชิ้น ขนาด และลำดับเบสของแบปค์อี็นเอที่ได้ทำให้นักวิจัย สามารถวางแผนการทดลองก่อนทำการทดลอง ช่วยลดจำนวนของการทดลองก่อนทำในห้องปฏิบัติการจริง (Rombauts *et al.*, 2003)

อุปกรณ์และวิธีการ

1. แบคทีเรียสาเหตุโรคต้นแห้งตายของขันนุนและโรคเน่าและของผัก

เชื้อ *Erwinia carotovora* ทั้ง 37 สายพันธุ์ที่นำมาศึกษานี้ ได้รับจาก ณัฏฐิมา และคณะ (2536), กลุ่มงานบักเตรีวิทยา กอง โรคพืชและจุลชีววิทยา กรมวิชาการเกษตร, นิโอลบล (2548) และ รุ่งรัตน์ (2548) และจากการเก็บแยกเชื้อสาเหตุจากผักต่างๆ ที่เป็นโรคเน่าและเนื่องจากเชื้อ Ecc ในพื้นที่ปลูกผักหลายแหล่ง (ตารางที่ 2) โดยสายพันธุ์เชื้อทั้งหมดที่ทำการศึกษานี้ ได้นำมาแยกเชื้อให้บริสุทธิ์ เพื่อศึกษาขึ้นว่าเป็นเชื้อ *Erwinia carotovora* subsp. *carotovora* โดยเชื้อมีคุณสมบัติสามารถทำให้พืชทดสอบมีอาการเน่าและ เป็นเชื้อแกรมลบ รูปร่าง rod shape ขนาดประมาณ $0.5-1.0 \times 1.0-3.0$ ไมครอน มีคุณสมบัติเป็น facultative anaerobic bacteria และทำปฏิกิริยา PCR กับไฟโรเมอร์ที่จำเพาะในส่วนของ *pel* gene (นิโอลบล, 2548) โดยเบริยินเทียบกับเชื้อแบคทีเรียในวงศ์ Enterobacteriaceae คือ เชื้อ Ecc สายพันธุ์ VECC1596 (นิโอลบล, 2548) และ เชื้อ *Erwinia chrysanthemi* ซึ่งมีลักษณะการเกิดโรคเน่าและเหมือนกับเชื้อ Ecc จำนวน 2 สายพันธุ์ คือ ECH1680 และ 1076-1 แบคทีเรียไฟฟ์ที่มีอยู่ทั่วไปในสภาพแวดล้อม คือ เชื้อ *Pantoea dispersa* และ เชื้อแบคทีเรียวงศ์ Pseudomonadaceae สาเหตุโรคเหี่ยวยของพืช คือเชื้อ *Ralstonia solanacearum* (1295) จำนวน 1 สายพันธุ์ นำมาใช้ในการศึกษาครั้งนี้ (ตารางที่ 2 และ 5)

2. การทดสอบยืนยันเชื้อ Ecc

ทดสอบคุณสมบัติในการทำให้เกิดโรคเน่าและกับพืชทดสอบ รูปร่างลักษณะโคโลนี รูปร่างของเชื้อ คุณสมบัติการติดสีแกรม ด้วย 3% KOH การเป็น facultative anaerobic bacteria การตรวจหาสี *pel* (pectate lyase) เชื้อ Ecc โดยเทคนิค PCR และการตรวจจำแนกยืนยันจากการใช้แหล่งคาร์บอนในการเจริญเติบโต 95 ชนิด ด้วยระบบ BIOLOG System (Biolog, Hayward, CA, USA) โดยวิเคราะห์จำแนกตามค่าแนะนำของบริษัทผู้ผลิต และมีวิธีการ โดยสังเขปดังนี้

2.1 การทดสอบความสามารถในการเกิดโรค

เลี้ยงเชื้อแบคทีเรียบริสุทธิ์เป็นเวลา 24 ชั่วโมงบนอาหาร nutrient agar (NA) ที่ประกอบด้วย beef extract 3 กรัม, peptone 5 กรัม, agar 15 กรัม ในน้ำปริมาณ 1 ลิตร (Schaad *et al.*, 2001) เตรียมสารแ徊นลอยเชื้อ โดยใช้น้ำกลิ้น นำไปวัดปรับค่า optical density (O.D.) หรือค่า

ดูดกลืนแสง ที่ความยาวคลื่นแสง 600 นาโนเมตร ให้มีค่า 0.2 ซึ่งจะทำให้ได้ปริมาณเชื้อ Ecc จำนวน 10^8 CFU/มลลิลิตร (รุ่งรัตน์, 2548) นำสารแ徊วนโลยเชื้อไปทดสอบการเกิดโรค กับพืชทดสอบ 2 ชนิด คือ ชิ้นแตงกวา (cucumber slice) และกานใบผักกาดขาวปลี โดยหยดสารแ徊วนโลยเชื้อปริมาตร 100 ไมโครลิตรบนชิ้นแตงกวาที่ผ่านการล้างทำความสะอาดม่าเชื้อพื้นผิวลดด้วย 0.6% sodium hypochlorite เป็นเวลา 5 นาที และล้างด้วยน้ำกลั่นน้ำง่ายๆ เชื้อ 2 ครั้งๆ ละ 5 นาที ก่อนนำผลตรวจความชื้นตามขวางเป็นชิ้นหนาขนาด 1 เซนติเมตร นำไปบ่มในงานเลี้ยงเชื้อ ที่อุณหภูมิห้อง เป็นเวลา 24 ชั่วโมงตรวจบันทึกผลการทดลอง

การทดสอบการเกิดอาการเน่า爛บนกานใบผักกาดขาวปลี ใช้วิธีการตัดแปลงมาจาก Ahmed (2001) โดยล้างม่าเชื้อที่พื้นผิว กานใบผักกาดขาวด้วย 0.6% sodium hypochlorite เป็นเวลา 5 นาที และล้างด้วยน้ำกลั่นน้ำง่ายๆ เชื้อ 2 ครั้งๆ ละ 5 นาที ผึ่งให้แห้งในศูนย์เยี่ยงเชื้อ หันกานใบผักกาดขาวตามขวาง เป็นชิ้นๆ ละประมาณ 3 เซนติเมตร ดูดสารแ徊วนโลยเชื้อทดสอบปริมาตร 20 ไมโครลิตร ด้วย automatic pipette และนำ pipette tip ที่มีสารแ徊วนโลยเชื้อปักค้างบนกานใบผักกาดขาวปลีเพื่อทำให้เกิดแพลง และให้สารแ徊วนโลยเชื้อเข้าไปในเนื้อเยื่อผักกาดขาว หลังจากนั้นบ่มในถุงพลาสติกที่ปิดปากถุง ที่อุณหภูมิห้องเป็นเวลา 24 ชั่วโมง ทดสอบความสามารถในการเกิดโรคกับพืชทดสอบทั้ง 2 ชนิด เปรียบเทียบกับเชื้อที่ทำให้เกิดโรคเน่า爛 คือ Ecc สายพันธุ์ VECC1596 และเชื้อที่ไม่ทำให้เกิดโรคเน่า爛 คือ *Ralstonia solanacearum* (1295) ตรวจบันทึกผลการทดลอง

2.2 รูปร่างลักษณะโคงโคนีของเชื้อ

นำเชื้อทดสอบที่บริสุทธิ์มา streak บนอาหารเลี้ยงเชื้อ NA บ่มที่อุณหภูมิห้องเป็นเวลา 24 ชั่วโมง นำมาตรวจดูลักษณะรูปร่าง ขนาด สี ของโคงโคนีบันทึกผลการทดลอง (Schaad *et al.*, 2001)

2.3 รูปร่าง และการติดสีแกรมของเชื้อ

เลี้ยงเชื้อที่ต้องการทดสอบบนอาหารเลี้ยงเชื้อ NA เป็นเวลา 18-24 ชั่วโมง นำเชื้อมาข้อมสีตามวิธีการของแกรม ตรวจดูการติดสีแกรม ด้วยกล้องจุลทรรศน์ และดูขนาด และรูปร่าง (วิชัย, 2537; Schaad *et al.*, 2001) นอกจากการข้อมดูการติดสีแกรมแล้วยังมีการทดสอบด้วยสารละลาย 3% KOH โดยเชื้อแบคทีเรียแกรมลบเมื่อนำมาข้อมบนหยดสารละลาย 3% KOH

2.4 การทดสอบคุณสมบัติการเป็น facultative anaerobic bacteria

นำเชื้อทดสอบเลี้ยงบนอาหาร Huge and Leifson's medium ที่ประกอบด้วย peptone 10 กรัม, NaCl 5 กรัม, K_2HPO_4 0.3 กรัม, bromthymol blue 0.03 กรัม และ agar 3 กรัม (Schaad *et al.*, 2001) โดยใช้ stab inoculation เชือล 2 หลอด โดยอีกหลอดหนึ่งเทหัวด้วย paraffin oil ที่นึ่งม่า เชื้อแล้ว 1 - 2 มิลลิลิตร หลังจากปลูกเชื้อ นำไปบ่มที่อุณหภูมิ 27 องศาเซลเซียส สังเกตดูการเปลี่ยนสีของอาหาร และการเจริญเติบโตของเชื้อในอาหารทั้งสองหลอด เปรียบเทียบกับเชื้อแบคทีเรียที่เป็น facultative anaerobic bacteria คือเชื้อ Ecc สายพันธุ์ VECC1596 และเชื้อที่เป็น aerobic bacteria คือเชื้อ *Ralstonia solanacearum* (1295) (วิชัย, 2537; Schaad *et al.*, 2001)

2.5 การตรวจหาสีน้ำเงิน pectate lyase (*pel*) ด้วยเทคนิค PCR

โดยใช้คู่ไพรเมอร์ที่ออกแบบในการตรวจยืนยัน *pel* ที่จำเพาะต่อเชื้อ Ecc (นิโอลบล, 2548) คือคู่ไพรเมอร์ FER1 (5'-CGGGGGTTATGCCACCACTG-3') และ RER-1 (5'-GTTTGTCCCTCACGCACTGTGC-3') โดยปฏิกริยา PCR ที่ปริมาณรวม 20 ไมโครลิตร ประกอบด้วย ดีเอ็นเอจากเชื้อทดสอบ 100 นาโนกรัม, 1X PCR buffer (10mM Tris-HCl, 50mM KCl, 0.08% Nonidet P40), 0.2 mM dNTPs, 1.5 mM MgCl₂, 0.5 Unit *Taq* polymerase (Fermentas, Maryland, USA) และไพรเมอร์ FER1 และ RER-1 อย่างละ 1 μM โดยการทดลองจะใส่ไพรเมอร์ควบคุมร่วม เพื่อเป็นตัวบ่งชี้ปฏิกริยา PCR (internal control primer) คือไพรเมอร์ fD2 (5'-CCGAATTCTCGACAACAGACTTGATCATGGCTCAG-3') และ rP1 (5'-CCCGGGATCCAAGCTTACGGTTACCTTGTACGACTT-3') ที่ใช้ในการตรวจยืนยัน 16S rDNA (Weisburg *et al.*, 1990) นำหลอดที่ใส่ปฏิกริยา PCR ใส่ลงในเครื่อง Thermocycler (T-personal, Biometra GmbH, Gottingen, Germany) โดยตั้งการปรับเปลี่ยนอุณหภูมิตามการทดลองของนิโอลบล (2548) ดังนี้

- ขั้นที่ 1 อุณหภูมิ 94 องศาเซลเซียสเป็นเวลา 3 นาที
- ขั้นที่ 2 อุณหภูมิ 94 องศาเซลเซียสเป็นเวลา 1 นาที
- ขั้นที่ 3 อุณหภูมิ 60 องศาเซลเซียสเป็นเวลา 1 นาที

- ขั้นที่ 4 อุณหภูมิ 72 องศาเซลเซียสเป็นเวลา 1.5 นาที
- ขั้นที่ 5 ทำซ้ำ ขั้นที่ 2 ถึง 4 จำนวน 25 รอบ
- ขั้นที่ 6 อุณหภูมิ 72 องศาเซลเซียสเป็นเวลา 10 นาที

นำผลผลิตการขยายยีน (PCR products) ไปตรวจวิเคราะห์โดยแยกบนอะกราฟอิโซเลต ด้วยวิธีอิเลคโทรforeช์ซีส ข้อมูลแถบดีเอ็นเอด้วยเอนไซดีเมมโนร์โนด์ นำไปดูແນບดีเอ็นเอเพื่อหมายเหตุได้แสงอุลตร้าไวโอเล็ต บันทึกผลการทดลอง

2.6 การตรวจจำแนกเชื้อจากการใช้แหล่งคาร์บอนในการเจริญเติบโต

การตรวจจำแนกเชื้อแบคทีเรียโดยใช้แหล่งคาร์บอนในการเจริญเติบโตของเชื้อโดยทดสอบในอาหารสำเร็จรูป GN2 (Biolog, Inc., CA, USA) โดยทดสอบตามคำแนะนำของผู้ผลิต ซึ่งมีวิธีการโดยสังเขปดังนี้

เลือกเชื้อแบคทีเรียที่ต้องการทดสอบบนอาหารเลือกเชื้อ NA ที่อุณหภูมิ 30 องศาเซลเซียส เป็นเวลา 24 ชั่วโมง นำเชื้อที่เจริญมาเตรียมสารแ徊วนโดยเชื้อแบคทีเรียโดยละลายใน inoculum fluid (IF) ปรับความเข้มข้นของเชื้อตามคำแนะนำ โดยวัดด้วยเครื่อง Biolog turbidimeter ให้มีค่าแสงส่องผ่าน (transmittance, T) เป็น 63 เปอร์เซ็นต์ นำสารแ徊วนโดยเชื้อแบคทีเรียเติมลงในหลุมอาหาร GN2 หลุมละ 150 ไมโครลิตร บ่มที่อุณหภูมิ 30 องศาเซลเซียส เป็นเวลา 24 ชั่วโมง อ่านผลค่าการใช้แหล่งคาร์บอนด้วย spectrophotometer (Microlog™ System) ที่ความยาวคลื่น 590 นาโนเมตร ซึ่งเชื่อมโยงกับคอมพิวเตอร์ที่มีฐานข้อมูลเชื้อ และวิเคราะห์โดยใช้โปรแกรม Microlog Version 4.2 (Biolog, Inc., Hayward, USA) ในการวิเคราะห์จำแนกเชื้อแบคทีเรีย

3. การตรวจวิเคราะห์ความสัมพันธ์ทางพันธุกรรมของเชื้อด้วยเทคนิค AFLP

3.1 การศึกษาวิเคราะห์จีโนมเชื้อ *Erwinia carotovora* เพื่อเลือกใช้อีโอนไซม์ และไพรเมอร์สำหรับ AFLP โดยใช้ข้อมูลจากฐานข้อมูลด้วยเทคนิค *In silico analysis*

จากการศึกษาจากฐานข้อมูล Genbank พบว่า เชื้อ *Erwinia carotovora* subsp. *carotovora* (Ecc) ยังไม่มีข้อมูลดำเนินแบบองค์จีโนมครบถ้วน เมื่อพิจารณาแบ่ง subspecies ในกลุ่ม

เชื้อ Erwinias พบว่าเชื้อ *Erwinia carotovora* subsp. *atroseptica* (Eca) มีลักษณะการใช้น้ำตาล sorbitol, melibiose, citrate, raffinose, arabitol และ lactose เหมือนกับเชื้อ Ecc แตกต่างกันที่ เชื้อ Eca ไม่สามารถเจริญได้ที่อุณหภูมิ 37 องศาเซลเซียส (Schaad *et al.*, 2001) ด้วยเหตุนี้เชื้อ Eca จึงมี ความใกล้ชิดกับเชื้อ Ecc มากที่สุด และปัจจุบันมีข้อมูลคำดับเบลของเชื้อ Eca ทั้งจีโนมแล้ว ดังนั้น จึงนำเชื้อ Eca มาศึกษาด้วยเทคนิค *In silico* analysis แทนเชื้อ Ecc ในการวิเคราะห์เลือกชนิดของ เอนไซม์ และคำดับเบลในขั้นตอน selective amplification ซึ่งเชื้อ Eca มีเปอร์เซ็นต์ GC content เท่ากับ 50.97 เปอร์เซ็นต์ จึงสามารถเลือกใช้เอนไซม์ *Apal/TaqI*, *HindIII/TaqI* และ *EcoRI/MseI* (ตารางที่ 1) จึงนำข้อมูลการเลือกชนิดของเอนไซม์ รวมวิเคราะห์ด้วยเทคนิค *In silico* analysis บนเว็บไซต์ <http://insilco.ehu.es> เพื่อเลือกชนิดของเอนไซม์ และคำดับเบลของไพรเมอร์ที่ให้ จำนวนแอบดีเอ็นเอในช่วง 100-200 แอบ วิเคราะห์ combination โดยขั้นตอนการใช้โปรแกรม *In silico* AFLP ดังแสดงสรุปในภาพที่ 2 ผลการวิเคราะห์จะแสดงที่หน้าเว็บไซต์ ซึ่งโปรแกรมจะ จำลองผลลักษณะของแอบดีเอ็นเอที่ได้ เปรียบเทียบกับแอบดีเอ็นเอมาตรฐาน 100 bp เมื่อผลการ วิเคราะห์จำนวนแอบดีเอ็นเอที่ได้ไม่เกิน 200 แอบ (ภาพที่ 3) และไม่แสดงผลลักษณะของแอบดี เอ็นเอ เมื่อได้ผลการวิเคราะห์เกิน 200 แอบ (ภาพที่ 4)

ตารางที่ 2 สายพันธุ์เชื้อแบคทีเรีย พืชอาศัย แหล่งที่เก็บ ปีที่เก็บ และที่มาของเชื้อที่ใช้ในการศึกษา

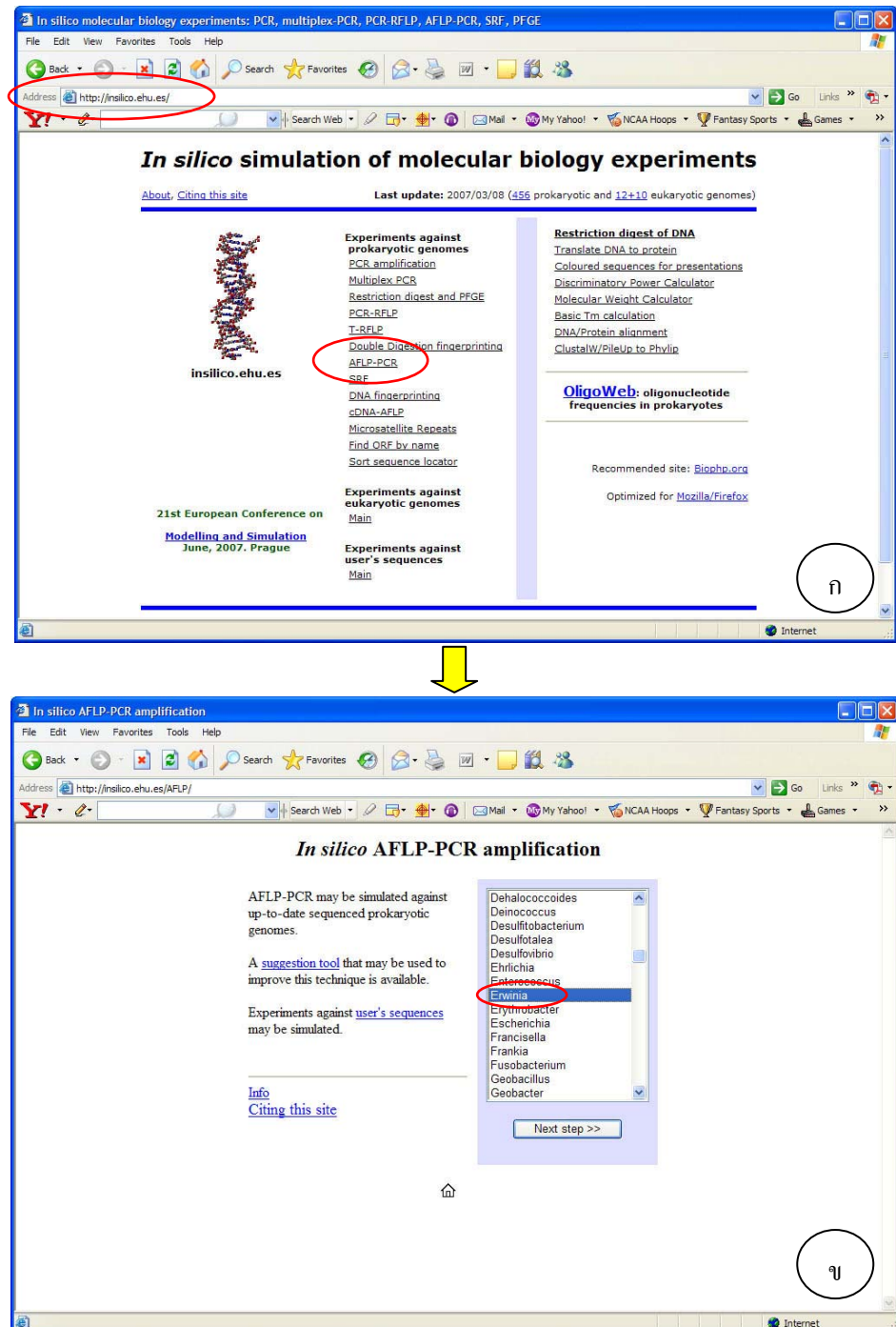
ชื่อสายพันธุ์ ^๑	พืชอาศัย	แหล่งที่เก็บ	ปีที่เก็บ ^๒	แหล่งที่มาของเชื้อ ^๓
<i>Erwinia carotovora</i> subsp. <i>carotovora</i>				
1408	พริกห ragazzi	นครราชสีมา	2540	กบ瓦
1428	ผักกาดขาวปลี	เชียงราย	2540	กบ瓦
64-4	มันฝรั่ง	เชียงใหม่	2527	กบ瓦
681-1	หน่อไม้ฝรั่ง	เพชรบูรณ์	2530	กบ瓦
CDOA1028	จำปาดะ	สงขลา	2536	ณัฏฐิมาและคณะ (2536)
CS1006	จำปาดะ	สงขลา	2546	รุ่งรัตน์ (2548)
CS2001	จำปาดะ	สงขลา	2546	รุ่งรัตน์ (2548)
CS2003	จำปาดะ	สงขลา	2546	รุ่งรัตน์ (2548)
CS2004	จำปาดะ	สงขลา	2546	รุ่งรัตน์ (2548)
JDOA1147	ขมุน	ยะเขต	2536	ณัฏฐิมาและคณะ (2536)
JK2001	ขมุน	กาญจนบุรี	2546	รุ่งรัตน์ (2548)
JK2005	ขมุน	กาญจนบุรี	2546	รุ่งรัตน์ (2548)
JK2007	ขมุน	กาญจนบุรี	2546	รุ่งรัตน์ (2548)
JK2009	ขมุน	กาญจนบุรี	2546	นิโอลบล (2548)
JN2001	ขมุน	นครปฐม	2546	รุ่งรัตน์ (2548)
JN2003	ขมุน	นครปฐม	2546	รุ่งรัตน์ (2548)
JN2004	ขมุน	นครปฐม	2546	รุ่งรัตน์ (2548)
JN2005	ขมุน	นครปฐม	2546	รุ่งรัตน์ (2548)
JN2007	ขมุน	นครปฐม	2546	นิโอลบล (2548)
JR2001	ขมุน	ยะเขต	2546	นิโอลบล (2548)
JR2002	ขมุน	ยะเขต	2546	นิโอลบล (2548)
VECC1596	ผักกาดหัว	ปราจีนบุรี	2546	นิโอลบล (2548)
VECC2000	ผักกาดหอม	อุบล	2549	การศึกษานี้
VECC2001	ผักกาดหอม	อุบล	2549	การศึกษานี้
VECC2002	ผักกาดหอม	อุบล	2549	การศึกษานี้
VECC2003	ผักกาดหอม	อุบล	2549	การศึกษานี้
VECC2004	ผักกาดหอม	นครปฐม	2549	การศึกษานี้
VECC2005	ผักกาดหอม	นครปฐม	2549	การศึกษานี้
VECC2006	มันฝรั่ง	ตาก	2549	การศึกษานี้

ตารางที่ 2 (ต่อ)

ชื่อสายพันธุ์	พืชอาศัย	แหล่งที่เก็บ	ปีที่เก็บ ^{2/}	แหล่งที่มาของเชื้อ ^{1/}
VECC2007	มันฝรั่ง	ตาก	2549	การศึกษานี้
VECC2008	มันฝรั่ง	ตาก	2549	การศึกษานี้
VECC2009	ผักกาดขาวปลี	เชียงใหม่	2549	การศึกษานี้
VECC2010	ผักกาดขาวปลี	เชียงใหม่	2549	การศึกษานี้
VECC2011	ผักกาดขาวปลี	เชียงใหม่	2549	การศึกษานี้
VECC2012	กะหล่ำ	นครราชสีมา	2549	การศึกษานี้
VECC2013	กะหล่ำ	นครราชสีมา	2549	การศึกษานี้
VECC2014	คิ่นป่าย	เชียงใหม่	2549	การศึกษานี้
<i>Erwinia chrysanthemi</i> (ECH1680)	กล้วยไม้	เชียงราย	2546	นิโอลบ (2548)
<i>Erwinia chrysanthemi</i> (1076-1)	มันฝรั่ง	เชียงใหม่	2534	กบ瓦
<i>Pantoea dispersa</i>	ข้าวโพด	นครราชสีมา	2548	จุฬาเทพ วัชระ ไชยคุปต์ (ติดต่อส่วนตัว)
<i>Ralstonia solanacearum</i> (1295)	พิง	เชียงราย	-	กบ瓦

^{1/} กบ瓦 = กลุ่มงานบักเตรีวิทยา กองโรคพืช และจุลชีววิทยา กรมวิชาการเกษตร กระทรวงเกษตร
และสหกรณ์

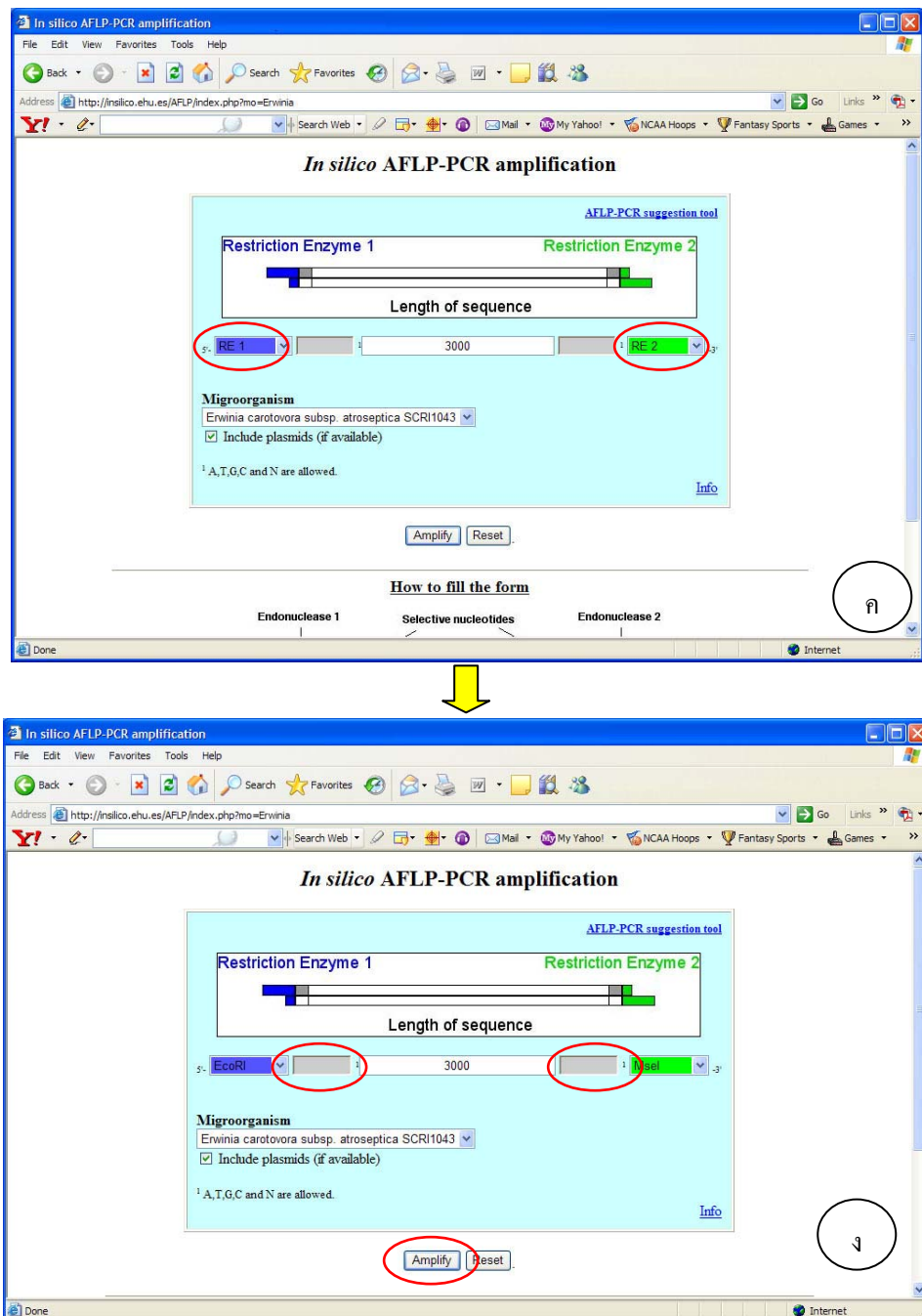
^{2/} - = ไม่มีข้อมูล



ภาพที่ 2 แสดงขั้นตอนการใช้โปรแกรม *In silico* AFLP ผ่านระบบเครือข่ายอินเทอร์เน็ตทาง

เว็บไซต์ <http://insilico.ehu.es>

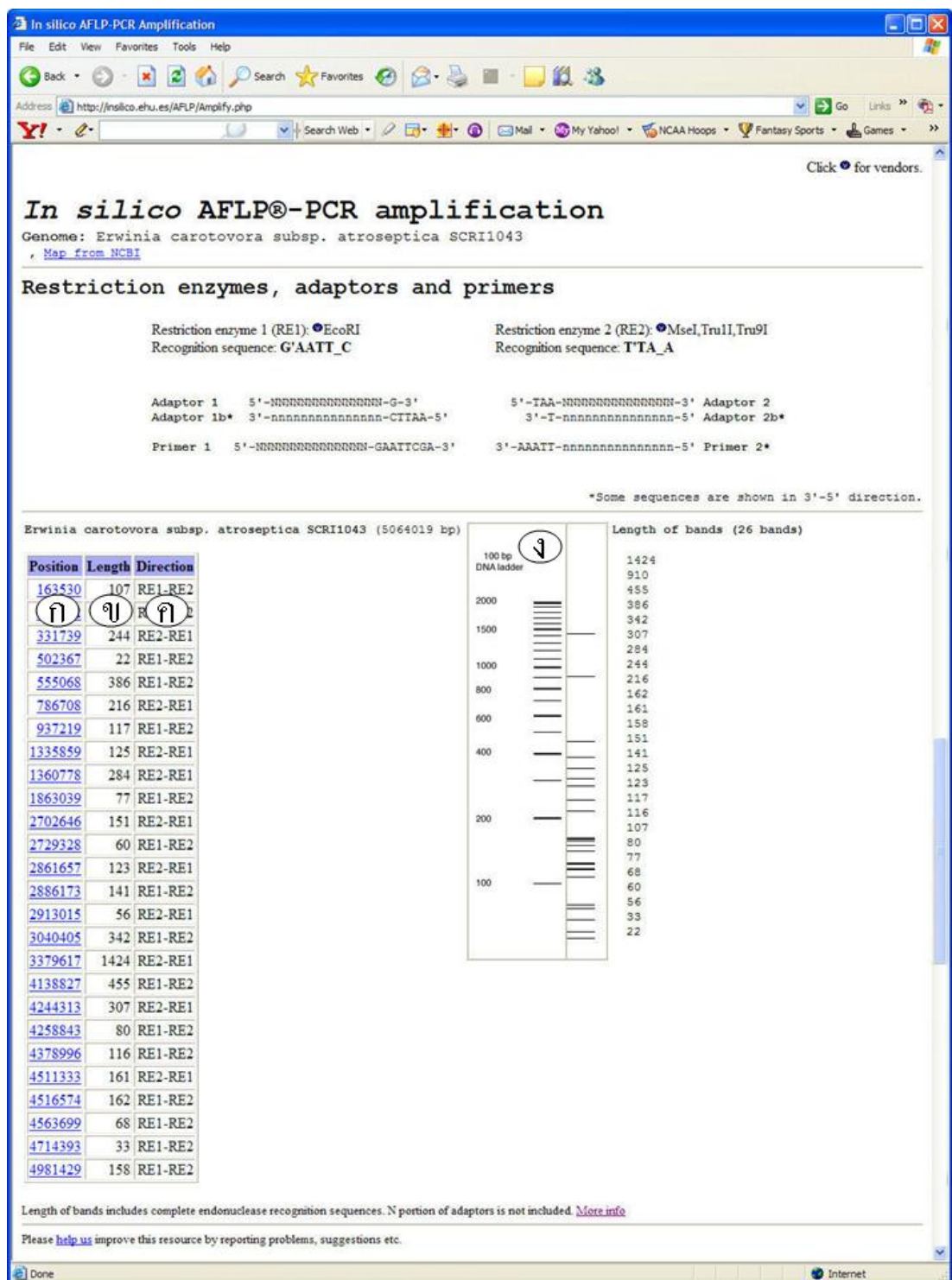
- ก. การพิมพ์ชื่อ <http://insilico.ehu.es> ในช่อง address เข้าไปสู่หน้าเวปไซต์เลือก AFLP-PCR โดยการคลิกเม้าท์ที่ตัวอักษร
- ข. การเข้าสู่การเลือกชนิดของจีโนม Prokaryote ที่ต้องการทำ AFLP เลือก *Erwinia*



ภาพที่ 2 (ต่อ)

- ค. การเลือกชนิดของเอนไซม์ตัดจำเพาะ 2 ชนิดที่ใช้ในการทดลอง
- ง. การพิมพ์เบสในขั้นตอน selective amplified ลงในช่องที่ทำสัญลักษณ์วงกลม
เมื่อเลือกชนิดของเบสแล้ว คลิกตรงที่ไอคอน Amplify กำหนด
Maximum Length of sequence เป็น 3000 bp

- ภาพที่ 3 ตัวอย่างการแสดงผลของโปรแกรม *In silico AFLP – PCR amplification* ผ่านระบบเครือข่าย
อินเทอร์เน็ต เมื่อจำนวนแถบดีเอ็นเอที่ได้มีจำนวนน้อยกว่า 200 แถบ
- ก. Position สามารถคลิกเข้าไปดูลำดับเบสของแถบดีเอ็นเอที่ได้จากการวิเคราะห์
 - ข. Length แสดงจำนวนเบสของแถบดีเอ็นเอที่ได้จากการวิเคราะห์
 - ค. Direction แสดงทิศของชิ้นดีเอ็นเอตำแหน่งที่ถูกตัดด้วยเอนไซม์
 - ง. Length of bands แสดงภาพจำลองแถบดีเอ็นเอที่ได้เปรียบเทียบกับ 100 bp DNA ladder



In silico AFLP®-PCR amplification

Genome: Erwinia carotovora subsp. atroseptica SCRI1043
[Map from NCBI](#)

Restriction enzymes, adaptors and primers

Restriction enzyme 1 (RE1): EcoRI Recognition sequence: G'AATT_C	Restriction enzyme 2 (RE2): MseI,TruII,Tm9I Recognition sequence: TTA_A
---	--

Adaptor 1 5'-NNNNNNNNNNNNNNNN-G-3'	5'-TAA-NNNNNNNNNNNNNN-3' Adaptor 2
Adaptor 1b* 3'-nnnnnnnnnnnnnnn-CTTAA-5'	3'-T-nnnnnnnnnnnnnn-5' Adaptor 2b*
Primer 1 5'-NNNNNNNNNNNNNNN-GAATTCA-3'	3'-TAATT-nnnnnnnnnnnnnn-5' Primer 2*

*Some sequences are shown in 3'-5' direction.

Bands: 221
 Over 200 bands amplified
 Bands are not shown when number of bands is over 200

Length of bands includes complete endonuclease recognition sequences. N portion of adaptors is not included. [More info](#)

Please [help us](#) improve this resource by reporting problems, suggestions etc.

Internet

ภาพที่ 4 ตัวอย่างการแสดงผลของโปรแกรม *In silico AFLP – PCR amplification* ผ่านระบบเครือข่ายอินเทอร์เน็ต เมื่อจำนวนแอบดีเร็นเอฟที่ได้มีจำนวนมากกว่า 200 แบบ

3.2 การเตรียมจีโนมิกดีเอ็นเอ

การเตรียมจีโนมิกดีเอ็นเอเชื่อ Erwinia carotovora subsp. *carotovora* จำนวน 37 สายพันธุ์ และเชื้อที่นำมาทดสอบร่วมจำนวน 4 สายพันธุ์ โดยใช้วิธีการตัดแปลงจาก Ausubel *et al.* (1999) โดยเลือกเชื้อแบคทีเรียในหลอดอาหารเหลว Luria – Bertani (LB) agar (Tryptone 10 กรัม, NaCl 5 กรัม, Yeast extract 5 กรัม, Agar 15 กรัม และเติมน้ำให้ครบ 1 ลิตร) (Schaad *et al.*, 2001) ปริมาตร 5 มิลลิลิตร เขย่า 150 รอบ/นาที ที่อุณหภูมิห้องเป็นเวลา 24 - 48 ชั่วโมง หลังจากนั้นนำไปหมุนเหวี่ยงที่ 9,727 x g เป็นเวลา 5 นาที เพื่อตกรตะกอนเซลล์ ละลายตะกอนด้วยบัฟเฟอร์ TE ปริมาตร 0.5 มิลลิลิตร (10 mM Tris·Cl, pH 7.5, EDTA, pH 8.0) เติม 10% SDS ปริมาตร 30 ไมโครลิตร และ proteinase K (20 มิลลิกรัม/มิลลิลิตร) ปริมาตร 3 ไมโครลิตร นำไปปั่นที่อุณหภูมิ 37 องศาเซลเซียสเป็นเวลา 1 ชั่วโมง เติม 5 M NaCl ปริมาตร 100 ไมโครลิตร ผสมให้เข้ากันเบาๆ เติม 10% CTAB/ 0.7 M NaCl ปริมาตร 80 ไมโครลิตรผสมให้เข้ากันเบาๆ นำไปปั่นที่อุณหภูมิ 65 องศาเซลเซียส เป็นเวลา 10 นาที เติม phenol/chloroform/isoamyl alcohol (25:24:1) เท่ากับปริมาตรส่วนของเหลวที่ได้ ผสมให้เข้ากันแล้วนำไปหมุนเหวี่ยง 5 นาที ที่ 9,727 x g แล้วขยี้ส่วนน้ำใส่ใส่หลอดใหม่เติม isopropanol ที่เย็นปริมาตร 0.6 เท่าของปริมาตร นำไปหมุนเหวี่ยงที่ 9,727 x g เป็นเวลา 5 นาที เพื่อเก็บตะกอนดีเอ็นเอ ทิ้งส่วนที่เป็นของเหลว ล้างตะกอนด้วย 70% ethanol ปริมาตร 1 มิลลิลิตร ผสมให้เข้ากันเบาๆ นำไปหมุนเหวี่ยง 1 นาที ที่ 9,727 x g ทิ้งส่วนที่เป็นของเหลว กว่าหลอดปล่อยตะกอนทิ้งไว้ให้แห้ง เติมบัฟเฟอร์ TE ปริมาตร 100 ไมโครลิตร เพื่อละลายดีเอ็นเอในการนำไปใช้ศึกษาต่อ

3.3 การตัดดีเอ็นเอด้วยเอนไซม์ตัดจำเพาะและการเชื่อมต่อชิ้นดีเอ็นเอกับ adapter

การตัดดีเอ็นเอ และต่อด้วย adapter ตัดแปลงจากวิธีการของ Avrova *et al.* (2002) โดยนำจีโนมิกดีเอ็นเอแบคทีเรียแต่ละเชื้อมา 0.25 ไมโครกรัม ตัดด้วยเอนไซม์ตัดจำเพาะ ทั้ง EcoRI และ MseI ใน OnePhorAll buffer (Amersham Bioscience) ปริมาตรรวม 20 ไมโครลิตร ตามวิธีการที่ผู้ผลิตแนะนำ บ่มไว้ 1 ชั่วโมงที่อุณหภูมิ 37 องศาเซลเซียส หลังจากนั้นต่อชิ้นดีเอ็นเอด้วย EcoRI-adapter และ MseI-adapter (ตารางที่ 3) โดยใช้เอนไซม์ T4 DNA-ligase ใน OnePhorAll buffer ปริมาตร 10 ไมโครลิตร บ่มไว้ที่อุณหภูมิ 37 องศาเซลเซียส เป็นเวลา 3 ชั่วโมง หลังจากนั้นนำไปเลือจาง 10 เท่าด้วยน้ำนีง่า เชื้อ กีบไว้ที่ -20 องศาเซลเซียส หรือนำไปพิมพ์รีามดีเอ็นเอโดยวิธี PCR ต่อไป

3.4 การเพิ่มปริมาณดีเอ็นเอโดยวิธี PCR

การเพิ่มปริมาณดีเอ็นเอทำ 2 ขั้นตอนคือ nonselective amplification และ selective amplification ใช้วิธีการที่คัดแบ่งมาจาก Vos *et al.* (1995) การทำ nonselective amplification โดยนำดีเอ็นเอที่ได้จากข้อ 3.3 มา 2.5 ไมโครลิตร ทำปฏิกิริยาเพิ่มปริมาณชั้นดีเอ็นเอด้วยปฏิกิริยา PCR ปริมาตรรวม 25 ไมโครลิตร (*Eco*RI-Primer E00 0.2 μ M, *Mse*I-Primer M00 0.2 μ M, *Taq* polymerase 1 unit, 1X PCR buffer, $MgCl_2$ 1.5 mM และ dNTPs 0.2 mM) (ตารางที่ 4) โปรแกรมการปรับเปลี่ยนอุณหภูมิในปฏิกิริยา PCR คือ

ขั้นที่ 1 อุณหภูมิ 94 องศาเซลเซียส เป็นเวลา 30 วินาที

ขั้นที่ 2 อุณหภูมิ 56 องศาเซลเซียส เป็นเวลา 1 นาที

ขั้นที่ 3 อุณหภูมิ 72 องศาเซลเซียล เป็นเวลา 1 นาที

ขั้นที่ 4 ทำซ้ำขั้นที่ 1 ถึง 3 เป็นจำนวน 30 รอบ

นำ PCR products มาเจือจาง 10 เท่าของปริมาตรด้วยน้ำนึ่งม่าเชื้อ เพื่อใช้เป็น template - DNA ในการทำ selective amplification โดยนำปฏิกิริยา nonselective amplification เปลี่ยนไพรเมอร์คัดเลือกให้มีความจำเพาะเฉพาะเจาะจงขึ้น โดยนำ PCR product ที่เจือจางเหลวปริมาตร 5 ไมโครลิตร ทำปฏิกิริยาเพิ่มปริมาณดีเอ็นเอปริมาตรรวม 20 ไมโครลิตร (*Eco*RI-Primer E19 0.25 μ M, *Mse*I-Primer M00 0.25 μ M, *Taq* polymerase 0.5 unit, 1X PCR buffer, $MgCl_2$ 1.5mM และ dNTPs 0.2mM) (ตารางที่ 4) ใช้โปรแกรมการปรับเปลี่ยนอุณหภูมิในปฏิกิริยา PCR คือ

ขั้นที่ 1 อุณหภูมิ 94 องศาเซลเซียส เป็นเวลา 30 วินาที

ขั้นที่ 2 อุณหภูมิ 65 องศาเซลเซียส เป็นเวลา 30 วินาที

ขั้นที่ 3 อุณหภูมิ 72 องศาเซลเซียส เป็นเวลา 1 นาที

ขั้นที่ 4 ทำซ้ำขั้นที่ 1 ถึงขั้นที่ 3 เป็นจำนวน 12 รอบ แต่ลดอุณหภูมิขั้นที่ 2 ลงรอบ

ละ 0.7 องศาเซลเซียส

ขั้นที่ 5 อุณหภูมิ 94 องศาเซลเซียส เป็นเวลา 30 วินาที

ขั้นที่ 6 อุณหภูมิ 56 องศาเซลเซียส เป็นเวลา 30 วินาที

ขั้นที่ 7 อุณหภูมิ 72 องศาเซลเซียส เป็นเวลา 1 นาที

ขั้นที่ 8 ทำซ้ำขั้นที่ 5 ถึงขั้นที่ 7 เป็นจำนวน 23 รอบ

ตารางที่ 3 ลำดับเบสของ adapter ในเทคนิค AFLP

ลำดับเบส adapter	อ้างอิง
<i>Eco</i> RI adapter	
5'-CTCGTAGACTGCGTACC-3'	Vos <i>et al.</i> (1995)
5'-AATTGGTACGCAGTC-3'	
<i>Mse</i> I adapter	
5'-GACGATGAGTCCTGAG-3'	Vos <i>et al.</i> (1995)
5'-TACTCAGGATCTAT-3'	

ตารางที่ 4 ลำดับเบสไฟรเมอร์ในขั้นตอน nonselective amplification และ selective amplification

ไฟรเมอร์	ลำดับเบส	อ้างอิง
E00	5'-GACTGCGTACCAATTC-3'	Vos <i>et al.</i> (1995)
M00	5'-GATGAGTCCTGTAGTAA-3'	Vos <i>et al.</i> (1995)
E19	5'-GACTGCGTACCAATT CGA -3'	Avrova <i>et al.</i> (2002)
Eco+A	5'-GACTGCGTACCAATT CA -3'	-
Eco+T	5'-GACTGCGTACCAATT CT -3'	-
Eco+C	5'-GACTGCGTACCAATT CC -3'	-
Mse+T	5'-GATGAGTCCTGTAGTAAT-3'	-
Mse+A	5'-GATGAGTCCTGTAGTAAA-3'	-
Mse+G	5'-GATGAGTCCTGTAGTAAG-3'	-
Mse+T	5'-GATGAGTCCTGTAGTAAT-3'	-

3.5 การแยกขนาดชีนดีเอ็นเอโดย denaturing polyacrylamide gel

การเตรียมกระจากสำหรับเทเจล โดยนำแผ่นกระจากสำหรับเตรียมเจลมาล้างให้สะอาด เช็ดด้วยเอทานอล 95 เปอร์เซ็นต์ให้สะอาดทั้ง 2 แผ่น เช็ดกระจากแผ่นให้ผู้ด้วย Plus One Bind Silane (Amersham Bioscience) เพื่อให้เจลเกิดติดกระจาก เช็ดกระจากอีกแผ่นด้วย PlusOne Repel Silane (Amersham Bioscience) เพื่อไม่ให้เจลเกิดติดกระจาก ปล่อยให้แห้งประมาณ 5 - 10 นาที นำกระจากทั้ง 2 แผ่นมาประกอบเข้าด้วย spacer ไว้ทั้งสองข้างเพื่อให้เกิดช่องว่างระหว่างกระจากทั้งสอง โดยใช้ด้านที่ทา bind silane และ repel silane เข้าหากัน ใช้คลิปหนีบชิดให้อยู่คงที่ หลังจากนั้นเตรียม 6% polyacrylamidgel โดยผสม acrylamide, TBE บัฟเฟอร์, น้ำ และยูเรียให้เข้ากันที่อุณหภูมิประมาณ 50 องศาเซลเซียส เมื่อยูเรียละลายหมด กรองผ่านเครื่องกรอง จากนั้นจึงเติม 10% APS และ TEMED (ตารางผนวกที่ 1) เทเจลลงในช่องระหว่างกระจากจนเต็ม ใส่หวีลงที่ด้านบนสุดของระดับเจล รอให้เจลแข็งตัวประมาณ 2 ชั่วโมง เมื่อเจลแข็งตัวดีแล้วดึงหวีออก และประกอบกระจากเข้ากับชุดอิเล็กโโทร ไฟรีซิพนาค 33 x 40 ตารางเซนติเมตร (Life Technologies/Gibco BRL Model S2) เติมน้ำบัฟเฟอร์ 1X TBE ลงในช่องด้านบน และด้านล่างโดยไม่ให้มีฟองอากาศเกาะส่วนที่เป็นเจล ทำ pre-run 30 นาที ใช้ความต่างศักย์ 1,500 โวลต์ หลังจากนั้นปิดเครื่องจ่ายกระแสไฟตรงใช้เข็มฉีดยาดูดบัฟเฟอร์ล้างผิวน้ำเจล และยูเรียที่อยู่ช่องหวีแต่ละช่องออกให้หมด หยดด้วยยาดีเอ็นเอ 3-5 ไมโครลิตรในแต่ละช่อง เปิดเครื่องจ่ายกระแสไฟโดยใช้ความต่างศักย์ 1,500 โวลต์ เป็นเวลา 2-3 ชั่วโมงจนกระทั้งสีของ xylene cyanol เคลือนที่ลงมาประมาณ 2 ใน 3 ส่วนของเจล ปิดเครื่องจ่ายกระแสไฟฟ้า ดูดบัฟเฟอร์จากช่องด้านบนออกนำกระจากออกจากเครื่องแยกกระจากทั้ง 2 แผ่นออกจากกัน เจลจะติดอยู่กับกระจากแผ่นหลังนำไปข้อมูลต่อไป

3.6 การตรวจสอบแถบดีเอ็นเอโดยวิธีขอมด้วย silver staining

การข้อมูลด้วย silver nitrate ดัดแปลงจากวิธีการ DNA Silver Staining System (Promega, Wisconsin, USA) นำกระจากที่มีเจลติดอยู่มาแช่สารละลาย fixative (10% acetic acid) เป็นเวลา 20 นาที เขย่าเบาๆ บนเครื่องเขย่า ล้างในน้ำกลั่น 3 ครั้งๆ ละ 2 นาที บนเครื่องเขย่า ข้อมูลในสารละลายซิลเวอร์ในเดรท (0.1% silver nitrate) เป็นเวลา 30 นาที นำแผ่นเจลจุ่มลงในน้ำกลั่นเพื่อล้างซิลเวอร์ที่มากเกินพ้อออก นำแผ่นเจลแช่ในสารละลาย developer (2.5% sodium carbonate, 0.02% formaldehyde, 2 ไมโครกรัม/มิลลิลิตร sodium thiosulfate) ที่เตรียมใหม่ เขย่าอย่างสม่ำเสมอ 5-10 นาทีจนกว่าจะเห็นแถบดีเอ็นเอชัดเจน หยุดปฏิริยาโดยแช่ลงในสารละลาย

10% acetic acid เป็นเวลา 3-5 นาที จุ่มลงในน้ำกลั่น ผึ่งให้แห้งในอากาศ โดยขึ้นตอนเทคนิค AFLP สรุปดังภาพที่ 5

3.7 การวิเคราะห์ผลลายพิมพ์ดีเอ็นเอที่ได้จากเทคนิค AFLP

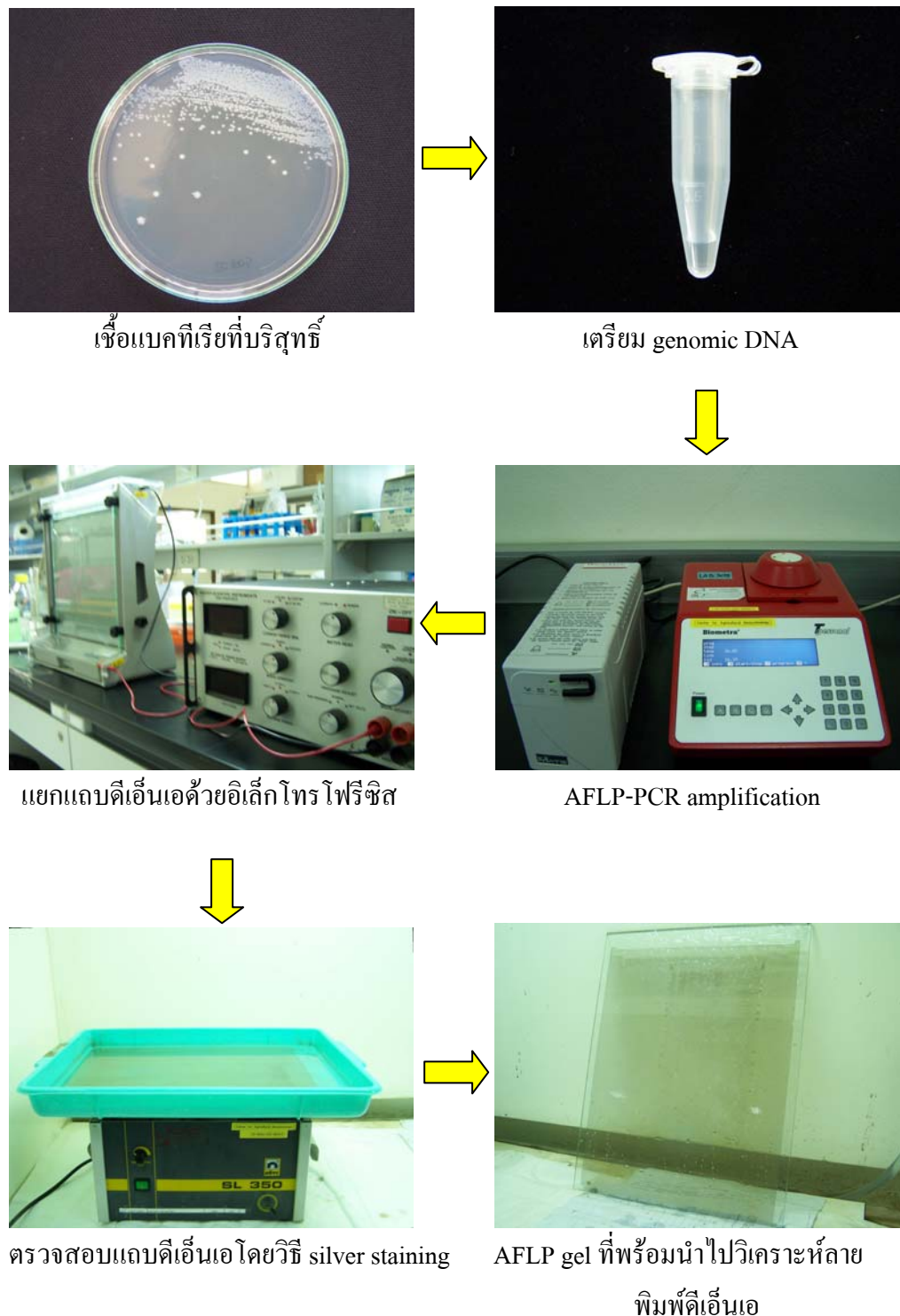
นำโพลีอะครีลามิคเจลที่แห้งแล้วมาสแกนภาพ ด้วยเครื่องสแกนให้อ่ายในรูปแบบ jpeg ไฟล์ นำไปวิเคราะห์ผลลายพิมพ์ดีเอ็นเอด้วยโปรแกรม Gene Tools (Syngene, Cambridge, U.K.) เพื่อเปรียบเทียบແฉบดดีเอ็นเอของเชื้อ Ecc ในแต่ละสายพันธุ์ โดยพิจารณาลายพิมพ์ดีเอ็นเอที่เกิดขึ้นด้วยสายตา ควบคู่กับการวิเคราะห์ด้วยโปรแกรม โดยโปรแกรมจะตรวจวิเคราะห์การเปลี่ยนแปลงความเข้มและความสว่างในแต่ละ lane ของไฟล์ภาพ และทำให้อ่ายในรูปแบบของกราฟในแต่ละ lane เมื่อโปรแกรมตรวจพบແฉบดดีเอ็นเอภายใน lane ระดับ peak ของกราฟจะสูงขึ้น และจะต่ำลงเมื่อเป็นบริเวณที่ไม่มีແฉบดดีเอ็นเอ โดยมีพารามิเตอร์ที่กำหนดการตรวจนับดีเอ็นเอ ดังนี้ เลือกวิธีการ (Method) เป็น Rolling Disk กำหนดให้ตรวจนับແฉบดดีเอ็นที่มีฐาน peak กว้างอย่างน้อย 8 pixels (Rolling Disk Width), กำหนดให้ตรวจนับແฉบดดีเอ็นเอมีความกว้างมากกว่า 2 pixels (Minimum peak Width), กำหนดให้ตรวจนับແฉบดดีเอ็นเอมีความสูงมากกว่า 1 (Minimum peak height), กำหนดให้ตรวจนับແฉบดดีเอ็นเอที่ระดับเบอร์เซ็นต์ของ peak ไม่ต่ำกว่า 1 เปอร์เซ็นต์ของ peak ทั้งหมดใน lane (Minimum peak volume) และกำหนดให้ตรวจนับค่าของแต่ละ peak ให้มีความกว้างเท่ากันทุก peak คือ 3 (All peaks same width) ดังแสดงในภาพที่ 6

เลือกແฉบดดีเอ็นเอที่มีความแตกต่างระหว่างเชื้อที่ทดสอบโดยกำหนดແฉบดดีเอ็นเอให้เป็น binary data คือ ให้การปรากฏແฉบดดีเอ็นเอมีค่าเป็น “1” และการไม่ปรากฏແฉบดดีเอ็นเอมีค่าเป็น “0” หากวิเคราะห์ความสัมพันธ์และสร้างเด่นโดยโปรแกรม โดยใช้ค่าสหสัมพันธ์ Dice (1945) และมาจัดกลุ่ม (cluster analysis) โดยวิธี unweighted pair group method with arithmetic averages clustering (UPGMA) (Sokal and Michener, 1958) ด้วยโปรแกรมคอมพิวเตอร์สำเร็จรูป Numerical taxonomy and multivariate analysis system (NTSYS) version 2.20e (Rohlf, 1993) วิเคราะห์ค่า bootstrap ด้วยโปรแกรม WinBoot (Yap and Nelson, 1996) จำนวน 1000 ชุด

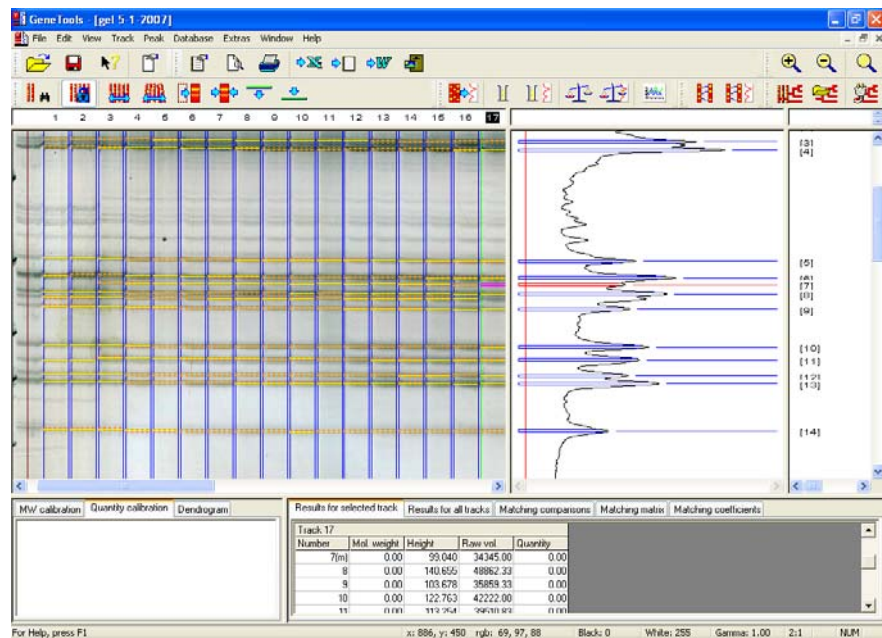
4. การเปรียบเทียบคุณสมบัติของเชื้อจากการใช้แหล่งการรับอน 95 ชนิด

นำข้อมูลจากการข้อ 1.6 มาศึกษาเปรียบเทียบคุณสมบัติของเชื้อทดสอบ จากการใช้แหล่งการรับอนจำนวน 95 ชนิด ในตลาดหลุมอาหาร GN2 ดังแสดงชนิดของแหล่งการรับอนในภาพ

ผนวกที่ 1 โดยเตรียมเชื้อทดสอบเช่นเดียวกับวิธีการตรวจจำแนกเชื้อแบคทีเรีย ดังได้กล่าวข้างต้น หลังจากบ่มเชื้อที่อุณหภูมิ 30 องศาเซลเซียสเป็นเวลา 24 ชั่วโมง นำภาคหลุมอาหารไปตรวจปฏิกิริยา โดยใช้ spectrophotometer (Microlog™ System) ที่ความยาวคลื่น 590 นาโนเมตร ผลลัพธ์ได้มามีเคราะห์เปรียบเทียบความแตกต่างระหว่างเชื้อที่ทดสอบโดยกำหนดให้เป็น binary data คือ เมื่อ เชื้อแบคทีเรียสามารถใช้แหล่งคาร์บอนได้มีค่าเป็น “1” และเมื่อเชื้อแบคทีเรียไม่สามารถใช้แหล่ง คาร์บอนได้มีค่าเป็น “0” หากความสัมพันธ์และสร้างเดนโดยแกรม โดยใช้ค่าสหสัมพันธ์ Dice (1945) และจัดกลุ่มด้วยวิธี unweighted pair group method arithmetic averages clustering (UPGMA) (Sokal and Michener, 1958) สร้างเดนโดยแกรมด้วย Numerical taxonomy and multivariate analysis system (NTSYS) version 2.20e (Rohlf, 1993)



ກາພທີ 5 ບັນດີນການສຶກຍາວິເຄຣະໜໍາພຶດີເອັນເດ້ວຍເຖິງເຄີຍກົດ AFLP ໃນຫ້ອງປົງປັດກາຮັດ



ภาพที่ 6 โปรแกรม Gene Tools (Syngene, Cambridge, U.K.) ในการนับแอบดีเอ็นเอที่ได้จาก โพลีอะคริลามิดเจล

ผลและวิจารณ์

ผล

1. การเก็บตัวอย่างและการแยกเชื้อสถานทุโรคเน่าและของผัก

จากตัวอย่างโรคเน่าและของผักในแหล่งปลูกจังหวัด เชียงราย เสียงใหม่ เพชรบูรณ์ ตาก นครราชสีมา อุบลราชธานี นครปฐม ดังตารางที่ 2 มาแยกเชื้อ ทดสอบจำแนกเชื้อ โดยคุณลักษณะที่สำคัญ แยกเชื้อ Ecc ได้จำนวน 20 สายพันธุ์ ดังตารางที่ 5 ส่วนเชื้อ Ecc สถานทุโรคต้นแห้งตายของบุน จำนวน 17 สายพันธุ์ ได้รับความอนุเคราะห์จาก ณัฏฐิมา และคณะ (2536), นิโลบล (2548) และ รุ่งรัตน์ (2548) โดยเชื้อทั้งหมดนำทดสอบยืนยันคุณสมบัติต่างๆ ที่สำคัญของเชื้อ Ecc ให้ผลดังนี้

2. การทดสอบยืนยันเชื้อ Ecc

2.1 การทดสอบความสามารถในการเกิดโรค

จากการทดสอบความสามารถในการเกิดโรคบนชิ้นแตงกวา และผักกาดขาว พบร่วเชื้อ Ecc สายพันธุ์ที่แยกมาจากบุน และผักเน่าและ รวมทั้งเชื้อ Ech สามารถทำให้พืชทดสอบเกิดอาการเน่าและได้ หลังจากปั่นเชื้อเป็นเวลา 24 ชั่วโมง แสดงอาการเน่าคล้ำสีน้ำตาล (ภาพที่ 7 ง และ จ) แต่เชื้อแบคทีเรียเบรียบเทียบ คือเชื้อ *Ralstonia solanacearum* (1295) ไม่ทำให้ชิ้นแตงกวา และผักกาดขาวเน่าและ เมื่อ้อนกับการทดสอบด้วยน้ำกลั่นนึ่งม่านเชื้อ

2.2 รูปร่างลักษณะโคลนีของเชื้อ

จากการนำผักเน่าและมาแยกเชื้อ บนอาหาร NA ที่บ่มไว้เป็นเวลา 24 ชั่วโมง พบร่องโคลนีเชื้อที่มีลักษณะโตชา สีขาวครีม ค่อนข้างกลม ขอบหยักเล็กน้อย ไม่เป็นมันเยิม มีขนาดเส้นผ่าศูนย์กลางประมาณ 1.5 มิลลิเมตร (ภาพที่ 7 ก) เมื่อ้อนกับเชื้อ สายพันธุ์ VECC1596 ซึ่งเป็นเชื้อที่ได้จัดจำแนกด้วยระบบ BIOLOG System (Biolog, Hayward, CA, USA) แล้วว่าเป็นเชื้อ Ecc (นิโลบล, 2548)

2.3 รูป่างและการติดสีแกรมของเชื้อ

แบคทีเรียแกรมลบเมื่อนำมากรองกับสารละลาย 3% KOH จะเกิดเมือกเนื้ยวัตถุลูป (ตารางที่ 5) ตรงกันข้ามกับเชื้อ *Bacillus subtilis* ซึ่งเป็นตัวอย่างเชื้อแกรมบวกเปรียบเทียบ ไม่เกิดเมือกเนื้ยว และเซลล์ข้อมติดสีแดงของ safranin-o เชื้อ Ecc มีรูป่างแบบท่อนตรง ขนาดประมาณ $0.5-1.0 \times 1.0-3.0$ ไมโครเมตร (ภาพที่ 7 ข) ได้แก่เชื้อสายพันธุ์ที่แยกได้จากผัก และขันน (ตารางที่ 2)

2.4 การทดสอบคุณสมบัติการเป็น facultative anaerobic bacteria

เชื้อ Ecc เป็นเชื้อที่สามารถเจริญเติบโตได้ในสภาพที่มีอากาศ และไร้อากาศ (facultative anaerobic bacteria) เมื่อทดสอบกับอาหาร Huge and Leifson's medium โดยใช้ stab inoculation เชื้อละ 2 หลอด โดยอีกหลอดหนึ่งจะเททับด้วย paraffin oil ที่นึ่งม่าเชื้อแล้ว 1-2 มิลลิติตร เพื่อให้เกิดสภาพที่ไร้อากาศ หลังจากปลูกเชื้อ 24 ชั่วโมงพบว่าอาหารทั้ง 2 หลอด เปลี่ยนเป็นสีเหลือง และคงว่าเชื้อทดสอบทั้ง 37 สายพันธุ์ และเชื้อ Ech จำนวน 2 สายพันธุ์ มี คุณสมบัติเป็น facultative anaerobic bacteria เจริญได้ทั้งในสภาพมีอากาศ และไร้อากาศ (ภาพที่ 7 ก) ส่วนเชื้อ *Ralstonia solanacearum* (1295) ไม่สามารถเจริญเติบโตได้ในหลอดอาหารที่เททับด้วย paraffin oil เนื่องจากว่าเชื้อมีคุณสมบัติเป็น aerobic bacteria อาหารจึงมีสีเขียว

2.5 การตรวจหายีน Pectate lyase (*pel*) ด้วยเทคนิค PCR

จากการตรวจหา yein *pel* โดยปฏิกริยา PCR เชื้อ Ecc ทั้ง 37 สายพันธุ์ ด้วยคู่ไพรเมอร์ FER-1 และ RER-1 ที่จำเพาะต่อเชื้อ Ecc ปรากฏแถบดีเอ็นเอขนาดประมาณ 1 กิโลเบส (นิโอลบ, 2548) และกับคู่ไพรเมอร์ fD2 และ rP1 ที่ใช้ในการตรวจยีน 16S rDNA (Weisburg *et al.*, 1990) ปรากฏแถบดีเอ็นเอขนาดประมาณ 1.5 กิโลเบส (ภาพที่ 8) ส่วนเชื้อ Ech ไม่ให้แถบดีเอ็นเอ เป็นหมายเมื่อใช้ไพรเมอร์ FER-1 และ RER-1 (ตารางที่ 5) แต่ให้แถบดีเอ็นเอเป็นหมายกับไพรเมอร์ fD2 และ rP1 ซึ่งใช้ในการขยายยีน 16S rDNA

2.6 การตรวจจำแนกเชื้อจากการใช้แหล่งคาร์บอนในการเจริญเติบโต

เนื่องจากการจัดจำแนกเชื้อแบคทีเรียโดยระบบ BIOLOG System (Biolog, Hayward, CA, USA) อาศัยการเปรียบเทียบการใช้แหล่งคาร์บอน 95 ชนิด กับเชื้อที่เป็น type strain ที่มีในฐานข้อมูลในโปรแกรม Microlog Version 4.2 (Biolog, Inc., Hayward, USA) จากการตรวจจำแนกเชื้อจากแหล่งคาร์บอนโดยใช้ถั่วอาหาร GN2 (ภาพผนวกที่ 1) เปรียบเทียบกับฐานข้อมูลเชื้อ และวิเคราะห์ จัดจำแนกชนิดเชื้อตัวอย่าง โดยให้ค่าความเหมือนกับการใช้แหล่งคาร์บอนของเชื้อ type strain ในฐานข้อมูล (similarity index value) ค่าลักษณะการใช้แหล่งคาร์บอนที่ไม่เหมือนกับเชื้อ type strain ในฐานข้อมูล (distance) และค่าความเป็นไปได้เมื่อเทียบกับเชื้อ type stain ที่มีในฐานข้อมูล (%Probability) เมื่อตรวจจำแนกเชื้อจากการใช้แหล่งคาร์บอน เชือบงสายพันธุ์ที่แยกได้จากผัก嫩และ พบว่าเป็นเชื้อ Ecc คือ เชื้อสายพันธุ์ VECC2001, VECC2014 และ VECC1596 ส่วนเชื้อที่แยกมาจากบุบบงสายพันธุ์ พบว่าเป็นเชื้อ Ecc เช่นเดียวกัน คือ สายพันธุ์ CDOA1028, CDOA1147, JN2001, JN2005 ส่วนเชื้อ Ech คือ เชื้อสายพันธุ์ 1076-1 และ ECH1680 (ตารางที่ 6) ซึ่งให้ผลสอดคล้องกับการตรวจหาเชื้อ *pel* ด้วยเทคนิค PCR (ตารางที่ 5)

ตารางที่ 5 คุณสมบัติของแบคทีเรีย *Erwinia carotovora* subsp. *carotovora* สายพันธุ์ต่างๆ ในด้าน การติดสีแกรม ความสามารถในการทำให้เกิดโรค และการมี *pel* gene

ชื่อสายพันธุ์	การติดสีแกรม	อาการเน่า烂		<i>pel</i> gene ^{3/}
		แตงกวา ^{1/}	ผักกาดขาว ^{2/}	
<i>Erwinia carotovora</i> subsp. <i>carotovora</i>				
1408	ลบ	+	+	+
1428	ลบ	+	+	+
64-4	ลบ	+	+	+
681-1	ลบ	+	+	+
CDOA1028	ลบ	+	+	+
CS1006	ลบ	+	+	+
CS2001	ลบ	+	+	+
CS2003	ลบ	+	+	+
CS2004	ลบ	+	+	+
JDOA1147	ลบ	+	+	+
JK2001	ลบ	+	+	+
JK2005	ลบ	+	+	+
JK2007	ลบ	+	+	+
JK2009	ลบ	+	+	+
JN2001	ลบ	+	+	+
JN2003	ลบ	+	+	+
JN2004	ลบ	+	+	+
JN2005	ลบ	+	+	+
JN2007	ลบ	+	+	+
JR2001	ลบ	+	+	+
JR2002	ลบ	+	+	+
VECC1596	ลบ	+	+	+
VECC2000	ลบ	+	+	+
VECC2001	ลบ	+	+	+
VECC2002	ลบ	+	+	+
VECC2003	ลบ	+	+	+
VECC2004	ลบ	+	+	+
VECC2005	ลบ	+	+	+
VECC2006	ลบ	+	+	+

ตารางที่ 5 (ต่อ)

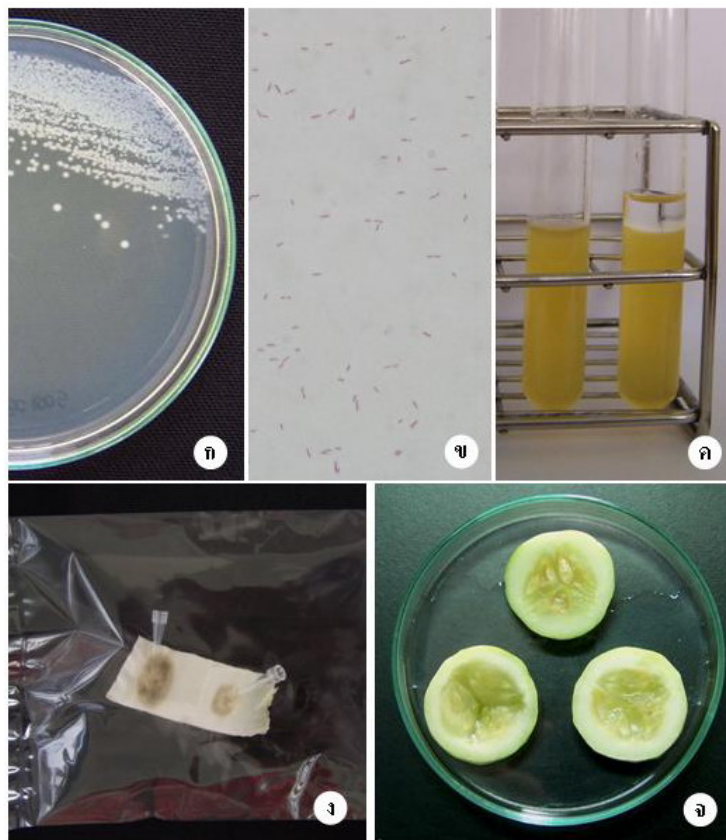
ชื่อสายพันธุ์	การติดสีแกรม	อาการเน่า烂		<i>pel gene</i> ^{3/}
		แตงกว่า ^{1/}	ผักกาดขาว ^{2/}	
<i>Erwinia carotovora</i> subsp. <i>carotovora</i>				
VECC2007	ลบ	+	+	+
VECC2008	ลบ	+	+	+
VECC2009	ลบ	+	+	+
VECC2010	ลบ	+	+	+
VECC2011	ลบ	+	+	+
VECC2012	ลบ	+	+	+
VECC2013	ลบ	+	+	+
VECC2014	ลบ	+	+	+
<i>E. chrysanthemi</i> (ECH1680)	ลบ	+	+	-
<i>E. chrysanthemi</i> (1076-1)	ลบ	+	+	-
<i>Pantoea dispersa</i>	ลบ	ND	ND	ND
<i>Ralstonia solanacearum</i> (1295)	ลบ	-	-	-

^{1/} + สามารถทำให้เกิดโรคเน่า烂บนชิ้นแตงกว่า, - ไม่สามารถทำให้เกิดโรคเน่า烂บนชิ้นแตงกว่า

^{2/} + สามารถทำให้เกิดโรคเน่า烂ผักกาดขาว, - ไม่สามารถทำให้เกิดโรคเน่า烂กับผักกาดขาว

^{3/} + ให้แอบดีอีนเอเป้าหมายเมื่อใช้ไฟรเมอร์ที่จำเพาะกับเชื้อ Ecc, - ไม่ให้แอบดีอีนเอเป้าหมายเมื่อใช้ไฟรเมอร์ที่จำเพาะกับเชื้อ Ecc

ND = not determined



ภาพที่ 7 ลักษณะโคลoni การติดสีแกรม การสร้าง pectolytic enzyme ย่อยชินแตงกว่า ความสามารถเกิดโรคเน่าและบนผักกาดขาว และคุณสมบัติการเป็น facultative anaerobic bacteria ของเชื้อแบคทีเรีย

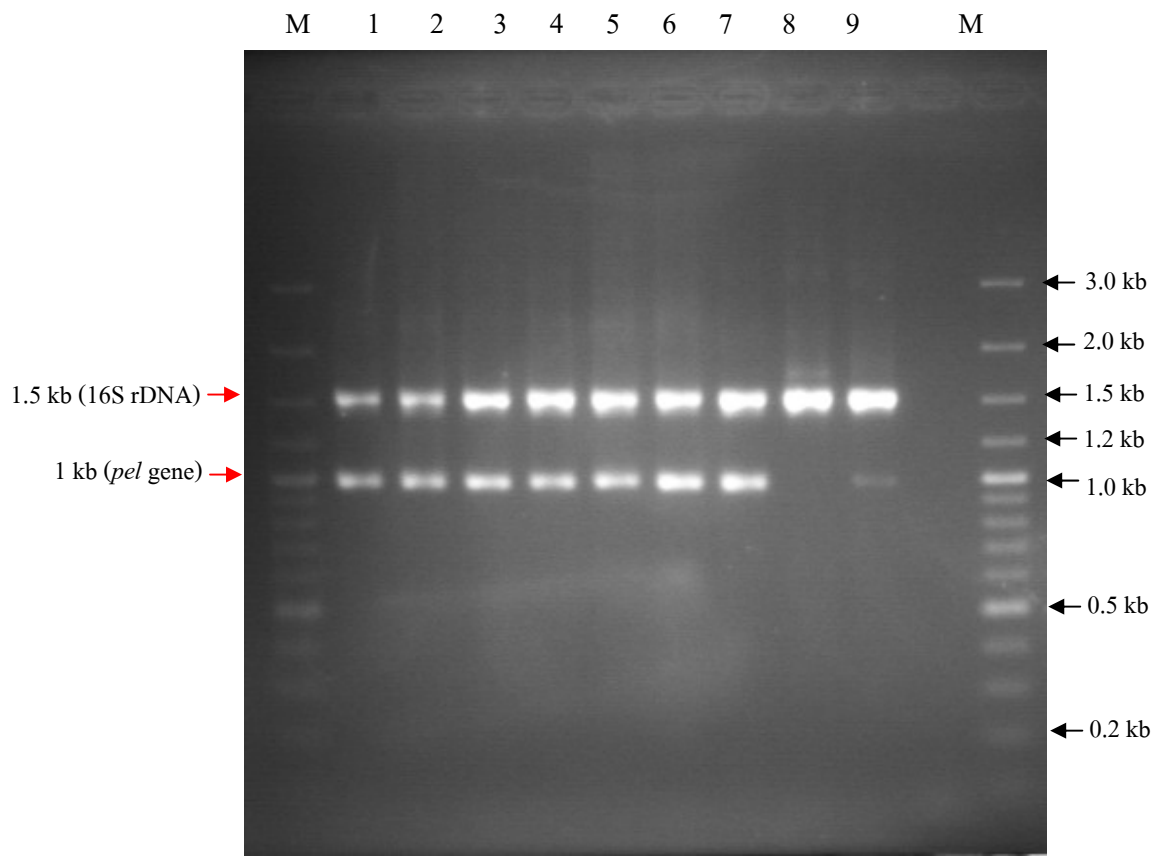
ก. ลักษณะโคลoni ของเชื้อ *Erwinia carotovora* subsp. *carotovora* บนอาหาร Nutrient agar (NA)

ข. การติดสีแกรมของเชื้อแบคทีเรียที่แยกจากโรคเน่าและของผัก อายุ 24 ชั่วโมง บนอาหาร NA

ค. การเจริญในสภาพที่มีอากาศ และไร้อากาศ (facultative anaerobic bacteria) ในอาหาร Oxidative/Fermentative medium

ง. การทดสอบการเกิดโรคเน่าและบนการใบผักกาดขาวปลี

จ. การทดสอบการเกิดโรคเน่าและของชินแตงกว่า



**ภาพที่ 8 การตรวจสอบเชื้อ *Erwinia carotovora* สายพันธุ์โรคเน่า烂ที่แยกได้จากผักด้วย
เทคนิค PCR โดยตรวจยืนยน์ pel ซึ่งเป็นยืนเป้าหมาย และมี 16S rDNA เป็นดีเอ็นเอ
เครื่องหมายกับเชื้อบนแบบที่เรียบ**

Lane M 100 bp standard DNA marker

Lane 1 เชื้อ Ecc สายพันธุ์ VECC2001

Lane 2 เชื้อ Ecc สายพันธุ์ VECC2004

Lane 3 เชื้อ Ecc สายพันธุ์ VECC2012

Lane 4 เชื้อ Ecc สายพันธุ์ VECC2014

Lane 5 เชื้อ Ecc สายพันธุ์ VECC2007

Lane 6 เชื้อ Ecc สายพันธุ์ VECC2009

Lane 7 เชื้อ Ecc สายพันธุ์ VECC1596

Lane 8 *E. chrysanthemi* สายพันธุ์ ECH1680

Lane 9 เชื้อ Ecc สายพันธุ์ 681-1

ตารางที่ 6 ผลการตรวจจำแนกเชื้อแบคทีเรีย *Erwinia* spp. ที่นำมาทดสอบจากการใช้แหล่งคาร์บอนในการเจริญเติบโตด้วยระบบ BIOLOG System

สายพันธุ์เชื้อ แบคทีเรีย	ผลการจัดจำแนก	ค่า similarity ^{1/}	ค่า distance ^{2/}	%Probability ^{3/}
VECC2001	Ecc	0.74	3.75	99
VECC2014	Ecc	0.77	3.47	100
VECC1596	Ecc	0.67	4.62	96
CDOA1028	Ecc	0.50	8.04	100
CDOA1147	Ecc	0.58	6.50	100
JN2001	Ecc	0.51	7.76	100
JN2005	Ecc	0.50	8.04	100
JK2005	Ecc	0.56	7.00	100
1076-1	Ech	0.75	3.71	100
ECH1680	Ech	0.70	4.48	99

Ecc = *Erwinia carotovora* subsp. *carotovora*, Ech = *E. chrysanthemi*

^{1/} ค่า similarity คือ ค่าความเหมือนกับการใช้แหล่งคาร์บอนของเชื้อ type strain ในฐานข้อมูล

^{2/} ค่า distance คือ ค่าลักษณะการใช้แหล่งคาร์บอนที่ไม่เหมือนกับเชื้อ type strain ในฐานข้อมูล

^{3/} % Probability คือ ค่าความเป็นไปได้เมื่อเทียบกับเชื้อ type stain ที่มีในฐานข้อมูล

3. การตรวจวิเคราะห์ความสัมพันธ์ทางพันธุกรรมของเชื้อด้วยเทคนิค AFLP

3.1 การวิเคราะห์จีโนมเชื้อ *Erwinia carotovora* เพื่อเลือกใช้ออนไซม์ และ ไพรเมอร์ สำหรับ AFLP โดยใช้ข้อมูลจากฐานข้อมูลด้วยเทคนิค *In silico analysis*

จากการวิเคราะห์ค่าอนไซม์และไพรเมอร์ (ตารางที่ 1) ที่จะนำมาใช้ในเทคนิค AFLP กับเชื้อ *Erwinia carotovora* subsp. *atroseptica* ด้วยโปรแกรม *In silico AFLP* พบว่าการเพิ่มเบส กัดเลือกค้านปลาย 3' ของไพรเมอร์ในขั้นตอน selective amplification มีส่วนสำคัญต่อจำนวนแอบดีเอ็นเอที่จะได้จากการทดลอง AFLP หากพิจารณาจากคุณภาพของอนไซม์แต่ละคู่ และเบสคัดเลือกของไพรเมอร์ในขั้นตอน selective amplification ที่ได้จำนวนแอบดีเอ็นเอ 100-200 แอบ (ตารางผนวกที่ 2-7) ซึ่งเป็นจำนวนที่เหมาะสมในการวิเคราะห์แอบดีเอ็นเอบนอะคริลามิดเจล พบว่ามีคู่อนไซม์ และไพรเมอร์โดยใช้ออนไซม์ *EcoRI* และ *MseI* ให้จำนวนแอบดีเอ็นเอในช่วง 100-200 แอบ ได้ 11 คู่ ไพรเมอร์ซึ่งมากกว่าคู่อนไซม์ชนิดอื่น (ตารางที่ 7) สำหรับคู่อนไซม์และไพรเมอร์อื่นๆ ที่เลือกมาทำการวิเคราะห์เนื่องจากเป็นอนไซม์ที่แนะนำตามตารางที่ 1 พบว่ามีคู่อนไซม์และไพรเมอร์อีกหลายคู่มีจำนวนแอบดีเอ็นเออยู่ในช่วง 100-200 แอบดังที่แสดงไว้ตารางที่ 7 หลังจากนั้นเลือกคู่อนไซม์ *EcoRI* กับ *MseI* และไพรเมอร์จำนวน 5 คู่ โดยเลือก 4 คู่ที่ให้จำนวนแอบดีเอ็นเอกะร้ายอยู่ในช่วง 100-200 แอบ ได้แก่ *Eco+A/Mse+T*, *Eco+T/Mse+A*, *Eco+T/Mse+G* และ *Eco+C/Mse+T* และ ไพรเมอร์ที่มีการรายงานใช้จัดจำแนกเชื้อ *Ecc* คือ *Eco+GA (E19)/Mse+0* (*M00*) (*Avrova et al.*, 2002) มาทดสอบจริงกับเชื้อ *Ecc* สายพันธุ์ *JK2001* และ *VECC1596* ที่แยกได้จากบุนเดส์และผักกาดหัวตามลำดับ (ภาพที่ 9)

ตารางที่ 7 คู่ไซร์เมอร์ที่ได้จำนวนแคนบีเอ็นเอในช่วง 100-200 แคนในการการทดสอบ *In silico* analysis

คู่ไซร์เมอร์	คู่ไซร์เมอร์ที่ได้จำนวนแคนบีเอ็นเอในช่วง 100-200 แคน	จำนวนคู่
<i>EcoRI + MseI</i>	Eco+GA/Mse+0, Eco+C/Mse+A, Eco+G/Mse+A, Eco+T/Mse+A, Eco+C/Mse+G, Eco+G/Mse+G, Eco+T/Mse+G, Eco+A/Mse+T, Eco+C/Mse+T, Eco+T/Mse+T	11
<i>EcoRI + TaqI</i>	Eco+G/Taq+A, Eco+T/Taq+A, Eco+A/Taq+C, Eco+A/Taq+G, Eco+C/Taq+G, Eco+G/Taq+G, Eco+A/Taq+T, Eco+C/Taq+T, Eco+G/Taq+T	9
<i>ApaI + MseI</i>	Apa+G/Mse+0	1
<i>ApaI + TaqI</i>	Apa+G/Mse+0, Apa+0/Mse+A	2
<i>HindIII + MseI</i>	Hin+A/Mse+0, Hin+T/Mse+A, Hin+0/Mse+C, Hin+T/Mse+T	4
<i>HindIII + TaqI</i>	Hin+C/Taq+A, Hin+G/Taq+A, Hin+T/Taq+A, Hin+0/Taq+C	4

3.2 การเลือกใช้ออนไซน์ตัดจำเพาะ และคู่ไฟรเมอร์ในขั้นตอน selective amplification ของเทคนิค AFLP

จากการเปรียบเทียบແບບດีเอ็นเอที่ได้จากคู่ไฟรเมอร์จำนวน 5 คู่ กับเชื้อ Ecc สายพันธุ์ JK2001 และ VECC1596 ที่แยกได้จากบุนเดส์พักการหัวตามลำดับ บนอะคริลามิดเจล (ภาพที่ 9) พบว่า คู่ไฟรเมอร์ Eco+GA (E19) กับ Mse+0 (M00) ให้จำนวนແບບดีเอ็นเอมากที่สุด คือ 87 ແບ รองลงมา คือ คู่ไฟรเมอร์ Eco+C กับ Mse+G ได้ 80 ແບ และน้อยที่สุดคือ คู่ไฟรเมอร์ Eco+A กับ Mse+T ได้ 52 ແບ (ตารางที่ 8) ขณะที่การวิเคราะห์จำนวนແບບดีเอ็นเอของเชื้อ Ecc ด้วย *In silico* analysis จากคู่ไฟรเมอร์ E19 และ M00 มีจำนวนดีเอ็นเอ 113 ແບ คู่ไฟรเมอร์ Eco+C กับ Mse+G ได้ 149 ແບ และคู่ไฟรเมอร์ Eco+A กับ Mse+T ได้ 185 ແບ (ตารางที่ 8) ส่วนແບບดีเอ็นเอที่แตกต่าง (polymorphic band) ระหว่างเชื้อทั้งสองสายพันธุ์ พบว่าคู่ไฟรเมอร์ E19 และ M00 ให้จำนวนແບບดีเอ็นเอที่แตกต่างมากที่สุดคือ 61 ແບ และมีเปลอร์เซ็นต์ແບບดีเอ็นเอที่แตกต่างมากกว่าไฟรเมอร์คู่อื่น (ตารางที่ 8)

3.3 การวิเคราะห์ข้อมูลถ่ายพิมพ์ดีเอ็นเอ

จากการทดลองคู่ไฟรเมอร์ M00 (Mse+0) และ E19 (Eco+GA) ในขั้นตอนของ selective amplification กับเชื้อ Ecc จำนวน 2 สายพันธุ์ได้ผลคือว่าไฟรเมอร์คู่อื่น (ตารางที่ 8) จึงได้นำอ่อนไซน์ EcoRI และ MseI กับไฟรเมอร์ E19 และ M00 มาใช้ในการวิเคราะห์หาความสัมพันธ์ทางพันธุกรรมของเชื้อ Ecc จำนวน 37 สายพันธุ์, เชื้อ Ech (ECH1680 และ 1076 -1), เชื้อ *Ralstonia solanacearum* (1295) และเชื้อ *Pantoea dispersa* ซึ่งผลการวิเคราะห์ແບບดีเอ็นเอบนเจลพูนແບບดีเอ็นเอที่แตกต่างของเชื้อที่ทดสอบทั้งหมด 102 ແບ (ภาพที่ 10)

3.4 การวิเคราะห์ความสัมพันธ์ทางพันธุกรรมของเชื้อ Ecc ด้วยเทคนิค AFLP

จากการวิเคราะห์ความสัมพันธ์ทางพันธุกรรมของเชื้อ Ecc สายพันธุ์ต่างๆ ที่แยกได้จากบุนเดส์พักการหัวตามลำดับ บนอะคริลามิดเจล (ภาพที่ 10) สามารถ แบ่งเชื้อออคปีน 2 กลุ่ม คือกลุ่มแรก ประกอบด้วย กลุ่มเชื้อสายพันธุ์ที่แยกได้จากบุนเดส์พักการหัว และกลุ่มที่สอง เป็นกลุ่มเชื้อที่แยกได้จากผัก嫩ฯ โดยเชื้อกลุ่มแรกที่แยกได้จากบุนเดส์พักการหัว ไม่ลักษณะทางจีโนไทป์ที่ใกล้ชิดกันเนื่องจากมีค่า similarity อยู่ที่ระหว่าง 0.92-1.00 ตรงกันข้ามกับเชื้อกลุ่มที่สองที่แยกได้จากผักพวฯ สายพันธุ์เชื้อ มีลักษณะทางจีโนไทป์ที่แตกต่างและมีค่า similarity ตั้งแต่ 0.43 จนถึง 1.00

อย่างไรก็ตามเมื่อพิจารณาค่า similarity ที่ 0.92 พบว่าเชื้อภายนอกกลุ่มที่ 1 แบ่งออกเป็น 2 กลุ่มย่อย คือ กลุ่มย่อยที่ 1 ได้แก่ เชื้อสายพันธุ์ JK2009 และ JDOA1147 ส่วนกลุ่มย่อยที่ 2 ได้แก่ JN2001, JN2003, JN2004, JN2005, JN2007, CS2003, CS2001, CS2004, CDOA1028, CS1006, JK2001, JK2005, JK2007, JR2001 และ JR2002 เมื่อพิจารณาถึงความสัมพันธ์ระหว่าง แหล่งที่มาในกลุ่มย่อย พบว่า ไม่มีความสัมพันธ์กับแหล่งที่เก็บ เนื่องจากเชื้อในกลุ่มย่อยที่ 1 เป็น เชื้อสายพันธุ์ที่แยกได้จากบุนุนในจังหวัด กาญจนบุรีและระยองตามลำดับ ส่วนในกลุ่มย่อยที่ 2 ได้แก่ เชื้อสายพันธุ์ JK2001, JK2005 และ JK2007 เป็นเชื้อที่แยกมาจากจังหวัดกาญจนบุรี ส่วนเชื้อสายพันธุ์ JR2001 และ JR2002 เป็นเชื้อที่แยกมาจากจังหวัดระยองเช่นกัน ดังนี้ภายนอกกลุ่มย่อย กลุ่มที่ 1 และกลุ่มที่ 2 มีเชื้อสายพันธุ์ที่แยกมาจากจังหวัดเดียวกันอยู่ภายใต้กลุ่ม และการแบ่งกลุ่ม ขอยังไม่เกี่ยวข้องกับแหล่งที่มา (ภาพที่ 10)

สำหรับการจัดกลุ่มย่อยของเชื้อ Ecc กลุ่มที่ 2 ที่แยกได้จากผัก เมื่อพิจารณาถึง ความสัมพันธ์ของเชื้อกับพืชอาศัยที่ค่า similarity 0.8 พบว่า เชื้อที่แยกได้จากผักภาคห้อมจังหวัด อุบลราชธานี ได้แก่ เชื้อสายพันธุ์ VECC2000, VECC2001, VECC2002 และ VECC2003 และ จังหวัดนครปฐม ได้แก่ เชื้อสายพันธุ์ VECC2004 และ VECC2005 จัดอยู่ในกลุ่มเดียวกัน และเชื้อที่ แยกมาจากมันฝรั่งจังหวัดตากจัดอยู่ในกลุ่มเดียวกันทั้งหมด ดังนั้นการจัดกลุ่มของเชื้อจึงมี ความสัมพันธ์กับชนิดของพืชอาศัย และเมื่อพิจารณาถึงความสัมพันธ์ของเชื้อกับแหล่งที่เก็บ ตัวอย่าง พบว่า เชื้อที่แยกมาจากคืนน้ำย จังหวัดเชียงใหม่ ได้แก่ เชื้อสายพันธุ์ VECC2014 จัดอยู่ต่าง กลุ่มกันกับเชื้อที่แยกมาจากผักภาคชาวปลี จังหวัดเชียงใหม่ ได้แก่ VECC2009, VECC2010 และ VECC2011 ดังนั้นการจัดกลุ่มย่อยของเชื้อ Ecc ที่แยกมาจากผัก嫩水 ไม่มีความสัมพันธ์กับแหล่งที่ เก็บที่ค่า similarity 0.8

จากภาพที่ 10 พบว่า ปฏิกิริยา AFLP-PCR amplification นอกจากจะแยกเชื้อ Ecc จาก บุนุนออกจาก Ecc จากผักได้อย่างชัดเจน ยังพบมีแบบเดียวกันอีกด้วย ที่พบจาก Ecc บุนุนที่แตกต่างไปจากที่ พบใน Ecc ของพืชผัก ซึ่งสามารถนำไปพัฒนาเป็นคุณสมบัติที่อาจให้ความเฉพาะเจาะจงกับการ ตรวจ Ecc สายพันธุ์บุนุนอย่างรวดเร็วโดยวิธี PCR และแบบเดียวกันอีกด้วย แต่ต่างเหล่านี้อาจเป็นยินดีที่ เกี่ยวข้องกับการเกิดโรคต้นแห้งตายในบุนุน ซึ่งเป็นส่วนที่น่าสนใจที่จะนำไปศึกษาต่อ เพื่อคุณถึง ความสัมพันธ์กับการเกิดโรคต่อไป

4. การเปรียบเทียบคุณสมบัติของเชื้อจากการใช้แหล่งการรับน้ำ 95 ชนิด

เนื่องจากการจัดกลุ่มเชื้อแบคทีเรียจากลายพิมพ์ดีอีนเอซึ่งเป็นลักษณะทางจีโนไทป์ พบว่า เชื้อสายพันธุ์ที่แยกได้จากผัก嫩 และขันนูนแบ่งกลุ่มกันอย่างชัดเจนที่ค่า similarity 0.42 ซึ่งมีความแตกต่างมาก จึงนำมาเปรียบเทียบคุณสมบัติของเชื้อจากการใช้แหล่งการรับน้ำ 95 ชนิดเพื่อศึกษาความแตกต่างของลักษณะการใช้แหล่งการรับน้ำซึ่งเป็นลักษณะทางฟิโนไทป์ของเชื้อ Ecc ที่แยกมา จากผัก嫩และขันนูน และเชื้อ Ech จำนวน 2 สายพันธุ์คือ ECH1680 และ 1076-1 และจากการวิเคราะห์ความสัมพันธ์ที่ได้จากการพิมพ์ดีอีนเอ ที่ค่า similarity 0.43 มีเชื้อสายพันธุ์ VECC2014 ที่แยกได้จากคืนปลายจังหวัดเชียงใหม่ไม่เข้ากลุ่มภายในกลุ่มผัก จึงนำมาเปรียบเทียบลักษณะการใช้แหล่งการรับน้ำของเชื้อกับเชื้อสายพันธุ์ VECC1596 และเชื้อ VECC2001 ที่แยกได้จากผักกาดหอม จังหวัดอุบลราชธานี ซึ่งเป็นเชื้อที่จัดอยู่ในกลุ่มใหญ่ในกลุ่มผัก嫩 นอกจากนี้ยังพบว่าเชื้อที่แยกได้จากขันนูนที่ค่า similarity 0.92 เชื้อสายพันธุ์ JDOA1147 และสายพันธุ์ JK2009 แยกออกจากกลุ่มเชื้อที่แยกมาจากขันนูนเป็นกลุ่มย่อยที่ 1 และเชื้ออีก 15 สายพันธุ์จัดอยู่ในกลุ่มที่ 2 จึงนำเชื้อสายพันธุ์ JDOA1147 มาศึกษาลักษณะการใช้แหล่งการรับน้ำ 95 ชนิดเปรียบเทียบกับเชื้อบางสายพันธุ์ในกลุ่มย่อยที่ 2 ได้แก่ เชื้อสายพันธุ์ CDOA1028, JN2001, JN2005 และ JK2005

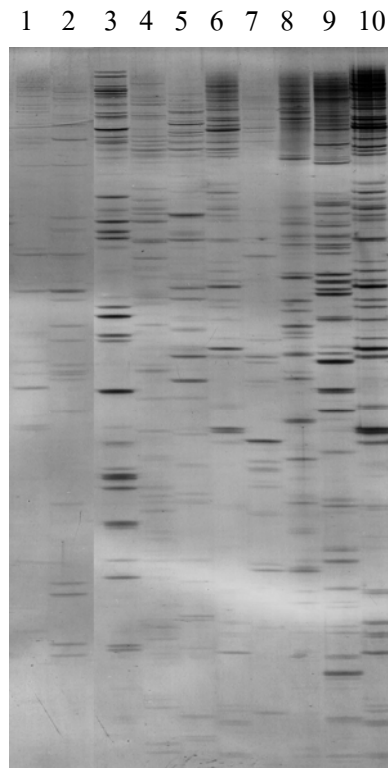
จากเดนโอดแกรม (ภาพที่ 11) ที่ได้จากการจัดกลุ่มเชื้อจากการใช้แหล่งการรับน้ำ 95 ชนิด (ตารางที่ 9) พบว่าสามารถแยกความแตกต่างระหว่างเชื้อ Ecc และ Ech ที่ค่า similarity 0.72 และที่ค่า similarity 0.86 สามารถจัดกลุ่มแบคทีเรียเป็น 4 กลุ่ม ได้แก่ กลุ่มที่ 1 ประกอบด้วยเชื้อ Ech สายพันธุ์ 1076-1 และ ECH1680 กลุ่มที่ 2 ประกอบด้วยเชื้อสายพันธุ์ VECC2001 และ VECC1596 กลุ่มที่ 3 ประกอบด้วยเชื้อสายพันธุ์ VECC2014 และกลุ่มที่ 4 ประกอบด้วยเชื้อที่แยกมาจากขันนูนทั้งหมด ที่ค่า similarity 0.83 ถึง 0.86 เชื้อสายพันธุ์ VECC2014 จัดอยู่ในกลุ่มของเชื้อที่แยกมาจากขันนูน ส่วนเชื้อสายพันธุ์ JDOA1147 ที่ค่า similarity 0.95 แยกออกจากกลุ่มเชื้อสายพันธุ์ที่แยกมาจากขันนูน

ตารางที่ 8 เปรียบเทียบจำนวนแอบดีเอ็นเอที่ได้จากการวิเคราะห์จีโนมของเชื้อ *E. carotovora* subsp. *atroseptica* SCR1043 ด้วยเทคนิค *in silico* AFLP และ AFLP PCR amplification ของเชื้อ *Erwinia carotovora* subsp. *carotovora* จำนวน 2 สายพันธุ์

ไพรเมอร์ AFLP ¹	<i>In silico</i> AFLP ¹	AFLP gel ²		
		แอบดีเอ็นเอทั้งหมด	แอบดีเอ็นเอที่แตกต่าง	% ความแตกต่าง
Eco+A, Mse+T	185	52	36	69.2
Eco+T, Mse+A	108	44	27	61.3
Eco+T, Mse+G	128	46	27	58.6
Eco+C, Mse+T	149	80	35	43.7
E19, M00	113	87	61	70.1

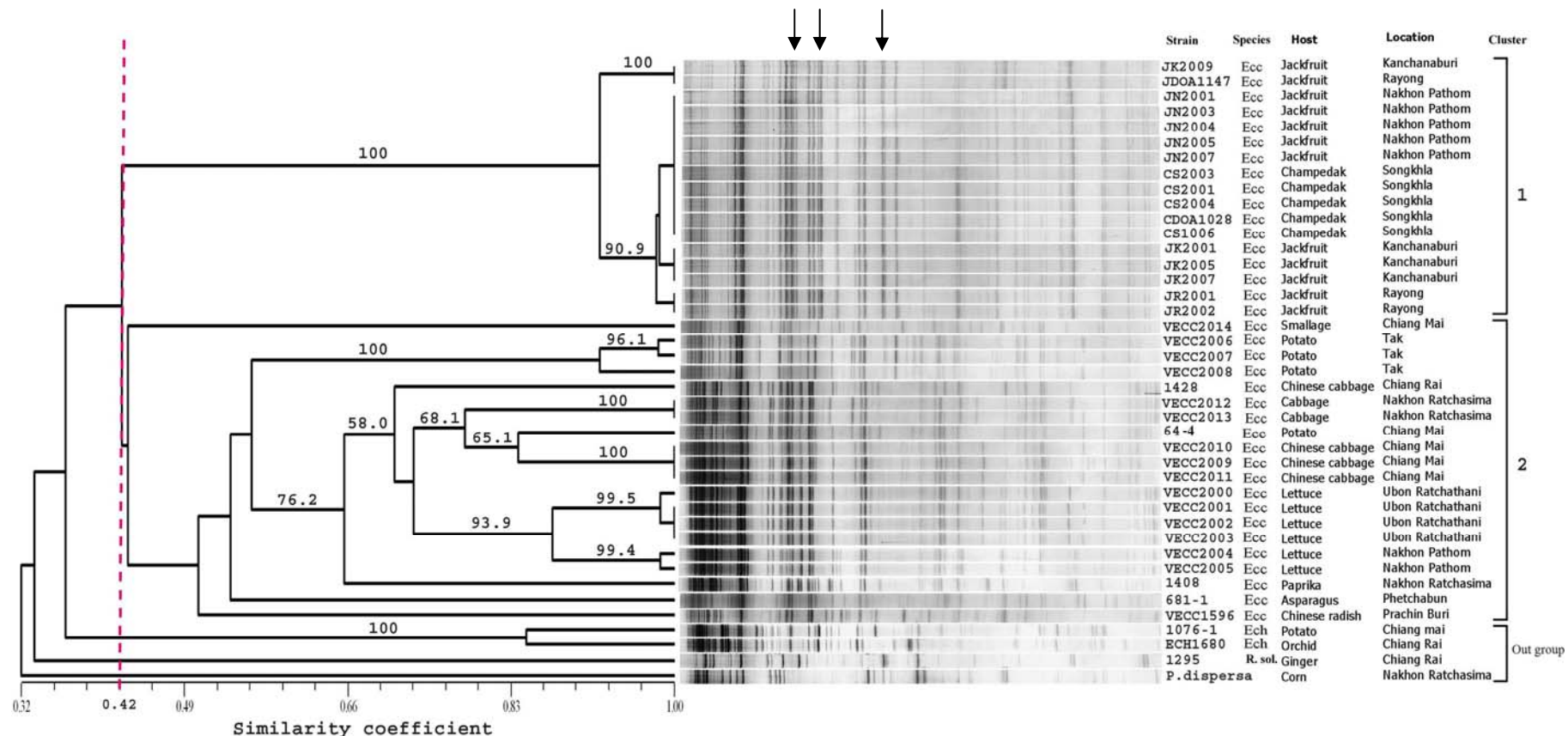
¹ การทดลองจากฐานข้อมูลจีโนมิก เชื้อ *E. carotovora* subsp. *atroseptica* SCR1043

² ทดสอบในห้องปฏิบัติการโดยใช้เชื้อ *E. carotovora* subsp. *carotovora* จำนวน 2 สายพันธุ์ คือ JK2001 และ VECC1596 ที่แยกได้จากบุน และผักกาดหัวเน่า ตามลำดับ



ภาพที่ 9 แบบดีเอ็นเอที่ได้จากเทคนิค AFLP โดยใช้คู่ไพรเมอร์แบบต่างๆ ในขั้นตอน selective amplification กับ เชื้อ *Erwinia carotovora* สายพันธุ์ JK2001 และ VECC1596 ด้วยเอนไซม์ *Eco*RI และ *Mse*I

- Lane 1 เชื้อสายพันธุ์ JK2001 ทดสอบกับไพรเมอร์ *Eco*+T และ *Mse*+A
- Lane 2 เชื้อสายพันธุ์ VECC1596 ทดสอบกับไพรเมอร์ *Eco*+T และ *Mse*+A
- Lane 3 เชื้อสายพันธุ์ JK2001 ทดสอบกับไพรเมอร์ *Eco*+C และ *Mse*+T
- Lane 4 เชื้อสายพันธุ์ VECC1596 ทดสอบกับไพรเมอร์ *Eco*+C และ *Mse*+T
- Lane 5 เชื้อสายพันธุ์ JK2001 ทดสอบกับไพรเมอร์ *Eco*+A และ *Mse*+T
- Lane 6 เชื้อสายพันธุ์ VECC1596 ทดสอบกับไพรเมอร์ *Eco*+A และ *Mse*+T
- Lane 7 เชื้อสายพันธุ์ JK2001 ทดสอบกับไพรเมอร์ *Eco*+T และ *Mse*+G
- Lane 8 เชื้อสายพันธุ์ VECC1596 ทดสอบกับไพรเมอร์ *Eco*+T และ *Mse*+G
- Lane 9 เชื้อสายพันธุ์ JK2001 ทดสอบกับไพรเมอร์ E-GA และ M-0
- Lane 10 เชื้อสายพันธุ์ VECC1596 ทดสอบกับไพรเมอร์ E-GA และ M-0



ภาพที่ 10 เด่นโอดแกรมจากการวิเคราะห์ลายพิมพ์ดีเอ็นเอของเชื้อ *Erwinia carotovora* subsp. *carotovora* และการจัดกลุ่มของเชื้อจากแหล่งพืชอาศัยต่างๆ

ค่า similarity คำนวนด้วยค่า Dice's coefficient จัดกลุ่มด้วยโปรแกรม UPGMA วิเคราะห์ค่า bootstrap 1000 ชี้

↑ แสดงແບນດີເລື່ອນເຈາພະຂອງเชื้อ Ecc ທີ່ແຍກມາຈາກນຸ້ນ, Cluster ແສດງກລຸ່ມເຊື່ອ Ecc ທີ່ແຍກມາຈາກນຸ້ນ (ກລຸ່ມ 1) ແລະ ພັກນ່າເລະ (ກລຸ່ມ 2)

ตารางที่ 9 การใช้แหล่งการ์บอนแต่ละชนิดในถั่วอาหาร GN2 (Biolog, Inc., CA, USA) ของเชื้อ *Erwinia carotovora* subsp. *carotovora* จำนวน 8 สายพันธุ์ และ *Erwinia chrysanthemi* จำนวน 2 สายพันธุ์

แหล่งการ์บอนบนถั่วอาหาร GN2															
		แหล่งการ์บอน													
		α -Cyclodextrin		Dextrin		Glycogen		Tween 40		Tween 80		N-Acetyl-D-Galactosamine		N-Acetyl-D-Glucosamine	
สายพันธุ์	แบบที่เรียก														
VECC2001	-	-	-	-	-	-	-	-	-	-	-	-	-	-	-
VECC1596	-	-	-	-	-	-	-	-	-	-	-	-	-	-	-
VECC2014	-	-	-	-	-	-	-	-	-	-	-	-	-	-	-
CDOA1028	-	-	-	-	-	-	-	-	-	-	-	-	-	-	-
JN2001	-	-	-	-	-	-	-	-	-	-	-	-	-	-	-
JN2005	-	-	-	-	-	-	-	-	-	-	-	-	-	-	-
JK2005	-	-	-	-	-	-	-	-	-	-	-	-	-	-	-
CDOA1147	-	-	-	-	-	-	-	-	-	-	-	-	-	-	-
1046-1	-	-	-	-	-	-	-	-	-	-	-	-	-	-	-
ECH1680	-	+	-	-	-	-	-	-	-	-	-	-	-	-	-

ตารางที่ 6 (ต่อ)

แหล่งการบันทึกผลการ GN2

	Lactulose	Maltose	D-Mannitol	D-Mannose	D-Melibiose	β -Methyl-D-Glucoside	D-Psicose	D-Raffinose	L-Rhamnose	D-Sorbitol	Sucrose	D-Trehalose	Turanose	Xylitol	Pyruvic Acid Methyl Ester	Succinic Acid Mono-Methyl-Ester	Acetic Acid	Cis-Aconitic Acid	Citric Acid
VECC2001	+	-																	
VECC1596	+	+	-																
VECC2014	+	+	-																
CDOA1028	+	+	+	+	+	+	-												
JN2001	+	+	+	+	+	+	+	-											
JN2005	+	+	+	+	+	+	+	-											
JK2005	+	-	+	+	+	+	-												
CDOA1147	+	-	+	+	+	+	-												
1046-1	-	-	+	+	+	+	-												
ECH1680	-	-	+	+	+	+	-												

ตารางที่ 9 (ต่อ)

	ผลลัพธ์การรับอนบนค่าดอดอาหาร GN2																		
	แบบทดสอบ																		
	สารพิษในเชื้อ																		
	Formic Acid	D-Galactonic Acid Lactone	D-Galacturonic Acid	D-Gluconic Acid	D-Glucosaminic Acid	D-Glucuronic Acid	α -Hydroxybutyric Acid	β -Hydroxybutyric Acid	r-Hydroxybutyric Acid	p-Hydroxy Phenylacetic Acid	Itaconic Acid	α -Keto Butyric Acid	α -Keto Glutaric Acid	α -Keto Valeric Acid	D,L-Lactic Acid	Malonic Acid	Propionic Acid	Quinic Acid	D-Saccharic Acid
VECC2001	-	-	-	-	-	-	-	-	-	-	-	-	-	-	-	-	-	-	-
VECC1596	-	-	-	-	-	-	-	-	-	-	-	-	-	-	-	-	-	-	-
VECC2014	-	-	-	-	-	-	-	-	-	-	-	-	-	-	-	-	-	-	-
CDOA1028	-	-	-	-	-	-	-	-	-	-	-	-	-	-	-	-	-	-	-
JN2001	-	-	-	-	-	-	-	-	-	-	-	-	-	-	-	-	-	-	-
JN2005	-	-	-	-	-	-	-	-	-	-	-	-	-	-	-	-	-	-	-
JK2005	-	-	-	-	-	-	-	-	-	-	-	-	-	-	-	-	-	-	-
CDOA1147	-	-	-	-	-	-	-	-	-	-	-	-	-	-	-	-	-	-	-
1046-1	-	-	-	-	-	-	-	-	-	-	-	-	-	-	-	-	-	-	-
ECH1680	+	-	-	-	-	-	-	-	-	-	-	-	-	-	-	-	-	-	-

ตารางที่ 9 (ต่อ)

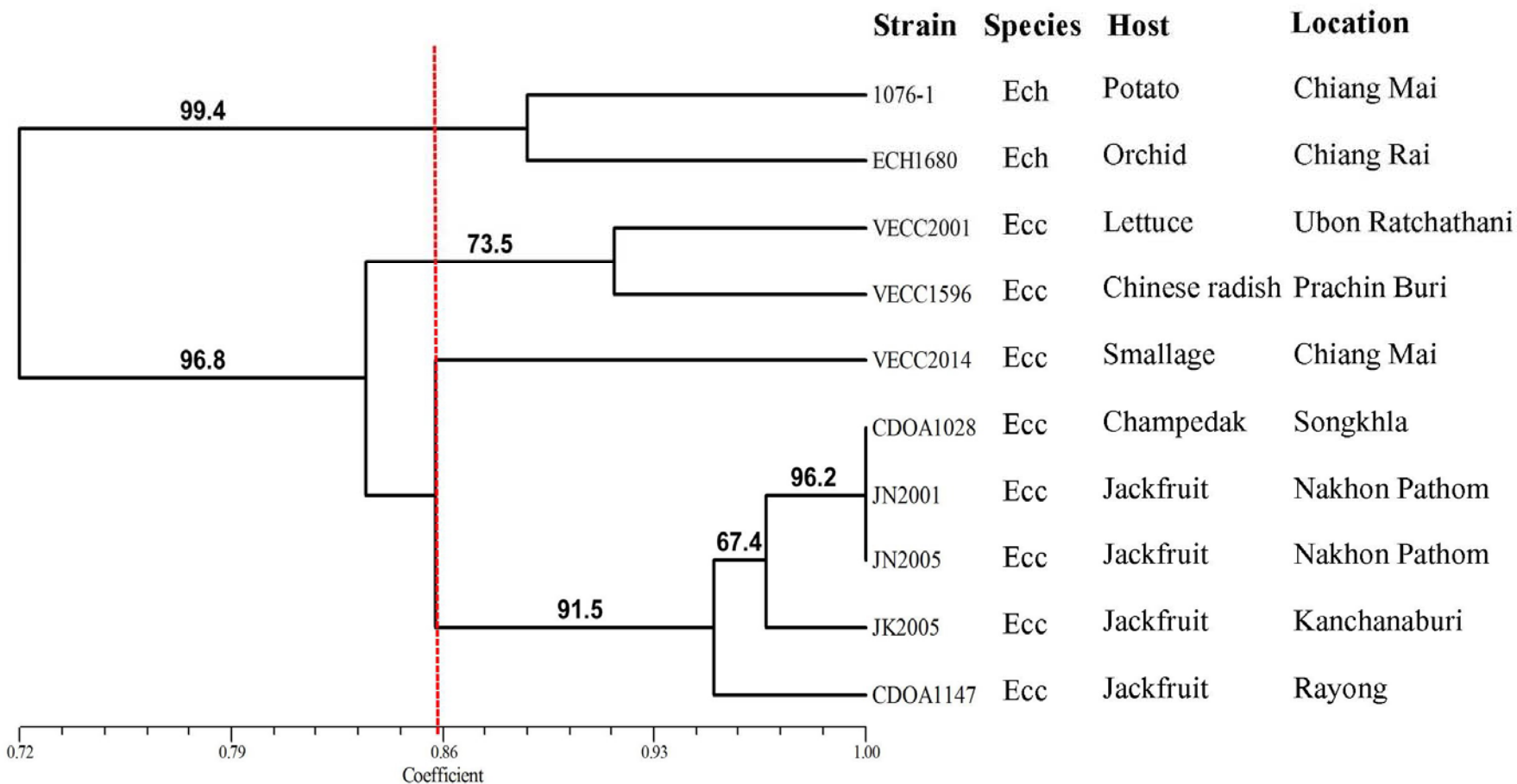
แหล่งการรับอนบนค่าด้อหาร GN2

	แบบที่เรียบง่ายพื้นฐาน																			
	Sebacic Acid	Succinic Acid	Bromosuccinic Acid	Succinamic Acid	Glucuronamide	L-Alaninamide	D-Alanine	L-Alanine	L-Alanyl-glycine	L-Asparagine	L-Aspartic Acid	L-Glutamic Acid	GlycyI-L-Aspartic Acid	GlycyI-L-Glutamic Acid	L-Histidine	Hydroxy-L-Proline	L-Leucine	L-Ornithine	L-Phenylalanine	
VECC2001	-	-	-	-	-	-	-	-	-	-	-	-	-	-	-	-	-	-	-	-
VECC1596	-	-	-	-	-	-	-	-	-	-	-	-	-	-	-	-	-	-	-	-
VECC2014	-	-	-	-	-	-	-	-	-	-	-	-	-	-	-	-	-	-	-	-
CDOA1028	-	-	-	-	-	-	-	-	-	-	-	-	-	-	-	-	-	-	-	-
JN2001	-	-	-	-	-	-	-	-	-	-	-	-	-	-	-	-	-	-	-	-
JN2005	-	-	-	-	-	-	-	-	-	-	-	-	-	-	-	-	-	-	-	-
JK2005	-	-	-	-	-	-	-	-	-	-	-	-	-	-	-	-	-	-	-	-
CDOA1147	-	-	-	-	-	-	-	-	-	-	-	-	-	-	-	-	-	-	-	-
1046-1	-	-	-	-	-	-	-	-	-	-	-	-	-	-	-	-	-	-	-	-
ECH1680	-	-	-	-	-	-	-	-	-	-	-	-	-	-	-	-	-	-	-	-

ตารางที่ 9 (ต่อ)

สายพันธุ์เชื้อแบคทีเรีย	แหล่งการบอนบนค่าด้อหาร GN2																		
	L-Proline	L-Pyroglyutamic Acid	D-Serine	L-Serine	L-Threonine	D,L-Camitine	r-Amino Butyric Acid	Urocanic Acid	D-Glucose-6-Phosphate	Uridine	Thymidine	Phenylethyl-amine	Putrescine	2-Aminoethanol	2,3-Butanediol	Glycerol	D,L- α -Glycerol Phosphate	α -D-Glucose-1-Phosphate	D-Glucose-6-Phosphate
VECC2001	-	-	-	-	-	-	-	-	+	-	-	-	-	-	-	+	-	-	-
VECC1596	-	-	-	-	-	-	-	-	+	-	-	-	-	-	-	-	-	-	-
VECC2014	-	-	-	-	-	-	-	-	+	-	-	-	-	-	-	-	-	-	-
CDOA1028	-	-	-	-	-	-	-	-	+	-	-	-	-	-	-	-	-	-	-
JN2001	-	-	-	-	-	-	-	-	+	-	-	-	-	-	-	-	-	-	-
JN2005	-	-	-	-	-	-	-	-	+	-	-	-	-	-	-	-	-	-	-
JK2005	-	-	-	-	-	-	-	-	+	-	-	-	-	-	-	-	-	-	-
CDOA1147	-	-	-	-	-	-	-	-	+	-	-	-	-	-	-	-	-	-	-
1046-1	-	-	-	+	-	-	-	-	+	-	-	-	-	-	-	-	-	-	-
ECH1680	-	-	-	+	-	-	-	-	+	+	-	-	-	-	-	+	+	+	+

+ = สามารถใช้แหล่งการบอนได้, - = ไม่สามารถใช้แหล่งการบอนได้



ภาพที่ 11 เดโนಡแกรมจากการวิเคราะห์รูปแบบการใช้แหล่งอาหารบน เชื้อ *Erwinia carotovora* subsp. *carotovora* สายพันธุ์ที่แยกได้จากบันุน และผัก โดยค่า similarity คำนวณด้วยค่า Dice's coefficient จัดกลุ่มด้วยโปรแกรม UPGMA วิเคราะห์ค่า bootstrap 1000 ชี้้า

วิจารณ์

การทดสอบยืนยันการจำแนกเชื้อ Ecc จากตัวอย่างของผักแสดงอาการเน่า爛อกจากจะพบเชื้อ Ecc สาเหตุโรคเน่า爛แล้ว ยังพบเชื้ออื่นที่เป็นชาโพรไฟที่มีลักษณะโคโลนีคล้ายกับเชื้อ Ecc จึงต้องทำการทดสอบเพื่อยืนยันว่าเป็นเชื้อ Ecc โดยทำการปลูกเชื้อทดสอบการเกิดโรคบนชิ้นแตงกวาก่อนเพื่อคัดเชื้อที่ไม่ใช่เชื้อ กลุ่ม soft rot ออกໄไป จากนั้นจึงตรวจยืนยันการจำแนกเชื้อทางสัณฐานวิทยา การติดสีแกรม คุณสมบัติการเป็น facultative anaerobic bacteria การตรวจหาสีนpel ที่จำเพาะกับเชื้อ Ecc และใช้ระบบการจำแนกเชื้อแบบที่เรียกว่ารวดเร็ว BIOLOG System (Biolog, Hayward, CA, USA) ตรวจสอบยืนยันเพื่อความสมบูรณ์ของการจำแนกเชื้อ

การใช้เทคนิค *In silico* analysis ในการทดลองครั้งนี้ เพื่อทดสอบจำนวนแอบดีอีนจาก combination ของเอนไซม์ทั้ง 5 ชนิด และ ไพรเมอร์แต่ละคู่ ในเว็บไซต์ <http://insilico.ehu.es/AFLP/> ก่อนทำการทดลองในห้องปฏิบัติการซึ่งให้ประหยัดเวลา และค่าใช้จ่ายเอนไซม์กับไพรเมอร์ โดยประมาณ 15,055 บาท ใน การทดสอบคู่ไพรเมอร์ในห้องปฏิบัติการ ดังการทดลองของ Mitchell et al. (2006) การใช้ข้อมูลจีโนมิกของเชื้อ *Erwinia carotovora* subsp. *atroseptica* SCR1043 เป็นตัวแทนทดสอบไพรเมอร์โดยเทคนิค *In silico* analysis เนื่องจากว่าปัจจุบันยังไม่มีข้อมูลที่สมบูรณ์ของลำดับเบสของจีโนมเชื้อ Ecc จากผลการทดสอบคู่เอนไซม์โดยเทคนิค *In silico* analysis ที่ให้แอบดีอีนเอ 100 - 200 แอบดีหมายความว่าที่สุดคือ เ昂ไชน์ EcoRI กับ *Mse*I ซึ่งสอดคล้องกับการทดลองในเชื้อ Ecc ของ Avrova et al. (2002) แต่จำนวนแอบดีอีนเอที่ได้จากการ *In silico* analysis ต่างไปจากจำนวนแอบดีอีนเอที่ได้จากการทดลองกับเชื้อ Ecc จำนวน 2 สายพันธุ์ในห้องปฏิบัติการ กับคู่ไพรเมอร์ M00 และ E19 สามารถตรวจพบได้อย่างชัดเจนเพียง 87 แอบดีอีนเอ อาจเนื่องมาจากการวิเคราะห์ด้วยเทคนิคด้วยเทคนิค *In silico* analysis จากเว็บไซต์สามารถวิเคราะห์ที่แอบดีอีนเอที่มีขนาดเล็กกว่า 100 bp ผลการวิเคราะห์จำนวนแอบดีอีนเอที่แสดงในเว็บไซต์จึงมากกว่าการทดลองในห้องปฏิบัติการ ที่ใช้ตรวจแยกแอบดีอีนเอบน denaturing polyacrylamide gel electrophoresis และข้อมูลเจลด้วยวิธี silver staining ซึ่งแอบดีอีนเอก้อนขนาดเล็กอาจเคลื่อนออกนอกแผ่นเจลไป หรือมีดีอีนเอที่มีขนาดเท่ากันแต่ลำดับเบสที่แตกต่างกันก็จะไม่สามารถแยกแอบดีอีนเอได้จากเจล แต่เนื่องจากเทคนิค *In silico* analysis สามารถระบุได้ทั้งขนาดของแอบดีอีนเอ และลำดับเบสของแอบดีอีนเอกลางวดฐานข้อมูลจึงแยกนับเป็นแอบดีอีนเอที่ต่างกันทำให้มีจำนวนแอบดีอีนเอกมากกว่าวิเคราะห์บน polyacrylamide gel electrophoresis แม้ว่าจะใช้การตรวจผลด้วยสายตา ร่วมกับใช้โปรแกรม Gene Tools Match (Syngene, Cambridge, UK) ที่กำหนดค่า integration parameter เพื่อช่วยลดความผิดพลาดที่เกิดขึ้นจากการนับแอบดีอีนเอ และโดยทั่วไปแล้วจำนวนแอบดีอีนเอที่ได้สอดคล้องกับรายงานของ Vos et al. (1995) ซึ่งโดยปกติเทคนิค AFLP

จะให้แอบดีเอ็นเอในช่วง 50 - 100 แอบ และหากรำวิธีการติดต่อกันด้วยสารเรืองแสง เช่น 6-carboxyfluorescein (FAM) มาใช้ และตรวจวิเคราะห์ AFLP-PCR ที่ได้โดยเครื่องวิเคราะห์ลำดับเบสอัตโนมัติ (Automatic Sequence Analyzer) จะให้ผลที่แม่นยำในการวิเคราะห์ยิ่งขึ้น (Hsieh and Pan, 2006)

การเพิ่มเบสต่อจากไพรเมอร์ในขั้นตอนของ selective amplification ทำให้จำนวนแอบดีเอ็นเอที่แตกต่างกัน (ตารางที่ 8) ซึ่งจำนวนแอบดีเอ็นเอบน AFLP gel จะขึ้นอยู่กับชนิดและจำนวนเบส (selective base) ที่เพิ่มต่อจากไพรเมอร์ (Koopman and Gort, 2003) ในการทดลองนี้ พบว่า การเพิ่มเบสในไพรเมอร์ EcoRI เป็น GA (E19) และ MseI ไม่เพิ่มเบส (M00) ให้แอบดีเอ็นเอมาก และมีจำนวนแอบดีเอ็นเอที่แตกต่างกันระหว่างเชื้อ Ecc ที่แยกมาจากขันนุน และผักมากกว่าไพรเมอร์คู่อื่นที่ทำการทดสอบคู่ไพรเมอร์เบื้องต้น สอดคล้องกับการทดลองของ Avrova *et al.* (2002) ที่ใช้คู่ไพรเมอร์นี้ในขั้นตอนการคัดเลือกในการศึกษาเชื้อ *E. carotovora* และเชื้อ *E. chrysanthemi* จากการทดลองนี้ได้ทำ AFLP ข้าจำนวน 3 ครั้งให้ผลการทดลองที่เหมือนกัน

การใช้คู่ไพรเมอร์ E19 และ M00 ในขั้นตอนของ selective amplification กับเชื้อ Ecc จำนวน 37 สายพันธุ์, เชื้อ Ech (ECH1680 และ 1076-1), เชื้อ *Ralstonia solanacearum* (1295) และเชื้อ *Pantoea dispersa* ได้แอบดีเอ็นเอที่แตกต่างทั้งหมด 102 แอบ และการวิเคราะห์ลายพิมพ์ดีเอ็นเอของเชื้อ Ecc และ Ech สามารถแบ่งเชื้อทั้งสองออกจากกันอย่างชัดเจนที่ค่า similarity 0.36 สำหรับรูปแบบ (pattern) ของแอบดีเอ็นเอในแต่ละสายพันธุ์ของเชื้อ Ecc มีรูปแบบของแอบดีเอ็นเอคล้ายกัน มีบางส่วนที่แตกต่างกันและสามารถออกความแตกต่างของเชื้อ Ecc ที่แยกได้จากขันนุน และผัก嫩 ดังเช่นพบแอบดีเอ็นเอมากกว่า 3 แอบ (ภาพที่ 10 ลูกศรชี้) ที่แตกต่างอย่างชัดเจน และสามารถพัฒนาเป็น molecular marker ที่เป็นป้าหมายในการตรวจเชื้อ ซึ่งสอดคล้องกับข้อมูลเมื่อนำมาจัดกลุ่ม โดยการทำ cluster analysis พบว่าสามารถแบ่งกลุ่มได้ 2 กลุ่มที่ค่า similarity 0.42 ซึ่งแยกเชื้อที่มาจากการวิเคราะห์ แต่เชื้อ Ecc สามารถออกจากกันอย่างชัดเจนสอดคล้องกับการศึกษาของ Avrova *et al.* (2002)

จากค่า similarity ที่แตกต่างกันระหว่างเชื้อที่แยกมาจากการผัก嫩 และขันนุน ในการวิเคราะห์ลายพิมพ์ดีเอ็นเอ แสดงถึงความแตกต่างในระดับจีโนมของเชื้อ ซึ่งสอดคล้องกับลักษณะทางจีโนไทป์ที่เชื้อแสดงออกมา คือเชื้อ Ecc เป็นสาเหตุโรคเน่าและกับผักชนิดต่างๆ (ศักดิ์, 2537) จากการทดลองของรุ่งรัตน์ (2548) และนิโอลบ (2548) พบว่าเชื้อ Ecc ที่แยกได้จากผัก嫩ไม่สามารถเกิดโรคต้นแห้งตายในกล้ามขันนุนได้ แต่เชื้อ Ecc สาเหตุโรคต้นแห้งตายขันนุนสามารถทำให้เกิดอาการเน่า

และกับชิ้นแต่งกว่าได้ และมีคุณสมบัติทางเชรุ่มวิทยาที่แตกต่างไปจากเชื้อ Ecc สาเหตุโรคเน่าและของผัก (รุ่งรัตน์, 2548) รวมถึงลักษณะการใช้แหล่งการบ่อนของเชื้อทั้งสองกลุ่มนี้มีความแตกต่างกัน (ตารางที่ 9) เมื่อนำวิเคราะห์สร้างเดน โอดแกรม ภายนอกกลุ่มเชื้อ Ecc แบ่งเป็น 3 กลุ่มอย่างชัดเจนที่ค่า similarity 0.86 (ภาพที่ 11)

จากการวิเคราะห์ลายพิมพ์ดีเอ็นเอที่ค่า similarity 0.43 พบว่ามีเชื้อสายพันธุ์ VECC2014 ที่แยกได้จากคืนปล่าย จังหวัดเชียงใหม่ ไม่เข้ากลุ่มภายนอกกลุ่มของผัก โดยให้ผลสอดคล้องกับลักษณะการใช้แหล่งการบ่อน เมื่อนำมาเชื้อสายพันธุ์ VECC2014 มาจัดจำแนกด้วยระบบ BIOLOG System (Biolog, Hayward, CA, USA) เปรียบเทียบกับเชื้อสายพันธุ์ VECC2001 พบว่าเป็นเชื้อ Ecc ทั้งคู่แต่มีความแตกต่างในการใช้แหล่งการบ่อนบางชนิด (ตารางที่ 9) คือ เชื้อสายพันธุ์ VECC2001 สามารถใช้ D-Galactonic Acid Lactone และ Thymidine ได้แต่ไม่สามารถใช้ Turanose, L-serine และ Succinamic Acid ตรงกับข้ามกับเชื้อสายพันธุ์ VECC2014 ที่สามารถใช้ Turanose, L-serine และ Succinamic Acid !!แต่ไม่สามารถใช้ D-Galactonic Acid Lactone และ Thymidine ส่วนในกลุ่มสายพันธุ์เชื้อ Ecc ที่แยกได้จากบุน ไม่มีความผันแปรจนกระทั่งที่ค่า similarity 0.92 กลุ่มเชื้อ Ecc ของบุนแบ่งออกเป็นสองกลุ่มย่อย สอดคล้องกับลักษณะการใช้แหล่งการบ่อน เมื่อนำตัวแทนเชื้อทั้ง 2 กลุ่ม คือเชื้อสายพันธุ์ JDOA1147 และเชื้อสายพันธุ์ CDOA1028 มาศึกษาลักษณะการใช้แหล่งการบ่อน พบร่วม เชื้อสายพันธุ์ JDOA1147 สามารถใช้ D-Gluconic Acid แต่ไม่สามารถใช้ Turanose และ Maltose ส่วนเชื้อสายพันธุ์ CDOA1028 สามารถใช้ Turanose และ Maltose แต่ไม่สามารถใช้ D-Gluconic ได้ (ตารางที่ 9) ด้วยเหตุนี้ทำให้ลักษณะลายพิมพ์ดีเอ็นเอที่ได้แบ่งเป็น 2 กลุ่มในระดับ similarity 0.92 (ภาพที่ 10) และสอดคล้องกับการศึกษาความสัมพันธ์ของเชื้อ โดยใช้แหล่งการบ่อน 95 ชนิด พบร่วมเกิดการแบ่งกลุ่มย่อยภายนอกกลุ่มเชื้อ Ecc ที่แยกได้จากบุน (ภาพที่ 11)

เดน โอดแกรมที่ได้จากคุณสมบัติการใช้แหล่งการบ่อน 95 ชนิดเป็นอีกข้อมูลทางด้านฟิโน่ ไทยที่ใช้ประกอบเพิ่มเติม นอกจากนี้จากการวิเคราะห์ลายพิมพ์ดีเอ็นเอที่ได้จากเทคนิค AFLP ซึ่งเป็นข้อมูลทางด้านฟิโน่ ไทยที่แสดงถึงความแตกต่างของเชื้อ Ecc ที่แยกได้จากบุนและผัก ผลการทดลองคุณสมบัติการใช้แหล่งการบ่อนในครั้งนี้ยืนยันถึงความแตกต่างระหว่างเชื้อ Ecc ที่แยกได้จากผักเน่า และบุน (ภาพที่ 11) ให้ผลที่สอดคล้องกับลักษณะลายพิมพ์ดีเอ็นเอ ซึ่งเชื้อที่แยกมาจากการผักเน่าจัดอยู่คนละกลุ่มกับเชื้อที่แยกได้จากบุน (ภาพที่ 10)

ความผันแปรในกลุ่มเชื้อ Ecc ที่แยกมาจากการผักเน่ามากกว่าเชื้อ Ecc ที่แยกมาจากบุน อาจเป็นเพราะว่าเชื้อสายพันธุ์ที่แยกได้จากผักนั้นมาจากผักหลายตระกูลและหลายแหล่งปลูก จึงทำให้

ลักษณะเด่นโอดแกรมที่ได้มีความหลากหลายในกลุ่มของผัก ส่วนความผันแปรทางพันธุกรรมที่เกิดขึ้นภายในกลุ่มนี้นุนเกิดขึ้นเล็กน้อย เนื่องจากจำนวน Ecc จากนั้นมีเพียง 17 สายพันธุ์จากแหล่งปลูกเพียง 4 จังหวัด จึงอาจเป็นไปได้ที่ทำให้ไม่พบความผันแปรของเชื้อให้เห็น เมื่อพิจารณาเชื้อ Ecc ในภาพรวมแล้วลายพิมพ์ดีเย็นอาจที่ได้บ่งชี้ว่าเชื้อ Ecc ที่แยกได้จากนั้นนี้ มีความแตกต่างกับเชื้อ Ecc ที่แยกได้จากผักแต่ละตระกูลและแหล่งต่างๆ อย่างไรก็ตามจำนวนเชื้อ Ecc ที่นำมาศึกษาในครั้งนี้มีเพียง 37 สายพันธุ์ และการกระจายตัวของแหล่งที่เก็บเชื้อ ยังไม่เป็นตัวแทนที่ดี จึงแสดงให้เห็นเพียงว่า เชื้อ Ecc จากพืชผักที่เป็นโรคเน่าและ เมื่อวิเคราะห์โดยเทคนิค AFLP มีแนวโน้มว่ามีความผันแปรทางพันธุกรรมที่สูง และให้ผลไปในทิศทางเดียวกับการทดลองของ Avrova *et al.* (2002) ในการศึกษาทดลองครั้งต่อไปการสำรวจและเก็บตัวอย่างเชื้อ Ecc ที่แยกมาจากผักเน่า และนุนให้มากกว่านี้ โดยตัวอย่างของผักควรจะมีตัวอย่างเชื้อที่แยกได้จากพืชครอบคลุมแต่ละตระกูล และกระจายตัวอยู่ทั่วทุกภาคของประเทศไทย รวมทั้งเชื้อที่เป็น type strain จาก culture collection ที่ได้รับการยอมรับจะทำให้เห็นความแตกต่างอย่างชัดเจนระหว่าง Ecc ที่เข้าเกิดโรคกับผักเน่า และนุนชัดเจนมากขึ้น

ข้อมูล AFLP ที่ได้จากการทดลองครั้งนี้ นับว่าเป็นข้อมูลส่วนหนึ่งที่ชี้ให้เห็นลักษณะทางจีโนมที่มีความแตกต่างระหว่างเชื้อ Ecc สายพันธุ์ที่แยกได้จากผักเน่าและนุน ซึ่งจะนำไปสู่การทดลองต่อไปในการศึกษาข้อมูลทางจีโนไทป์และคุณสมบัติอื่นๆ เพิ่มเติม เพื่อแสดงให้เห็นความความแตกต่างระหว่างเชื้อ Ecc ที่แยกได้จากนุนและผักเน่า ดังเช่น การศึกษาลำดับเบสของ 16SrDNA และ DNA-DNA hybridization ถ้าพบว่าเชื้อ Ecc ที่แยกมาจากนุนมีความเหมือนต่ำกว่า 70% (Stackebrandt and Goebel, 1994) กับเชื้อ type strain อื่นๆ และมีข้อมูลลักษณะความแตกต่างทางพีโนไทป์ประกอบ ดังเช่นองค์ประกอบของ fatty acid (Wells and Moline, 1991) และลักษณะการใช้แหล่งการรับอน (Duarte *et al.*, 2003) สามารถจัดจำแนกเชื้อ Ecc ที่แยกได้จากนุนเป็น subspecies ใหม่ (Ursing *et al.*, 1994) โดยนำไปตรวจสอบชื่อแบบที่เรียกในเอกสาร Approved Lists of Bacterial Names และตีพิมพ์รายละเอียดของแบบที่เรียกในวารสาร International Journal of Systematic Bacteriology (IJSB) หรือใน International Journal of Systematic and Evolutionary Microbiology (IJSEM) และมีการเปรียบเทียบกับชื่อแบบที่เรียกใน Bacteriological Code. ตั้งแต่เดือนสิงหาคม 2002 เป็นต้นมา โดยการตั้งชื่อแบบที่เรียกชนิดใหม่ (new species, new subspecies และ new combinations) จะต้องปฏิบัติตามกติกาของ IJSEM โดยต้องเก็บตัวอย่างต้นแบบแบบที่เรียบรูส์ที่ไว้ใน culture collection ที่ได้รับการยอมรับอย่างน้อย 2 แห่งใน 2 ประเทศ (Lapage *et al.*, 1992) จึงจะสามารถจัดจำแนกเชื้อ Ecc ที่แยกได้จากโรคแห้งตายของนุนไปอยู่ใน subspecies ใหม่ได้

สรุป

1. จากการวิเคราะห์ลายพิมพ์ดีเอ็นเอของเชื้อ Ecc ที่เป็นสาเหตุของโรคในบุน และพิชักโดยใช้เทคนิค AFLP ใช้คู่ไพรเมอร์ E19 และ M00 ในขั้นตอน selective amplification ของเชื้อ *E. carotovora* ที่แยกได้จากโรคต้นแห้งตายของบุน และโรคเน่า烂ของพืชผักพบว่า ที่ค่า similarity 0.42 เชื้อที่แยกได้จากบุน และเชื้อที่แยกได้จากผัก嫩่และ แยกอยู่ต่างกลุ่มกันอย่างชัดเจน บ่งชี้ ความเป็นไปได้ที่จะจัดแยกเชื้อ Ecc สาเหตุโรคต้นแห้งตายบุนเป็นเชื้อใน subspecies ใหม่ได้
2. เทคนิค AFLP สามารถนำมาศึกษาลายพิมพ์ดีเอ็นเอของเชื้อ Ecc ได้ เป็นเทคนิคที่ทำได้ รวดเร็วมีประสิทธิภาพ ใช้ดีเอ็นเอต้นแบบปริมาณน้อย และให้ผลที่เชื่อถือ ได้สอดคล้องกับการ จำแนกเชื้อ โดยวิธีดั้งเดิม (Classical bacterial identification)
3. การนำข้อมูลจีโนมิก ของเชื้อแบคทีเรียสาเหตุโรคพืช มาวิเคราะห์โดยวิธี *In silico* analysis ทำให้สามารถประยุกต์เวลาลดการใช้สารเคมีในการทดลอง ซึ่งยังมีราคาแพง และลดการ ทดลองให้ห้องปฏิบัติการลงได้อย่างมาก ให้ผลการทดลองที่ดี และเชื่อถือ ได้

เอกสารและสิ่งอ้างอิง

ช่อพิพย์ อนอมถิน. 2538. การใช้แบบที่เรียแอนทากอนิสต์เพื่อควบคุมเชื้อ *Erwinia* สาเหตุโรคเน่าและในมันฝรั่ง. วิทยานิพนธ์ปริญญาโท. มหาวิทยาลัยเกษตรศาสตร์. กรุงเทพฯ.

ณัฏฐิมา บุญวัฒน์, สุนตรา ภาวิจตร, วนิดา ฐิตสาน และชัยวัฒน์ กระตุกษ์. 2536. การศึกษาเชื้อแบบที่เรียสาเหตุโรคกรดโtrzymของขุนและจำปาดะ. รายงานประจำปี 2536. กลุ่มงานนักเต็ริวิทยา. กองโรคพืชและจุลชีววิทยา. หน้า 91-29.

นฤชิต แวงศรีผ่อง. 2529. การปลูกขุน. บริษัท พิมพ์สวาย จำกัด กรุงเทพมหานคร. 78 หน้า

นิโกลบล สุจลินธ์. 2548. วิธีการตรวจสอบเชื้อแบบที่เรียสาเหตุโรคต้นแห้งตายของขุน และจำปาดะโดยเทคนิคพีซีอาร์. วิทยานิพนธ์ปริญญาโท. มหาวิทยาลัยเกษตรศาสตร์. กรุงเทพฯ.

เสมอใจ ชื่นจิต และบรรหาร วิสมิตตินันท์. 2533. ต้นแห้งตาย: โรคใหม่ของจำปาดะขุน (*Artocarpus* sp. (Merr.) Thumb). วารสารโรคพืช 10: 19-29.

รุ่งรัตน์ วารีเบต. 2548. การจัดจำแนกและการตรวจสอบทางชีววิทยาของเชื้อแบบที่เรียสาเหตุโรคต้นแห้งตายของขุนและจำปาดะ. วิทยานิพนธ์ปริญญาโท. มหาวิทยาลัยเกษตรศาสตร์. กรุงเทพฯ.

วิชัย ไอมิตรัตน. 2537. บทปฎิบัติการโรคพืชที่เกิดจากเชื้อแบบที่เรีย. ภาควิชาโรคพืช คณะเกษตร มหาวิทยาลัยเกษตรศาสตร์. 161 หน้า

ศักดิ์ สุนทรสิงห์. 2537. โรคของผักและการป้องกันกำจัด. พิมพ์ครั้งที่ 2. ภาควิชาโรคพืช คณะเกษตร มหาวิทยาลัยเกษตรศาสตร์. กรุงเทพฯ. 144 หน้า

สมศิริ แสงโขต. 2532. โรคของพืชเศรษฐกิจ พืชผัก. พิมพ์ครั้งที่ 2. บริษัท ประชาชน จำกัด กรุงเทพมหานคร. 50 หน้า

สุรินทร์ ปีบะ ใจคนาคุล. 2545. **จีโนมและเครื่องหมายดีเอ็นเอ: ปฏิบัติการอาร์เอฟดี และเออเอฟแอลพี.** ภาควิชาพันธุศาสตร์ คณะวิทยาศาสตร์ มหาวิทยาลัยเกษตรศาสตร์. กรุงเทพฯ. 155 หน้า

_____. 2543. **เอกสารการฝึกอบรม เทคนิค AFLP แบบปลดรังสี Nonradioactive AFLP Techniques.** ภาควิชาพันธุศาสตร์ คณะวิทยาศาสตร์ มหาวิทยาลัยเกษตรศาสตร์. กรุงเทพฯ. 41 หน้า

Ahmed, M.E.E. 2001. **Detection and effects of latent contamination of potato tubers by soft rot bacteria, and investigation on the effect of hydrogen peroxide on lipopolysaccharides of *Erwinia carotovora* in relation to acquired resistance against biocides.** Ph.D. Thesis, Georg-August-University, Germany.

Avrova, A.O., L.J. Hyman, R.L. Toth and I.K. Toth. 2002. Application of amplified fragment length polymorphism fingerprinting for taxonomy and identification of the soft rot bacteria *Erwinia carotovora* and *Erwinia chrysanthemi*. **Appl. Environ. Microbiol.** 62 : 1499-1508.

Ausubel, F.M., R. Brent, R.E. Kingston, D.D. Moore, J.G. Seidman, J.A. Smith and K. Struhl. 1999. **Short Protocols in Molecular Biology.** 4 th ed. John Wiley and Sons, Inc., New York.

Beij, A., J. Mergaert, F. Gavini, D. Izard, K. Leclerc, H.& J. De ley. 1988. Subjective synonymy of *Erwinia herbicola*, *Erwinia milletiae*, and *Enterobacter agglomerans* and redefinition of the taxon by genotypic and phenotypic data. **Int. J. Syst. Bacteriol.** 38:77-88.

Bikandi, J., R. San Millán, A. Rementeria and J. Garaizar. 2004. *In silico* analysis of complete bacterial genomes: PCR, AFLP-PCR and endonuclease restriction. **Bioinformatics** 20: 798-799.

Collmer, A. and N. T. Keen. 1986. The role of pectin enzyme in plant pathogenesis. **Annu. Rev. Phytopathol.** 24: 383-409.

Danchin A., C. Medigue, O. Gascuel, H. Soldano and A. Henaut. 1991. From data bank to data bases. **Res. Microbiol.** 142: 913-916.

Dice, L.R. 1945. Measurement of the amount of ecologic association between species. **Ecology** 26: 297-302.

Duarte, V., S. H. De Boer, L. J. Ward and A. M. R. de Oliveira. 2003. Characterization of atypical *Erwinia carotovora* strains causing blackleg of potato in Brazil. **J. Appl. Microbiol.** 96: 535-545.

Hauben, L., E. R. B. Moore, L. Vauterin, M. Steenackers, L. Verdonck and J. Swings. 1998. Phylogenetic position of phytopathogens within the Enterobacteriaceae. **Syst. Appl. Microbiol.** 21: 384-387.

Hsieh, Y. T. and T. M. Pan. 2006. Influence of planting papaya ringspot virus resistant transgenic papaya on soil microbial biodiversity. **J. Agric. Food Chem.** 54: 130-137.

Janssen, P., R. Coopman, G. Huys, J. Swings, M. Bleeker, P. Vos, M. Zabeau and K. Kersters. 1996. Evaluation of the DNA fingerprinting method AFLP as a new tool in bacterial taxonomy. **Microbiology** 142: 1881-1893.

Jonas, D., B. Spitzmüller, K. Weist, H. Rüden and F.D. Daschner. 2002. Comparison of PCR-based methods for typing *Escherichia coli*. **Clinical Microbiology and Infection** 9: 823-831.

Koopman, W. J. M. and G. Gort. 2003. Significance tests and weighted values for AFLP similarities, based on arabidopsis *in silico* AFLP fragment length distributions. **Genetics** 167: 1915-1928.

Lapage, S. P., P. H. A. Sneath, E. F. Lessel, V. B. D. Skerman, H. P. R. Seeliger and W. A. Clark.

1992. **International Code of Nomenclature of Bacteria (1990 Revision)**. Statutes of the International Committee on Systematic Bacteriology and Statutes of the Bacteriology and Applied Microbiology Section of The International Union of Microbiological Societies. Available Source: <http://www.ncbi.nlm.nih.gov/books/bv.fcgi?rid=icnb>, May 8, 2007.

Lim, W.H., and I. Yasin. 1983. A new bacterial disease of jack-fruit and champedak. **MAPRS Newsletter** 3: 6-8.

Lin, J.J., J. Kuo and J. Ma. 1996. A PCR-based DNA fingerprinting technique: AFLP for molecular typing of bacteria. **Nucleic Acids Res.** 24: 3649-3650.

Miramontes P. 1992. **A cellular automaton model for the evolution of nucleic acids**. Ph.D. Thesis. National Autonomous University of Mexico, Mexico.

Mitchell, M. G., D. Tabarini and M. Ziman. 2006. Single nucleotide polymorphisms associated with the intronic cis regulatory regions of PAX7: a potential linkage to increased tumorigenesis of rhabdomyosarcoma elucidated via *In silico* biology and pyrosequencing. **Nature and Science** 4: 6-20.

Nair, S., E. Schreiber, K.L. Thong, T. Pang and M. Altwegg. 1999. Genotypic characterization of *Salmonella typhi* by amplified fragment length polymorphism fingerprinting provides increased discrimination. **J. Microbiol. Methods** 41: 35-43.

Nei, M. and W. H. Li. 1979. Mathematical model for studying genetic variation in terms of restriction endonucleases. **Proc. Natl. Acad. Sci. USA.** 76:5269-5273.

Pérombelon M. C. M. and A. Kelman. 1980. Ecology of the soft rot erwinias. **Annu. Rev. Phytopathol.** 18: 361-387.

Pérombelon M. C. M. and A. Kelman. 1987. Blackleg and other potato diseases caused by soft rot erwinias: a proposal for a revision of the terminology. **Plant Disease** 71:283-285.

Pérombelon M. C. M. 2002. Potato disease cause by soft rot erwinias: an overview of pathogenesis. **Plant Pathol.** 18:361-387.

Restrepo, S., M. Duque, J. Tohme and V. Verdier. 1999. AFLP fingerprinting: an efficient technique for detecting genetic variation of *Xanthomonas axonopodis* pv. *manihotis*. **Microbiology** 145: 107-114.

Roberts, R. J., T. Vincze, J. Posfai and D. Macelis. 2003. REBASE restriction enzymes and methyltransferase. **Nucleic Acids Res.** 31: 418-420.

Rohlf, F. J. 1993. **NTSYS-pc Numerical Taxonomy and Multivariate Analysis System**. Exeter Software, New York. 206 p.

Rombauts, S., Y. V. Peer and P. Rouzé. AFLPinSilico, simulating AFLP fingerprints. 2003. **Bioinformatics** 19: 776-777.

Sambrook, J., E. F. Fritsch and T. Maniatis. 1989. **Molecular Cloning: A Laboratory Manual**. 2nd ed., Cold Spring Harbor Laboratory Press, Cold Spring Harbor, New York.

San Millán, R., J. Garaizar and J. Bikandi. 2005. *In silico* simulation of fingerprinting techniques based on double endonuclease digestion of genomic DNA. **In Silico Biology** 5: 341-346.

Schaad, N.W., J.B. Jone and W. Chun. 2001. **Laboratory Guide for Plant Pathogenic Bacteria**. American Phytopathological Society Press, St. Paul, Minnesota.

Seo, S. T., N. Furuya, C. K. Lim, Y. Takanami and K. Tsuchiya. 2002. Phenotypic and genetic diversity of *Erwinia carotovora* ssp. *carotovora* strains from Asia. **J. Phytopathology** 150: 120-127.

Seo, S. T., K. Tsuchiya and R. Murakami. 2004. Characterization and differentiation of *Erwinia carotovora* strains from mulberry trees. **J. Gen. Plant Pathol.** 70: 120-123.

Sokal, R.R., and C.D. Michener. 1958. A statistical method for evaluating systemic relationships. **Univ. Kans. Sci. Bull.** 28: 1409-1438.

Stackebrandt E. and B. M. Goebel. 1994. Taxonomic note: a place for DNA-DNA reassociation and 16S rRNA sequence analysis in the present species definition in bacteriology. **Int. J. Syst. Bacteriol.** 44: 846-849.

Ursing, J. B., H. Lior and R. J. Owen. 1994. Proposal of minimal standards for describing new species of the family Campylobacteraceae. **Int. J. Syst. Bacteriol.** 44: 842-845.

Vos, P., R. Hogers, M. Bleeker, M. Reijans, T. Van de lee, M. Hornes, A. Frijters, J. Pot, J. Peleman, M. Kuiper and M. Zabeau. 1995. AFLP: a new technique for DNA fingerprinting. **Nucleic Acids Res.** 23: 4407-4414.

Weisburg, W. G., S. M. Barns, D. A. Pelletier and D. J. Lane. 1990. 16S Ribosomal DNA amplification for phylogenetic study. **J. Bacteriol.** 173: 697-703

Wells, J. M. and H. E. Moline. 1991. Differentiation of the soft-rotting *Erwinia* of the *carotovora* group by fatty acid composition. **J. Phytopathol.** 131: 22-32.

Yap, I. V. and R. J. Nelson. 1996. **Winboot a program for performing bootstrap analysis of binary data to determine the confidence limits of UPGMA based dendograms.** IRRI discussion paper series 14. International Rice Research Institute, Manila, The Philippines.

Young J.M., Y. Takikawa, L. Gardan and D. E. Stead. 1992. Changing concepts in the taxonomy of plant pathogenic bacteria. **Annu. Rev. Phytopathol.** 30: 67-105.

ภาคผนวก

สูตรการคำนวณค่า Similarity Coefficient ด้วยวิธีของ Dice's similarity coefficients (Dice, 1945)

$$S_{ij} = \frac{2A}{2A+B+C}$$

เมื่อ S_{ij} คือ ค่า similarity ระหว่างตัวอย่าง i และ j

A คือ จำนวนแอบดีอีนเอทั้งหมดที่ปรากฏทั้งตัวอย่าง i และ j

B คือ จำนวนแอบดีอีนเอที่ปรากฏในตัวอย่างที่ i แต่ไม่ปรากฏที่ j

C คือ จำนวนแอบดีอีนเอที่ปรากฏในตัวอย่างที่ j แต่ไม่ปรากฏที่ i (Nei and Li, 1979)

ตารางผนวกที่ 1 ส่วนประกอบของเจลเข้มข้น 6 เปอร์เซ็นต์ (acrylamide: bisacrylamide = 19:1, 7.5 M urea)

สารที่ใช้	ปริมาณที่ใช้สำหรับเตรียมเจลเข้มข้น 6%	
	ปริมาตรรวม 10 มิลลิลิตร	ปริมาตรรวม 40 มิลลิลิตร
30% acrylamide (19:1)	2.0 มิลลิลิตร	8 มิลลิลิตร
5x TBE	2.0 มิลลิลิตร	8 มิลลิลิตร
ยูเรีย 7.5 M	4.5 กรัม	18 กรัม
น้ำกลั่น	2.5 มิลลิลิตร	10 มิลลิลิตร
10% APS	100 ไมโครลิตร	400 ไมโครลิตร
TEMED	10 ไมโครลิตร	20 ไมโครลิตร

TBE = 89 mM Tris base, 2.5 mM EDTA

APS = ammonium persulfate

TEMED = N,N,N',N'-tetramethylethylenediamine

ตารางผนวกที่ 2 จำนวนแผลบดีเอ็นเอของ *Erwinia carotovora* subsp. *atroseptica* จากการวิเคราะห์ด้วยโปรแกรม *In silico* AFLP-PCR amplification โดยเลือกใช้เอนไซม์ *EcoRI* และ *MseI*

ไพรเมอร์	ไพรเมอร์					
	Eco+0	Eco+A	Eco+C	Eco+G	Eco+T	Eco+GA
Mse + 0	2184	704	552	513	412	113
Mse + A	655	221	158	165	108	44
Mse + C	276	92	78	50	55	26
Mse + G	662	204	166	160	128	33
Mse + T	593	185	149	136	122	10

ตารางผนวกที่ 3 จำนวนแผลบดีเอ็นเอของ *Erwinia carotovora* subsp. *atroseptica* จากการวิเคราะห์ด้วยโปรแกรม *In silico* AFLP-PCR amplification โดยเลือกใช้เอนไซม์ *EcoRI* และ *TaqI*

ไพรเมอร์	ไพรเมอร์					
	Eco+0	Eco+A	Eco+C	Eco+G	Eco+T	Eco+GA
Taq + 0	2083	682	544	458	402	68
Taq + A	823	263	233	179	145	39
Taq + C	358	114	77	92	71	20
Taq + G	522	180	116	130	95	31
Taq + T	469	138	127	106	98	21

ตารางผนวกที่ 4 จำนวนแฉบดีเอ็นเอของ *Erwinia carotovora* subsp. *atroseptica* จากการวิเคราะห์ด้วยโปรแกรม *In silico* AFLP-PCR amplification โดยเลือกใช้เอนไซม์ *ApaI* และ *MseI*

เอนไซม์	เอนไซม์					
	<i>Apa+0</i>	<i>Apa+A</i>	<i>Apa+C</i>	<i>Apa+G</i>	<i>Apa+T</i>	<i>Apa+GA</i>
<i>Mse + 0</i>	311	80	57	126	48	27
<i>Mse + A</i>	91	28	18	34	12	3
<i>Mse + C</i>	45	11	10	15	9	4
<i>Mse + G</i>	90	22	12	39	17	13
<i>Mse + T</i>	84	19	17	38	10	7

ตารางผนวกที่ 5 จำนวนแฉบดีเอ็นเอของ *Erwinia carotovora* subsp. *atroseptica* จากการวิเคราะห์ด้วยโปรแกรม *In silico* AFLP-PCR amplification โดยเลือกใช้เอนไซม์ *ApaI* และ *TaqI*

เอนไซม์	เอนไซม์					
	<i>Apa+0</i>	<i>Apa+A</i>	<i>Apa+C</i>	<i>Apa+G</i>	<i>Apa+T</i>	<i>Apa+GA</i>
<i>Taq + 0</i>	314	82	57	125	50	26
<i>Taq + A</i>	133	42	17	54	20	11
<i>Taq + C</i>	42	11	11	15	5	4
<i>Taq + G</i>	83	18	24	28	14	8
<i>Taq + T</i>	55	11	5	28	11	3

ตารางผนวกที่ 6 จำนวนแผลบดีอีนเอของ *Erwinia carotovora* subsp. *atroseptica* จากการวิเคราะห์ด้วยโปรแกรม *In silico* AFLP-PCR amplification โดยเลือกใช้เอนไซม์ *HindIII* และ *MseI*

ไพรเมอร์	ไพรเมอร์					
	Hin+0	Hin+A	Hin+C	Hin+G	Hin+T	Hin+GA
Mse + 0	1060	185	293	246	335	76
Mse + A	344	72	86	75	112	26
Mse + C	155	32	43	35	44	8
Mse + G	298	47	90	74	90	22
Mse + T	314	61	77	69	104	23

ตารางผนวกที่ 7 จำนวนแผลบดีอีนเอของ *Erwinia carotovora* subsp. *atroseptica* จากการวิเคราะห์ด้วยโปรแกรม *In silico* AFLP-PCR amplification โดยเลือกใช้เอนไซม์ *HindIII* และ *TaqI*

ไพรเมอร์	ไพรเมอร์					
	Hin+0	Hin+A	Hin+C	Hin+G	Hin+T	Hin+GA
Taq + 0	1114	211	294	254	350	77
Taq + A	430	70	105	109	146	30
Taq + C	155	28	49	33	45	9
Taq + G	266	58	73	56	79	19
Taq + T	265	56	70	55	84	19

ตารางผนวกที่ 8 ข้อมูล AFLP จากการวิเคราะห์ลายพิมพ์ดีเอ็นเอเชื้อ *Erwinia carotovora* subsp. *carotovora* !! และ *Erwinia chrysanthemi* ด้วยไพรเมอร์ E19 และ M00

ตารางผนวกที่ 8 (ต่อ)

ตารางผนวกที่ 8 (ต่อ)

ตารางผนวกที่ 8 (ต่อ)

ชื่อสายพันธุ์	Binary data ของลายพิมพ์ดีเอ็นเอ
1408	0 1 0 0 1 1 0 0 1 0 0 0 0 0 1 0 1 0
1428	0 1 0 0 1 0 1 0 1 1 0 0 0 0 0 0 1
64-4	0 1 0 0 1 1 1 0 1 1 0 0 0 0 0 0 1
681-1	0 0 0 0 0 1 1 0 1 0 0 0 0 0 0 0 1
CDOA1028	0 0 1 0 0 0 0 0 1 1 0 0 0 0 0 1 0 0
CS1006	0 0 1 0 0 0 0 0 1 1 0 0 0 0 0 1 0 0
CS2001	0 0 1 0 0 0 0 0 1 1 0 0 0 0 0 1 0 0
CS2003	0 0 1 0 0 0 0 0 1 1 0 0 0 0 0 1 0 0
CS2004	0 0 1 0 0 0 0 0 1 1 0 0 0 0 0 1 0 0
JDOA1147	0 0 1 0 0 0 0 0 1 1 0 0 0 0 0 1 0 1
JK2001	0 0 1 0 0 0 0 0 1 1 0 0 0 0 0 1 0 0
JK2005	0 0 1 0 0 0 0 0 1 1 0 0 0 0 0 1 0 0
JK2007	0 0 1 0 0 0 0 0 1 1 0 0 0 0 0 1 0 0
JK2009	0 0 1 0 0 0 0 0 1 1 0 0 0 0 0 1 0 1
JN2001	0 0 1 0 0 0 0 0 1 1 0 0 0 0 0 1 0 0
JN2003	0 0 1 0 0 0 0 0 1 1 0 0 0 0 0 1 0 0
JN2004	0 0 1 0 0 0 0 0 1 1 0 0 0 0 0 1 0 0
JN2005	0 0 1 0 0 0 0 0 1 1 0 0 0 0 0 1 0 0

ตารางผนวกที่ 8 (ต่อ)

ชื่อสายพันธุ์	Binary data ของลายพิมพ์ดีเอ็นเอ
JN2007	0 0 1 0 0 0 0 0 1 1 0 0 0 0 0 1 0 0
JR2001	0 0 1 0 0 0 0 0 1 1 0 0 0 0 0 1 0 0
JR2002	0 0 1 0 0 0 0 0 1 1 0 0 0 0 0 1 0 0
VECC1596	0 1 0 1 0 0 0 0 1 0 0 0 0 0 0 0 0 1
VECC2000	0 1 0 0 1 1 1 0 1 1 0 0 0 1 0 0 0 1
VECC2001	0 1 0 0 1 1 1 0 1 1 0 0 0 1 0 0 0 1
VECC2002	0 1 0 0 1 1 1 0 1 1 0 0 0 1 0 0 0 1
VECC2003	0 1 0 0 1 1 1 0 1 1 0 0 0 1 0 0 0 1
VECC2004	0 1 0 0 1 1 1 0 1 1 0 0 0 0 0 0 0 0
VECC2005	0 1 0 0 1 1 1 0 1 1 0 0 0 0 0 0 0 0
VECC2006	1 1 0 0 0 1 1 1 1 0 1 0 0 0 0 0 0 0
VECC2007	1 1 0 0 0 1 0 1 1 0 1 0 0 0 0 0 0 0
VECC2008	1 1 0 0 0 0 0 1 0 0 0 0 0 0 0 0 0 0
VECC2009	0 1 0 0 1 1 1 0 1 1 0 0 0 1 0 0 0 1
VECC2010	0 1 0 0 1 1 1 0 1 1 0 0 0 1 0 0 0 1
VECC2011	0 1 0 0 1 1 1 0 1 1 0 0 0 1 0 0 0 1
VECC2012	0 1 0 0 1 1 1 0 1 1 0 0 1 0 0 0 0 1
VECC2013	0 1 0 0 1 1 1 0 1 1 0 0 1 0 0 0 0 1

ตารางผนวกที่ 8 (ต่อ)

ชื่อสายพันธุ์	Binary data ของลายพิมพ์ดีเอ็นเอ
VECC2014	0 0 0 0 1 0 0 0 1 0 1 0 0 0 0 0 1 0
1076-1	0 1 0 0 0 1 0 0 0 1 0 0 0 0 0 0 0 0
ECH1680	0 1 0 0 0 0 0 0 1 0 0 0 0 0 0 0 0
1295	0 1 0 0 0 0 0 0 0 0 0 0 0 0 0 0 0 0 0 0
<i>P.dispersa</i>	0 0 0 0 0 0 0 0 1 0 1 0 0 0 0 1 0

ตารางผนวกที่ 9 ข้อมูล similarity matrix จากการวิเคราะห์ลำดับพิมพ์ดีอีนเอชีอ ของ *Erwinia carotovora* subsp. *carotovora* และ *Erwinia chrysanthemi* ด้วยไฟร์เมอร์ E19 และ M00

index	1	2	3	4	5	6	7	8	9	10	11	12	13	14	15	16	17	18	19	20
1	1.00	1.00	0.92	0.92	0.92	0.92	0.92	0.91	0.91	0.91	0.92	0.92	0.92	0.92	0.91	0.91	0.35	0.38	0.38	
2	1.00	1.00	0.92	0.92	0.92	0.92	0.92	0.91	0.91	0.91	0.92	0.92	0.92	0.92	0.91	0.91	0.35	0.38	0.38	
3	0.92	0.92	1.00	1.00	1.00	1.00	1.00	0.98	0.98	0.98	1.00	1.00	1.00	1.00	1.00	0.98	0.98	0.40	0.43	0.43
4	0.92	0.92	1.00	1.00	1.00	1.00	1.00	0.98	0.98	0.98	1.00	1.00	1.00	1.00	1.00	0.98	0.98	0.40	0.43	0.43
5	0.92	0.92	1.00	1.00	1.00	1.00	1.00	0.98	0.98	0.98	1.00	1.00	1.00	1.00	1.00	0.98	0.98	0.40	0.43	0.43
6	0.92	0.92	1.00	1.00	1.00	1.00	1.00	0.98	0.98	0.98	1.00	1.00	1.00	1.00	1.00	0.98	0.98	0.40	0.43	0.43
7	0.92	0.92	1.00	1.00	1.00	1.00	1.00	0.98	0.98	0.98	1.00	1.00	1.00	1.00	1.00	0.98	0.98	0.40	0.43	0.43
8	0.91	0.91	0.98	0.98	0.98	0.98	0.98	1.00	1.00	1.00	0.98	0.98	0.98	0.98	0.98	0.97	0.97	0.40	0.45	0.46
9	0.91	0.91	0.98	0.98	0.98	0.98	0.98	1.00	1.00	1.00	0.98	0.98	0.98	0.98	0.98	0.97	0.97	0.40	0.45	0.46
10	0.91	0.91	0.98	0.98	0.98	0.98	0.98	1.00	1.00	1.00	0.98	0.98	0.98	0.98	0.98	0.97	0.97	0.40	0.45	0.46
11	0.92	0.92	1.00	1.00	1.00	1.00	1.00	0.98	0.98	0.98	1.00	1.00	1.00	1.00	1.00	0.98	0.98	0.40	0.43	0.43
12	0.92	0.92	1.00	1.00	1.00	1.00	1.00	0.98	0.98	0.98	1.00	1.00	1.00	1.00	1.00	0.98	0.98	0.40	0.43	0.43
13	0.92	0.92	1.00	1.00	1.00	1.00	1.00	0.98	0.98	0.98	1.00	1.00	1.00	1.00	1.00	0.98	0.98	0.40	0.43	0.43
14	0.92	0.92	1.00	1.00	1.00	1.00	1.00	0.98	0.98	0.98	1.00	1.00	1.00	1.00	1.00	0.98	0.98	0.40	0.43	0.43
15	0.92	0.92	1.00	1.00	1.00	1.00	1.00	0.98	0.98	0.98	1.00	1.00	1.00	1.00	1.00	0.98	0.98	0.40	0.43	0.43
16	0.91	0.91	0.98	0.98	0.98	0.98	0.98	0.97	0.97	0.97	0.98	0.98	0.98	0.98	0.98	1.00	1.00	0.41	0.43	0.44
17	0.91	0.91	0.98	0.98	0.98	0.98	0.98	0.97	0.97	0.97	0.98	0.98	0.98	0.98	0.98	1.00	1.00	0.41	0.43	0.44

ตารางผนวกที่ 9 (ต่อ)

index	21	22	23	24	25	26	27	28	29	30	31	32	33	34	35	36	37	38	39
1	0.38	0.40	0.37	0.40	0.44	0.42	0.42	0.43	0.43	0.43	0.40	0.42	0.42	0.42	0.45	0.42	0.35	0.33	0.38
2	0.38	0.40	0.37	0.40	0.44	0.42	0.42	0.43	0.43	0.43	0.40	0.42	0.42	0.42	0.45	0.42	0.35	0.33	0.38
3	0.43	0.38	0.39	0.38	0.46	0.41	0.41	0.42	0.42	0.42	0.41	0.44	0.44	0.44	0.50	0.47	0.40	0.32	0.36
4	0.43	0.38	0.39	0.38	0.46	0.41	0.41	0.42	0.42	0.42	0.41	0.44	0.44	0.44	0.50	0.47	0.40	0.32	0.36
5	0.43	0.38	0.39	0.38	0.46	0.41	0.41	0.42	0.42	0.42	0.41	0.44	0.44	0.44	0.50	0.47	0.40	0.32	0.36
6	0.43	0.38	0.39	0.38	0.46	0.41	0.41	0.42	0.42	0.42	0.41	0.44	0.44	0.44	0.50	0.47	0.40	0.32	0.36
7	0.43	0.38	0.39	0.38	0.46	0.41	0.41	0.42	0.42	0.42	0.41	0.44	0.44	0.44	0.50	0.47	0.40	0.32	0.36
8	0.45	0.38	0.38	0.38	0.45	0.41	0.41	0.44	0.44	0.44	0.41	0.43	0.43	0.43	0.49	0.47	0.39	0.34	0.39
9	0.45	0.38	0.38	0.38	0.45	0.41	0.41	0.44	0.44	0.44	0.41	0.43	0.43	0.43	0.49	0.47	0.39	0.34	0.39
10	0.45	0.38	0.38	0.38	0.45	0.41	0.41	0.44	0.44	0.44	0.41	0.43	0.43	0.43	0.49	0.47	0.39	0.34	0.39
11	0.43	0.38	0.39	0.38	0.46	0.41	0.41	0.42	0.42	0.42	0.41	0.44	0.44	0.44	0.50	0.47	0.40	0.32	0.36
12	0.43	0.38	0.39	0.38	0.46	0.41	0.41	0.42	0.42	0.42	0.41	0.44	0.44	0.44	0.50	0.47	0.40	0.32	0.36
13	0.43	0.38	0.39	0.38	0.46	0.41	0.41	0.42	0.42	0.42	0.41	0.44	0.44	0.44	0.50	0.47	0.40	0.32	0.36
14	0.43	0.38	0.39	0.38	0.46	0.41	0.41	0.42	0.42	0.42	0.41	0.44	0.44	0.44	0.50	0.47	0.40	0.32	0.36
15	0.43	0.38	0.39	0.38	0.46	0.41	0.41	0.42	0.42	0.42	0.41	0.44	0.44	0.44	0.50	0.47	0.40	0.32	0.36
16	0.44	0.39	0.36	0.39	0.47	0.39	0.39	0.40	0.40	0.40	0.42	0.44	0.44	0.44	0.50	0.48	0.40	0.29	0.34
17	0.44	0.39	0.36	0.39	0.47	0.39	0.39	0.40	0.40	0.40	0.42	0.44	0.44	0.44	0.50	0.48	0.40	0.29	0.34

ตารางผนวกที่ 9 (ต่อ)

index	40	41
1	0.35	0.34
2	0.35	0.34
3	0.37	0.36
4	0.37	0.36
5	0.37	0.36
6	0.37	0.36
7	0.37	0.36
8	0.37	0.36
9	0.37	0.36
10	0.37	0.36
11	0.37	0.36
12	0.37	0.36
13	0.37	0.36
14	0.37	0.36
15	0.37	0.36
16	0.38	0.37
17	0.38	0.37

ตารางผนวกที่ 9 (ต่อ)

index	1	2	3	4	5	6	7	8	9	10	11	12	13	14	15	16	17	18	19	20
18	0.35	0.35	0.40	0.40	0.40	0.40	0.40	0.40	0.40	0.40	0.40	0.40	0.40	0.40	0.41	0.41	1.00	0.52	0.53	
19	0.38	0.38	0.43	0.43	0.43	0.43	0.43	0.45	0.45	0.45	0.43	0.43	0.43	0.43	0.43	0.43	0.43	0.52	1.00	0.98
20	0.38	0.38	0.43	0.43	0.43	0.43	0.43	0.46	0.46	0.46	0.43	0.43	0.43	0.43	0.43	0.44	0.44	0.53	0.98	1.00
21	0.38	0.38	0.43	0.43	0.43	0.43	0.43	0.45	0.45	0.45	0.43	0.43	0.43	0.43	0.43	0.44	0.44	0.45	0.91	0.93
22	0.40	0.40	0.38	0.38	0.38	0.38	0.38	0.38	0.38	0.38	0.38	0.38	0.38	0.38	0.39	0.39	0.39	0.36	0.42	0.43
23	0.37	0.37	0.39	0.39	0.39	0.39	0.39	0.38	0.38	0.38	0.39	0.39	0.39	0.39	0.39	0.36	0.36	0.44	0.53	0.50
24	0.40	0.40	0.38	0.38	0.38	0.38	0.38	0.38	0.38	0.38	0.38	0.38	0.38	0.38	0.39	0.39	0.40	0.54	0.52	
25	0.44	0.44	0.46	0.46	0.46	0.46	0.46	0.45	0.45	0.45	0.46	0.46	0.46	0.46	0.46	0.47	0.47	0.38	0.61	0.59
26	0.42	0.42	0.41	0.41	0.41	0.41	0.41	0.41	0.41	0.41	0.41	0.41	0.41	0.41	0.41	0.39	0.39	0.29	0.51	0.49
27	0.42	0.42	0.41	0.41	0.41	0.41	0.41	0.41	0.41	0.41	0.41	0.41	0.41	0.41	0.41	0.39	0.39	0.29	0.51	0.49
28	0.43	0.43	0.42	0.42	0.42	0.42	0.42	0.44	0.44	0.44	0.42	0.42	0.42	0.42	0.42	0.40	0.40	0.37	0.57	0.55
29	0.43	0.43	0.42	0.42	0.42	0.42	0.42	0.44	0.44	0.44	0.42	0.42	0.42	0.42	0.42	0.40	0.40	0.37	0.57	0.55
30	0.43	0.43	0.42	0.42	0.42	0.42	0.42	0.44	0.44	0.44	0.42	0.42	0.42	0.42	0.42	0.40	0.40	0.37	0.57	0.55
31	0.40	0.40	0.41	0.41	0.41	0.41	0.41	0.41	0.41	0.41	0.41	0.41	0.41	0.41	0.41	0.42	0.42	0.47	0.63	0.61
32	0.42	0.42	0.44	0.44	0.44	0.44	0.44	0.43	0.43	0.43	0.44	0.44	0.44	0.44	0.44	0.44	0.44	0.46	0.62	0.60
33	0.42	0.42	0.44	0.44	0.44	0.44	0.44	0.43	0.43	0.43	0.44	0.44	0.44	0.44	0.44	0.44	0.44	0.46	0.62	0.60
34	0.42	0.42	0.44	0.44	0.44	0.44	0.44	0.43	0.43	0.43	0.44	0.44	0.44	0.44	0.44	0.44	0.44	0.46	0.62	0.60
35	0.45	0.45	0.50	0.50	0.50	0.50	0.50	0.49	0.49	0.49	0.50	0.50	0.50	0.50	0.50	0.50	0.50	0.53	0.65	0.63

ตารางผนวกที่ 9 (ต่อ)

index	21	22	23	24	25	26	27	28	29	30	31	32	33	34	35	36	37	38	39
18	0.45	0.36	0.44	0.40	0.38	0.29	0.29	0.37	0.37	0.37	0.47	0.46	0.46	0.46	0.53	0.54	0.44	0.32	0.28
19	0.91	0.42	0.53	0.54	0.61	0.51	0.51	0.57	0.57	0.57	0.63	0.62	0.62	0.62	0.65	0.66	0.52	0.38	0.37
20	0.93	0.43	0.50	0.52	0.59	0.49	0.49	0.55	0.55	0.55	0.61	0.60	0.60	0.60	0.63	0.64	0.52	0.39	0.37
21	1.00	0.42	0.47	0.49	0.57	0.45	0.45	0.49	0.49	0.49	0.55	0.54	0.54	0.54	0.58	0.59	0.46	0.38	0.40
22	0.42	1.00	0.42	0.57	0.52	0.57	0.57	0.53	0.53	0.53	0.50	0.50	0.50	0.50	0.53	0.54	0.45	0.25	0.30
23	0.47	0.42	1.00	0.45	0.59	0.51	0.51	0.57	0.57	0.57	0.58	0.57	0.57	0.57	0.57	0.54	0.43	0.31	0.31
24	0.49	0.57	0.45	1.00	0.68	0.70	0.70	0.69	0.69	0.69	0.70	0.72	0.72	0.72	0.72	0.73	0.62	0.43	0.44
25	0.57	0.52	0.59	0.68	1.00	0.80	0.80	0.83	0.83	0.83	0.77	0.76	0.76	0.76	0.76	0.74	0.65	0.39	0.38
26	0.45	0.57	0.51	0.70	0.80	1.00	1.00	0.77	0.77	0.77	0.67	0.66	0.66	0.66	0.69	0.67	0.56	0.37	0.39
27	0.45	0.57	0.51	0.70	0.80	1.00	1.00	0.77	0.77	0.77	0.67	0.66	0.66	0.66	0.69	0.67	0.56	0.37	0.39
28	0.49	0.53	0.57	0.69	0.83	0.77	0.77	1.00	1.00	1.00	0.77	0.76	0.76	0.76	0.74	0.72	0.64	0.46	0.44
29	0.49	0.53	0.57	0.69	0.83	0.77	0.77	1.00	1.00	1.00	0.77	0.76	0.76	0.76	0.74	0.72	0.64	0.46	0.44
30	0.49	0.53	0.57	0.69	0.83	0.77	0.77	1.00	1.00	1.00	0.77	0.76	0.76	0.76	0.74	0.72	0.64	0.46	0.44
31	0.55	0.50	0.58	0.70	0.77	0.67	0.67	0.77	0.77	0.77	1.00	0.98	0.98	0.98	0.87	0.85	0.67	0.37	0.36
32	0.54	0.50	0.57	0.72	0.76	0.66	0.66	0.76	0.76	0.76	0.98	1.00	1.00	1.00	0.88	0.87	0.69	0.37	0.35
33	0.54	0.50	0.57	0.72	0.76	0.66	0.66	0.76	0.76	0.76	0.98	1.00	1.00	1.00	0.88	0.87	0.69	0.37	0.35
34	0.54	0.50	0.57	0.72	0.76	0.66	0.66	0.76	0.76	0.76	0.98	1.00	1.00	1.00	0.88	0.87	0.69	0.37	0.35
35	0.58	0.53	0.57	0.72	0.76	0.69	0.69	0.74	0.74	0.74	0.87	0.88	0.88	0.88	1.00	0.98	0.72	0.37	0.38

ตารางผนวกที่ 9 (ต่อ)

index	40	41
18	0.24	0.27
19	0.23	0.37
20	0.23	0.38
21	0.21	0.37
22	0.20	0.26
23	0.16	0.22
24	0.33	0.28
25	0.25	0.30
26	0.22	0.32
27	0.22	0.32
28	0.31	0.33
29	0.31	0.33
30	0.31	0.33
31	0.33	0.32
32	0.36	0.31
33	0.36	0.31
34	0.36	0.31
35	0.40	0.35

ตารางผนวกที่ 9 (ต่อ)

index	1	2	3	4	5	6	7	8	9	10	11	12	13	14	15	16	17	18	19	20
36	0.42	0.42	0.47	0.47	0.47	0.47	0.47	0.47	0.47	0.47	0.47	0.47	0.47	0.47	0.48	0.48	0.54	0.66	0.64	
37	0.35	0.35	0.40	0.40	0.40	0.40	0.40	0.39	0.39	0.39	0.40	0.40	0.40	0.40	0.40	0.40	0.40	0.44	0.52	0.52
38	0.33	0.33	0.32	0.32	0.32	0.32	0.32	0.34	0.34	0.34	0.32	0.32	0.32	0.32	0.29	0.29	0.32	0.38	0.39	
39	0.38	0.38	0.36	0.36	0.36	0.36	0.36	0.39	0.39	0.39	0.36	0.36	0.36	0.36	0.34	0.34	0.28	0.37	0.37	
40	0.35	0.35	0.37	0.37	0.37	0.37	0.37	0.37	0.37	0.37	0.37	0.37	0.37	0.37	0.38	0.38	0.24	0.23	0.23	
41	0.34	0.34	0.36	0.36	0.36	0.36	0.36	0.36	0.36	0.36	0.36	0.36	0.36	0.36	0.37	0.37	0.27	0.37	0.38	

ตารางผนวกที่ 9 (ต่อ)

index	21	22	23	24	25	26	27	28	29	30	31	32	33	34	35	36	37	38	39
36	0.59	0.54	0.54	0.73	0.74	0.67	0.67	0.72	0.72	0.72	0.85	0.87	0.87	0.87	0.98	1.00	0.73	0.37	0.39
37	0.46	0.45	0.43	0.62	0.65	0.56	0.56	0.64	0.64	0.64	0.67	0.69	0.69	0.69	0.72	0.73	1.00	0.44	0.45
38	0.38	0.25	0.31	0.43	0.39	0.37	0.37	0.46	0.46	0.46	0.37	0.37	0.37	0.37	0.37	0.37	0.44	1.00	0.84
39	0.40	0.30	0.31	0.44	0.38	0.39	0.39	0.44	0.44	0.44	0.36	0.35	0.35	0.35	0.38	0.39	0.45	0.84	1.00
40	0.21	0.20	0.16	0.33	0.25	0.22	0.22	0.31	0.31	0.31	0.33	0.36	0.36	0.36	0.40	0.37	0.31	0.21	0.19
41	0.37	0.26	0.22	0.28	0.30	0.32	0.32	0.33	0.33	0.33	0.32	0.31	0.31	0.31	0.35	0.32	0.30	0.23	0.27

ตารางผนวกที่ 9 (ต่อ)

index	40	41
36	0.37	0.32
37	0.31	0.30
38	0.21	0.23
39	0.19	0.27
40	1.00	0.33
41	0.33	1.00

1 = JK2009, 2 = JDOA1147, 3 = JN2001, 4 = JN2003, 5 = JN2004, 6 = JN2005, 7 = JN2007, 8 = JK2001, 9 = JK2005, 10 = JK2007, 11 = CS2003,
12 = CS2001, 13 = CS2004, 14 = CDOA1028, 15 = CS1006, 16 = JR2001, 17 = JR2002, 18 = VECC2014, 19 = VECC2006, 20 = VECC2007,
21 = VECC2008, 22 = VECC1596, 23 = 681-1, 24 = VECC2013, 25 = 64-4, 26 = VECC2012, 27 = VECC2013, 28 = VECC2010, 29 = VECC2009,
30 = VECC2011, 31 = VECC2000, 32 = VECC2001, 33 = VECC2002, 34 = VECC2003, 35 = VECC2004, 36 = VECC2005, 37 = 1408, 38 = 1076-1,
39 = ECH1680, 40 = *P.dispersa*, 41 = 1295

ตารางผนวกที่ 10 ข้อมูลการใช้แหล่งการ์บอน 95 ชนิด ในถุงอาหาร GN2 ของเชื้อแบนกที่เรียกที่ทดสอบ

ตารางผนวกที่ 11 ข้อมูล similarity matrix จากการวิเคราะห์การใช้แหล่งการบ่อน 95 ชนิด ในภาคอาหาร GN2 ของเชื้อ *Erwinia carotovora* subsp. *carotovora* และ *Erwinia chrysanthemi*

สายพันธุ์แบคทีเรีย	1076-1	ECH1680	VECC2001	VECC2014	CDOA1028	CDOA1147	VECC1596	JN2001	JN2005	JK2005
1076-1	1.00	0.88	0.73	0.73	0.71	0.75	0.67	0.71	0.71	0.71
ECH1680	0.88	1.00	0.74	0.71	0.69	0.73	0.68	0.69	0.69	0.72
VECC2001	0.73	0.74	1.00	0.87	0.82	0.86	0.91	0.82	0.82	0.82
VECC2014	0.73	0.71	0.87	1.00	0.85	0.86	0.81	0.85	0.85	0.85
CDOA1028	0.71	0.69	0.82	0.85	1.00	0.94	0.82	1.00	1.00	0.96
CDOA1147	0.75	0.73	0.86	0.86	0.94	1.00	0.84	0.94	0.94	0.94
VECC1596	0.67	0.68	0.91	0.81	0.82	0.84	1.00	0.82	0.82	0.82
JN2001	0.71	0.69	0.82	0.85	1.00	0.94	0.82	1.00	1.00	0.96
JN2005	0.71	0.69	0.82	0.85	1.00	0.94	0.82	1.00	1.00	0.96
JK2005	0.71	0.72	0.82	0.85	0.96	0.94	0.82	0.96	0.96	1.00

ภาพพนวกที่ 1 ชนิดของแหล่งน้ำและหลักสูตรในภาคอาหาร GN2 (Biolog, Inc., CA, USA)

A1 Water	A2 α -Cyclodextrin	A3 Dextrin	A4 Glycogen	A5 Tween 40	A6 Tween 80	A7 N-Acetyl-D-Galactosamine	A8 N-Acetyl-D-Glucosamine	A9 Adonitol	A10 L-Arabinose	A11 D-Arabitol	A12 D-Cellobiose
B1 D-Erythritol	B2 D-Fructose	B3 L-Fucose	B4 D-Galactose	B5 Gentiobiose	B6 α -D-Glucose	B7 m-Inositol	B8 α -D-Lactose	B9 Lactulose	B10 Maltose	B11 D-Mannitol	B12 D-Mannose
C1 D-Melibiose	C2 β -Methyl-D-Glucoside	C3 D-Psicose	C4 D-Raffinose	C5 L-Rhamnose	C6 D-Sorbitol	C7 Sucrose	C8 D-Trehalose	C9 Turanose	C10 Xylitol	C11 Pyruvic Acid Methyl Ester	C12 Succinic Acid Mono-Methyl-Ester
D1 Acetic Acid	D2 Cis-Aconitic Acid	D3 Citric Acid	D4 Formic Acid	D5 D-Galactonic Acid Lactone	D6 D-Galacturonic Acid	D7 D-Gluconic Acid	D8 D-Glucosaminic Acid	D9 D-Glucuronic Acid	D10 α -Hydroxybutyric Acid	D11 β -Hydroxybutyric Acid	D12 γ -Hydroxybutyric Acid
E1 p-Hydroxy Phenylacetic Acid	E2 Itaconic Acid	E3 α -Keto Butyric Acid	E4 α -Keto Glutaric Acid	E5 α -Keto Valeric Acid	E6 D,L-Lactic Acid	E7 Malonic Acid	E8 Propionic Acid	E9 Quinic Acid	E10 D-Saccharic Acid	E11 Sebacic Acid	E12 Succinic Acid
F1 Bromosuccinic Acid	F2 Succinamic Acid	F3 Glucuronamide	F4 L-Alaninamide	F5 D-Alanine	F6 L-Alanine	F7 L-Alanyl-glycine	F8 L-Asparagine	F9 L-Aspartic Acid	F10 L-Glutamic Acid	F11 Glycyl-L-Aspartic Acid	F12 Glycyl-L-Glutamic Acid
G1 L-Histidine	G2 Hydroxy-L-Proline	G3 L-Leucine	G4 L-Ornithine	G5 L-Phenylalanine	G6 L-Proline	G7 L-Pyroglutamic Acid	G8 D-Serine	G9 L-Serine	G10 L-Threonine	G11 D,L-Carnitine	G12 γ -Amino Butyric Acid
H1 Urocanic Acid	H2 Inosine	H3 Uridine	H4 Thymidine	H5 Phenyethyl-amine	H6 Putrescine	H7 2-Aminoethanol	H8 2,3-Butanediol	H9 Glycerol	H10 D,L- α -Glycerol Phosphate	H11 α -D-Glucose-1-Phosphate	H12 D-Glucose-6-Phosphate

ประวัติการศึกษา และการทำงาน

ชื่อ – นามสกุล	นายวัฒนิกร เทพโพธารา
วัน เดือน ปี ที่เกิด	10 พฤศจิกายน 2523
สถานที่เกิด	จังหวัดเชียงราย
ประวัติการศึกษา	วท.บ. (เกษตรศาสตร์) มหาวิทยาลัยแม่โจ้ (พ.ศ. 2546)
ตำแหน่งหน้าที่การงานปัจจุบัน	-
สถานที่ทำงานปัจจุบัน	-
ผลงานคีเด่นและรางวัลทางวิชาการ	-
ทุนการศึกษาที่ได้รับ	1. ทุนสนับสนุนงานวิจัยระดับบัณฑิตศึกษา บัณฑิต วิทยาลัย มหาวิทยาลัยเกษตรศาสตร์ ประจำปีงบประมาณ 2548

2. Training in marker-assisted selection in rice and field evaluation of marsh grass plants (California bulrush and smooth cordgrass) July 28 2005 – October 27 2005 at LSU Agricultural Center Rice Research Station. Louisiana State University, Baton Rouge, LA, USA.